

JEOPHYSICS

CİLT 3, SAYI 1 / MART 1989

VOL. 3, NO. 1 / MARCH 1989

Spektral Transfer Fonksiyonlarından
Yararlanılarak Sismik P Dalgaları İle Üretilen
Yapay Yansıma Sismogramları
A. GÜNGÖR TAKTAK ve Aybige AYDOĞAN

Sonsuz Birim Tepkili Sayısal Eliptik
Süzgeçler
A. GÜNGÖR TAKTAK

Jeofizik Modellemeye SVD
Analizi
O. Metin İLKİŞIK

Doğrultusu Boyunca Sonsuza Uzanan Eğimli
Bir Levha (Damar) Tipi Yatağın Doğal Gerilim
Belirtisinin Eğriler Takımı (Nomogram) ve
Grafiksel bir Yöntemle Değerlendirilmesi
Ibrahim ONUR

Batı Anadolu Depremsellığının Markov
Yöntemi ile Araştırılması
R. PINAR, Z. AKÇİĞEZ ve F. DEMİREL

Synthetic Reflection Seismograms
Produced with Seismic waves Using
the Spectral Transfer Functions
A. GÜNGÖR TAKTAK and Aybige AYDOĞAN

Infinite Impulse Response Digital
Elliptic Filters
A. GÜNGÖR TAKTAK

SVD Analysis in Geophysical
Modelling
O. Metin İLKİŞIK

Interpretation of the Self-Potential Anomaly
Over an Inclined Sheet-Like
Body of Infinite Extension by
Using the Nomogram and a Graphical Method
Ibrahim ONUR

The Investigation of Western Anatolia
Seismicity by the Markov Method
R. PINAR, Z. AKÇİĞEZ and F. DEMİREL



TMMOB JEOFİZİK MÜHENDİSLERİ ODASI
THE CHAMBER OF GEOPHYSICAL ENGINEERS OF TURKEY

G. KALAN

"I didn't know Western did all this!"

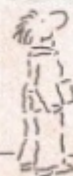
Our first-time clients are surprised to discover the full range of geophysical services available from Western Geophysical. Everything from basin evaluation to reservoir geophysics. From presurvey planning through data acquisition, data processing and software licensing, and interpretation and integration. Worldwide from Beeville to Brunei.

Whether you need quick, high-quality results on a standard survey or custom analysis for a complex prospect, get to know Western and our professional staff. You'll discover advanced, yet proven technology and experienced field crews and data processors who know what it takes to make your Exploration & Development program a success.

Here is a general list of products and services from Western Geophysical. Please indicate items of interest and send to the Marketing Services department, or call your local Western Geophysical office.

Data Acquisition

- Presurvey Planning
- Energy Sources
 - Source array design
 - High-pressure and low-pressure airguns
 - Waterguns
 - Sleeve guns
 - Auger airguns
 - BBV 60-60 vibrators
 - ARIS™ 3-component impact sources
- Seismic Vessels
 - U.S. East Coast
 - U.S. West Coast
 - U.S. Gulf Coast
 - Beaufort Sea, Alaska
 - Canada
 - Europe, Africa, and Middle East
 - South America, Central America, Caribbean
 - South Asia, China, Australasia
- Land Crews
 - Continental U.S.
 - Alaska
 - Canada
 - Europe, Africa, and Middle East
 - South America, Central America, Caribbean
 - South Asia, China, Australasia
- Data Recording
 - Marine, land, and transition-zone telemetry
 - Multistreamer
 - Multisource
 - Multi-boat
 - 2-D
 - 3-D
 - Refraction
 - 3-component
- Seismic Modeling
 - Normal and non-normal incidence modeling
 - Interactive zero-offset modeling
 - Trefry-Hilterman wave-theoretical synthetic section generation
- Interactive Capabilities
 - CRYSTAL II™ workstation: 2-D, 3-D interpretation, VSP processing, parameter determination
 - IQUEUE™ Interactive Queue processing
 - XED™ interactive parameter definition facility
 - EXPEDITOR™ workstation: velocity analysis picking, 3-D parameter review, digitizing, geologic modeling
- Seismic Software Licensing Options
 - Leasing
 - Purchasing
 - Computer center setup and management
- Field Quality Control
 - Land
 - FACE™ system
 - Marine
 - WISDOM® 3D-QC system
 - FLEX-QC™ system
 - SEIS-QC™ system
- Interpretation
 - Basin Studies
 - Integrated Interpretation
 - 2-D and 3-D Interpretation
 - Structural
 - Stratigraphic
 - Interactive
- Reservoir Geophysics
 - Reservoir Characterization
 - Reservoir Monitoring
- Worldwide Spec Data

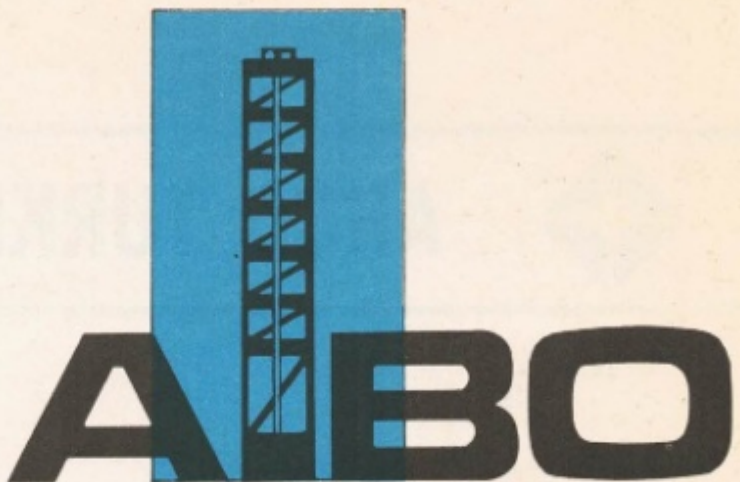


Western Atlas
International
A Litton/Dresser Company

WESTERN
GEOPHYSICS

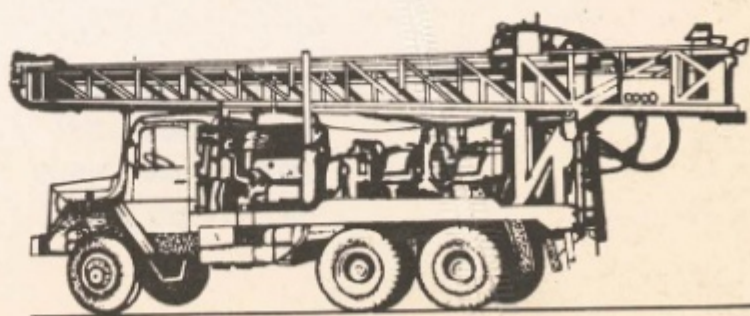
Wesgeco House
P.O. Box 18
455 London Road
Isleworth, Middlesex
England TW7 5AB
(01) 560-3160
Telex: 24970 Wesgeco G
Fax: (01) 441-847 3131

Houston (713) 789-9600
Denver (303) 770-8660
Calgary (403) 291-8100
Singapore 65-258-3211
Caracas 58-2-261-8224
Bogota 57-1-298-0615
Rio de Janeiro 55-21-541-1595



Allgemeines Bohrunternehmen Wathlingen GmbH

3101 WATHLINGEN POSTFACH 31, TELEFON: 051 44 - 3343
TELEX: 9 25 009 CEBRB - D. W. GERMANY
DRILLINGS FOR PROSPECTING - WATER - DEPTH GAUGE - CORE BORING -
BUILDING GROUND WATER DESCENDING - GEOPHYSICS AND SEISMIC
ÇANKAYA CAD. 23/2 ANKARA TEL: 125 91 98 - 136 34 63



ajans iletim 300503



ARCO TURKEY INC.

CONGRATULATIONS TO
THE CHAMBER OF
GEOPHYSICAL ENGINEERS
ON THE PUBLICATION OF YOUR BULLETIN

ARCO Turkey , Inc.
Kader Sokak 43/1
G.O.P., Ankara , Turkey
Tel : 136 60 30



MicroMAX lets you rapidly complete instrument tests, optimize acquisition parameters, and perform seismic data processing *all in the field—all on a micro.*

Breakthrough technology for major time and cost savings ■

Onsite QC lets you solve problems fast ■

Portable, light weight, rugged ■

Simple to operate, inexpensive to maintain ■

Comprehensive seismic data processing and QC software ■

Makes your crews more productive and profitable ■

Effective, Proven Technology.
MicroMAX has gained industry-wide acceptance by major oil companies and geophysical contractors as the *most comprehensive microcomputer-based seismic data field processing system available.*

MicroMAX systems are refining acquisition parameters and maximizing data quality for land and marine seismic crews throughout the world. MicroMAX has rapidly become the leading and most advanced solution for field data processing and quality control.

Fast, Cost Saving Performance.
Designed to provide you with practical tools, MicroMAX can make a significant difference in the quality of your seismic data—and save you a lot of processing time and money.

Advanced Software Features.
Features include: filter tests, F-K, F-T, and spectral analysis, velocity analysis, elevation and residual statics computation, decon, spectral whitening, array analysis, nonlinear vibroseis sweep design, and marine acquisition QC.

Reliability and Innovation. Our interactive approach to instrument testing, data analysis and processing on a microcomputer *redefines the concept of field quality control.* Please call or write:

Advance Geophysical Corporation
7409 South Alton Court, Suite 100
Englewood, Colorado 80112, USA
(303) 779-8080 FAX: (303) 796-0807
TELEX: 984254 (AGC UD)

TURKEY
Ilke Foreign Trade Co. (4) 2310729

Setting the pace for tomorrow's technology

ADVANCE

GEOPHYSICAL CORPORATION



MADEN TETKİK VE ARAMA GENEL MÜDÜRLÜĞÜ

Yurdumuzun yeraltı zenginliklerinin değerlendirilmesinde ve madencilik sektöründe 54 yıldır başarıyla hizmet vermektedir.

Schlumberger

WELL SEISMIC



- CHECK SHOT
- LOG CALIBRATION
- GEOGRAM
- VERTICAL SEISMIC PROFILING

EXPLORATION

IN SEARCH OF TOMORROW'S ENERGY



PRAKLA-SEISMOS AG



PHONE: 511/6420
TELEX: 922419 + 922847 + 923250
TELEFAX: 6476860

BUCHHOLZER STR. 100
P.O. BOX 510530
D-3000 HANNOVER 51

FEDERAL REPUBLIC OF GERMANY

Türkiye'de "gazete okurları" var.

Gazete okuru" yaşadığı ülkeyle, dünyayla yakından ilgilidir. Olayları en ayrıntılı biçimde izlemek, değerlendirmek, yorumlamak ister. Kültürün bütün alanlarına merak duyar. Karar vermek, seçmek, kendi görüşlerini oluşturmak için "çağdaş, doğru, ciddi" bir gazeteye gerek duyar.

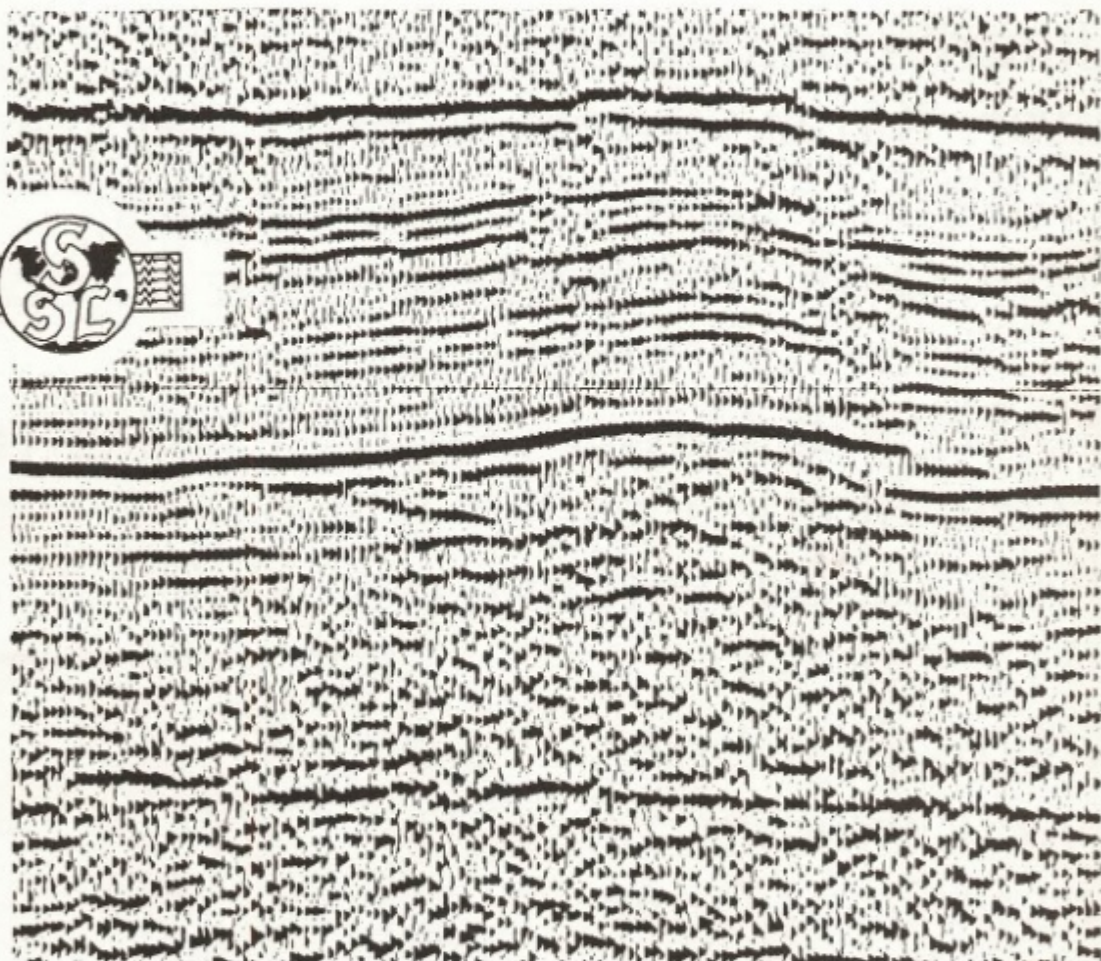
Türkiye'de "gazete okurları"

65 yıldır **Cumhuriyet** okuyor. **Cumhuriyet**, "gazete okurları"na her gün doğru haberi, çağdaş yorumu, çok yönlü bir bakışı sunuyor.

*Türkiye'de yillardır
"gazete okurları" var.
Türkiye'de yillardır
"gazete" okunuyor.*



SEISMIC ACQUISITION AND DATA PROCESSING SERVICES



SEISMOGRAPH SERVICE LTD

NENEHATUN CADDESİ No. 66
GAZİOSMANPAŞA
ANKARA, TURKEY
TELEPHONE 136 58 14



JEOFİZİK

TMMOB JEOFİZİK MÜHENDİSLERİ ODASI SÜRELİ YAYINI

JOURNAL OF THE CHAMBER OF GEOPHYSICAL ENGINEERS OF TURKEY

**TMMOB
JEOFİZİK MÜHENDİSLERİ
ODASI**

Adına Sahibi ve Sorumlu
Yazı İşleri Müdürü
M. Ali AK

YÖNETİM KURULU
Executive Committee

M. Ali AK
Cemal KAYA
Mehmet ALTINTAŞ
Asım ÖZMEN
Yavuz DİLBAZ
Erden ERCAN
Atilla SEFÜNÇ

YAYIN KURULU
Publication Committee

Muharrem TÜRKARSLAN
İbrahim AYDIN
Sami ZÜNBÜL
Doç. Dr. Edip BAYSAL
Doç. Dr. A. Tuğrul BAŞOKUR
Kenan EREZ

**TMMOB
JEOFİZİK MÜHENDİSLERİ ODASI**

Mithatpaşa Cad. 45/15 P.K. 255
Kızılay-Ankara-TURKEY
Tel: (4) 135 13 79

BASILDIĞI YER
MAYA Matbaacılık Yayıncılık Ltd. Şti.

Tel: 118 01 53 - 125 25 95.- Ankara

DİZGİ
ARTI Ltd. Şti.

Tel: 118 63 80 - Ankara

**YILDA İKİ KEZ MART VE EYLÜL
AYLARINDA YAYINLANIR**
Published Twice a Year
in March and September

CILT 3, SAYI 1 / MART 1989 VOL. 3, NO. 1 / MARCH 1989

İÇİNDEKİLER / CONTENTS

OKURLARIMIZA.....	2
SPEKTRAL TRANSFER FONKSİYONLARINDAN YARARLANILARAK SİSMİK P DALGALARI ILE ÜRETİLEN YAPAY YANSIMA SİSMOGRAMLARI.....	3
Synthetic Reflection Seismograms Produced with Seismic P waves Using the Spectral Transfer Function	
SONSUZ BİRİM TEPKİLİ SAYISAL ELİPTİK SÜZGEÇLER.....	16
Infinite Impuls Response Digital Elliptic Filters	
JEOFİZİK MODELLEMEDE SVD ANALİZİ.....	43
SVD Analysis in Geophysical Modelling	
DOĞRULTUSU BOYUNCA SONSUZA UZANAN EĞİMİLİ BİR LEVHA (DAMAR) TİPİ YATAĞIN DOĞAL GERİLİM BELİRTİSİNİN EĞRİLER TAKIMI (NOMOGRAM) VE GRAFİKSEL BİR YÖNTEMLE DEĞERLENDİRİLMESİ.....	50
Interpretation of the Self-Potential Anomaly Over an Inclined Sheet-Like Body of Infinite Extension by Using the Nomogram and a Graphical Method	
BATI ANADOLU DEPREMSELLİĞİNİN MARKOV YÖNTEMİ İLE ARAŞTIRILMASI.....	56
The Investigation of Western Anatolia Seismicity by the Markov Method	
YAZI VERENLER.....	67
ODA ÜYELERİ.....	68
REKLAM VEREN FİRMALAR.....	68

OKURLARIMIZA

Bir önceki sayımızda size seslenirken Yazar-İnceleyici-Yayın Kurulu üçgeninin sağlıklı bir biçimde işleyebilmesi için öngördüğümüz yolları belirtmiştim.

Bunun sonucu olarak gelen yazıların hızlı bir şekilde yayına hazırlanabilmesinde bizlere büyük kolaylıklar sağlanurken sizlere en hızlı bir şekilde ulaşılabilirde büyük adım atmış olduk. Şöyle ki; gelen yazılar konusunda uzman en az üç inceleyiciye gönderilmektedir. İnceleyicilerden gelen öneri ve eleştiriler doğrudan yazarla gönderilmekte ve inceleyicinin görüşleride dikkate alınarak yazıların düzeltilmesi istenmektedir. Düzeltilmiş olarak gelen yazılar kurulumuzca dergimizin yayım kurallarına uygunluğunun sağlanması için gerekli düzeltmeler yapılarak baskı için hazır hale getirilmektedir.

Okuyucuların, yazılarlarındaki görüş ve önerilerini kurulumuz aracılığı ile bir önceki sayımızda belirttiğimiz gibi bilimsel nitelik taşıması koşuluyla dergimizde yayınlanması ile veya kendileri yazar ile doğrudan iletişim kurarak iltebilirler.

Kurulumuz siz değerli meslektaşlarımızın özellikle uygulamaya yönelik özgün çalışmalarını Jeofizik Düssyasının hizmetine sunmalarını beklemektedir.

Saygılarımla,

Yayın Kurulu

SPEKTRAL TRANSFER FONKSİYONLARINDAN YARARLANıLARAK SİSMİK P DALGALARI İLE ÜRETİLEN YAPAY YANSIMA SİSMOGRAMLARI

Synthetic Reflection Seismograms Produced With Seismic
P Waves Using the Spectral Transfer Functions

A. Güngör TAKTAK* ve Aybige AYDOĞAN*

ÖZET

Gözlemlsel verilerin değerlendirilmesinde kolaylık sağlamak amacıyla yapay yansımaya sismogramları üretilmektedir. Ayrıca yansımaya sismogramlarının daki sinyalin şekil ve genlik değişimlerinin daha iyi yorumlanabilmesi model çalışmalarla daha da kolay olmaktadır.

Bu çalışmada, önce P dalgalarının frekans ortamında analizi yapılarak, verilen matris yöntemi ile çeşitli kuramsal tabaka modellerinin transfer fonksiyonları hesaplanmıştır. Üretilen sismogramlarda özellikle dalga boyu-tabaka kalınlığı ilişkisi göz önüne alınmıştır. Yöntemin esası yarı-onsuz bir ortamın üzerinde uzanan yatay tabakalarдан oluşan bir ortamda elastik dalga denkleminin sınır koşulları altında çözümüne dayanmaktadır. Çözüm (2×2) lik tabaka matrisi olarak verilmektedir. Bu matrisin elemanları tabaka kalınlığı, P dalga hızları, yoğunluk ve frekansın fonksiyonudur. Tabaklı bir ortamda ilerleyen elastik dalgalar için denklemin matris yöntemi ile çözümü, tabaklı ortamın transfer fonksiyonunun çabuk ve duyarlı olarak hesaplanması sağlanmaktadır.

ABSTRACT

Synthetic seismograms are computed for a precise interpretation of observed data. Also, it is easier to interpret the variations of shapes and amplitudes of signal on the reflection seismograms with the model studies.

Here, the transfer functions of various theoretical models were initially calculated with a given matrix method after the analysis of P waves in the frequency domain. Relationship between wavelength and layer thickness was especially considered on the synthetic seismograms. The basis of the method is to find solutions to the elastic waves under boundary conditions for the medium consisting of horizontal layers over a semi-infinite space. Solution was given as a (2×2) layer matrix. The elements of this matrix are functions of layer thickness, P wave velocity, density and frequency.

GİRİŞ

Sismik verilerin değerlendirilmesi amacı ile yapılan çalışmalarda karşılaşılan sorunlardan birisi de dalga boyunun tabaka kalınlığından büyük olduğu durumlarda oluşan girişim olayı nedeniyle tabaka ayırmalılığının gözlenmemisidir. Bilindiği gibi sismik ayırmalılık birbirine yakın zamanda gelen yansımaya sinyallerinin ayırt edilememidir. İki sismik yansımamanın katmanların arayüzeylerinden geldiğini gösterebilecek enküçük gidiş-geliş zamanının da farklı olduğu bilinmektedir. Öte yandan sismik ayırm-

ılık, tabaka kalınlıkları, hızları ve kaynak dalgacığının dalga boyuna bağlıdır. Yalın olarak yapay yansımaya sismogramı, kaynak dalgacığı ile yansımaya katsayılarının evrişimi sonucunda elde edilir.

Bu çalışmada tek boyutlu dalga denkleminin bazı sınır koşulları altında (tabaka sınırlarında gerilme ve yerdeğiştirmeler sürekli, serbest yüzeye gerilmeler sıfır) çözümü yapılmıştır. Düzlem dalganın düşey yönündeki gidişi için önce Fourier dönüşümü kullanılarak transfer fonksiyonu elde edilmiştir. Çalışmada kullanılan modeller özellikle tabaka kalınlığı dalga boyu ilişkisini

* Dokuz Eylül Üniversitesi, Mühendislik-Mimarlık Fakültesi, Jeoloji Mühendisliği Bölümü, Bornova-İZMİR

icermekte ve bu ilişkinin transfer fonksiyonu üzerindeki etkisi incelenmektedir.

Bundan önce yapılan çalışmalarla, Robinson and Treitel (1977) Yatay n tabakalı bir ortamda z-dönüşümü kullanarak ortamın spektral fonksiyonunun nasıl hesaplanacağını göstermiştir.

Fuchs (1966), yarı sonsuz bir ortamın üzerinde uzanan tabakalı bir yerkabuğu içindeki bir nokta kaynakından yayılan P dalgaları için transfer fonksiyonunu hesaplamıştır.

Gerçekte bu çalışmada kullanılan yöntem Thomson-Haskel matris yöntemi olarak adlandırılmakta ise de, çözüm Thomson-Haskel matrisinde olduğu gibi (4×4) iki matris olarak verilmemekte, S dalgaları hızları ve işinin geliş açısı matris elemanları olarak hesaplanmaktadır. Bu çalışmada çözüm (2×2)'lık tabaka matrisi olarak verilmektedir. Matrisin elemanları tabaka kalınlığı (d_i), P dalgaları hızları (α_i), yoğunluk (p_i) ve frekansın fonksiyonudur. İşinin geliş açısı da 90° olacak şekilde incelenmiştir.

TABAKALI BİR ORTAMDA ELASTİK DALGA DENKLEMİ

Daha önce de deyinildiği gibi, modelin aşağıda verilen sınır koşulları ile birlikte yatay n tabakalı ideal, elastik ve homojen yarı-sonsuz bir ortamdan oluştuğu varsayılmaktadır. Problemin çözümü hesaplarda kolaylık olması bakımından iki boyutlu olarak (x, z) düşey düzlem içinde yapılacaktır. x ekseni tabaka sınırlarına paralel, z ekseni aşağıya doğru pozitif olarak seçilmektedir. Elastik dalgaların dilatasyon (P) dalgaları için genel ifadesi:

$$\nabla^2 U = \frac{1}{\alpha^2} \cdot \frac{\partial^2 U}{\partial t^2} \quad (1)$$

olarak verilir. Burada U , P dalgaları için yerdeğiştirme potansiyeli; t , zaman; α dalgaları hızı; ∇^2 , Laplasiyen operatörüdür:

$$\nabla^2 U = \frac{\partial^2}{\partial x^2} + \frac{\partial^2}{\partial y^2} + \frac{\partial^2}{\partial z^2} \quad (2)$$

(1) Denkleminin genel çözümü;

$$U(z, t) = F(t - \frac{z}{\alpha}) + G(t + \frac{z}{\alpha}) \quad (3)$$

F ve G fonksiyonları başlangıç ve sınır koşulları ile belirlenir. $F(t - z/\alpha)$ pozitif yönde ilerleyen düzlem dalgaları göstermektedir. $G(t + z/\alpha)$ ise negatif yönde ilerleyen düzlem dalgalarıdır. İşlemlerde yalnızca pozitif yönde ilerleyen dalgalar dikkate alınacaktır. Buna göre birinci tabaka içerisinde aşağı doğru ilerleyen bir P dalgasının z yönündeki yerdeğiştirme bileşeni için,

$$U_s(z, t) = F(t - \frac{z}{\alpha_1}) \quad (4)$$

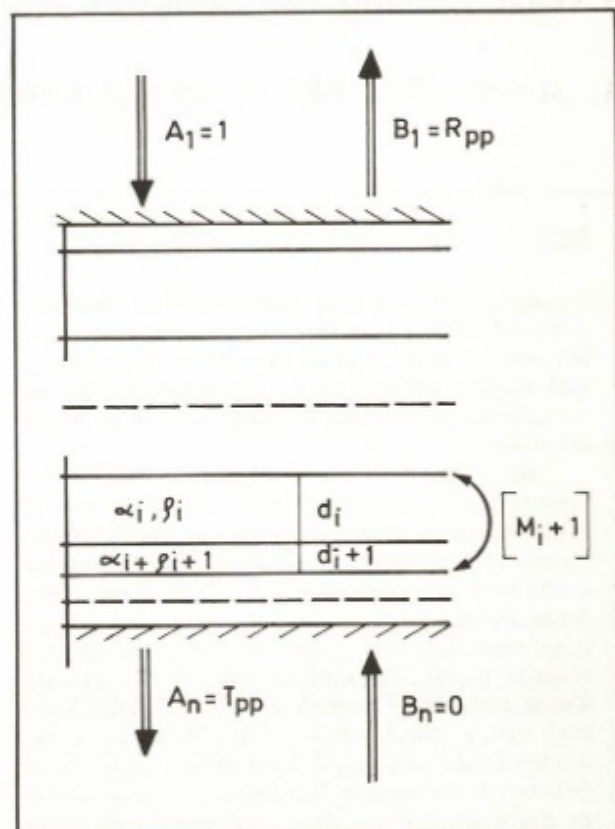
ve (3) nolu denklemdeki $F(t)$ fonksiyonu için,

$$U_s(z, t) = C e^{j\omega t - z/\alpha_1} \quad (5)$$

şeklinde w açısal frekanslı harmonik bir fonksiyon kullanılır. Böylece iinci tabaka içindeki yerdeğiştirme miktarı özel bir çözüm ile,

$$U_i(z, t) = A_i \exp \left((t - \frac{z - z_{i-1}}{\alpha_i}) \right) + B_i \exp \left(jw (t + \frac{z - z_{i-1}}{\alpha_i}) \right) \quad (6)$$

şeklinde verilir (Şekil 1).



Şekil 1. Birbirine paralel tabakalı bir ortamın arayüzeylerinden yansıyan ve yayılan dalgalar.

Fig. 1. System of layered media showing ray path normal to the parallel interfaces between layers.

$i = 1$ için (6) denklemindeki birinci terim aşağıya doğru ilerleyen dalgayı, ($A_i = 1$ burada genlik birim olarak alınmıştır), ikinci terim ise aranan yansımış dalgayı ($B_i = R$) tanımlamaktadır.

$i = n$ için (6) denklemindeki birinci terim yayılan dalgadır ($A_n = T$), ikinci terim ise sıfır olmaktadır ($B_n = 0$). Görüldüğü gibi A_i ve B_i katsayıları zamana bağlı değildir. (6) denklemi aşağıdaki sınır şartları ile düzenleyeceğiz;

1. Ortamda geçerlilik; $U(z, t) = 1.F(t-z/\alpha_1) + RF(t+z/\alpha_2)$
 2. Ortamda geçerlilik; $U(z, t) = T.F(t-z/\alpha_1)$ (7)

R = yansıtma katsayısi T = yayınım katsayısi

Sınır şartları,

Fiziksel Olarak

1. Tabaka sınırlarında gerilme ve yerdeğiş- tirmeler sürekliidir.

2. Serbest yüzeydeki gerilmeler sıfırdır, yani sınır herhangi bir sismik enerji taşımıyor.

$$1+R = T$$

$$-1+R = -\frac{\rho_2 \alpha_2}{\rho_1 \alpha_2}$$

olduğundan,

$$T = \frac{2 \rho_1 \alpha_1}{\rho_1 \alpha_1 + \rho_2 \alpha_2} \quad R = \frac{\rho_1 \alpha_1 - \rho_2 \alpha_2}{\rho_1 \alpha_1 + \rho_2 \alpha_2} \quad (10)$$

$I_i = \rho_i \alpha_i$ akustik empedans.

$$T = \frac{2 I_1}{I_1 + I_2} \quad R = \frac{I_1 - I_2}{I_1 + I_2} \quad (11)$$

$z = 0$ 'da bir sınır yüzeyi yoktur, yani bu yüzeye yansiyip geri dönen dalga, reverberasyon olayı gözlenmemektedir. (6) numaralı denklemi düzenlemeden önce aşağıdaki olayların bilinmesinde yarar vardır.

- a) Kaynak ile alıcı aynı yüzeydedir (kaynak tabaka içinde değildir), b) S dalgaları incelenmemektedir ($\mu = 0$), c) P dalgaları yalnızca düşey (z) yönünde ilerliyor, yani tek boyutlu dalga denklemi kullanılıyor.

Böylece yukarıdaki varsayımlar ve sınır koşulları kullanılarak (6) denklemi düzenlenirse,

$$A_i e^{-jw(t-\frac{z-z_{i-1}}{\alpha_i})} + B_i e^{jw(t+\frac{z-z_{i-1}}{\alpha_i})} = A_{i+1} + B_{i+1} \quad (12)$$

$$\rho_i \alpha_i \left[-A_i e^{-jw(t-\frac{z-z_{i-1}}{\alpha_i})} + B_i e^{jw(t+\frac{z-z_{i-1}}{\alpha_i})} \right] = \rho_{i+1} \alpha_{i+1} [-A_{i+1} + B_{i+1}] \quad (13)$$

eşitlikleri elde edilir.

$\frac{\partial U_i}{\partial z}(z, t)$ ve aynı işlem $\frac{\partial U_{i+1}}{\partial z}(z, t)$ için de yapılmış birinci sınır koşul denklemi,

$$A_{i+1} = A_i e^{-jw \frac{d_i}{\alpha_i}} + B_i e^{jw \frac{d_i}{\alpha_i}} - B_{i+1} \quad (14)$$

İkinci sınır koşulu denkleminde yerine koyulup çözülürse;

$$-I_i A_i e^{-jw \frac{d_i}{\alpha_i}} + I_i B_i e^{jw \frac{d_i}{\alpha_i}} = -I_{i+1} \left[A_i e^{-jw \frac{d_i}{\alpha_i}} + B_i e^{jw \frac{d_i}{\alpha_i}} \right] + I_{i+1} B_{i+1} \quad (15)$$

$$A_i e^{jw \frac{d_i}{\alpha_i}} [-I_i + I_{i+1}] + B_i e^{jw \frac{d_i}{\alpha_i}} [I_i + I_{i+1}] = 2 B_{i+1} I_{i+1} \quad (16)$$

ve böylece A_{i+1} ve B_{i+1} eşitlikleri;

$$\frac{1}{2} \left[A_i e^{-jw \frac{d_i}{\alpha_i}} + \left(1 - \frac{I_i}{I_{i+1}} \right) + B_i e^{jw \frac{d_i}{\alpha_i}} \left(1 + \frac{I_i}{I_{i+1}} \right) \right] = B_{i+1} \quad (17)$$

$$\frac{1}{2} \left[A_i e^{-jw \frac{d_i}{\alpha_i}} + \left(1 + \frac{I_i}{I_{i+1}} \right) + B_i e^{jw \frac{d_i}{\alpha_i}} \left(1 - \frac{I_i}{I_{i+1}} \right) \right] = A_{i+1} \quad (18)$$

elde edilir.

Bu denklem sistemi matris şeklinde aşağıdaki gibi yazılabilir.

$$\begin{bmatrix} A_{i+1} \\ B_{i+1} \end{bmatrix} = \begin{bmatrix} \frac{1}{2} \left(1 + \frac{I_i}{I_{i+1}} \right) e^{-jw \frac{d_i}{\alpha_i}} & \frac{1}{2} \left(1 - \frac{I_i}{I_{i+1}} \right) e^{jw \frac{d_i}{\alpha_i}} \\ \frac{1}{2} \left(1 - \frac{I_i}{I_{i+1}} \right) e^{jw \frac{d_i}{\alpha_i}} & \frac{1}{2} \left(1 + \frac{I_i}{I_{i+1}} \right) e^{-jw \frac{d_i}{\alpha_i}} \end{bmatrix} \begin{bmatrix} A_i \\ B_i \end{bmatrix} \quad (19)$$

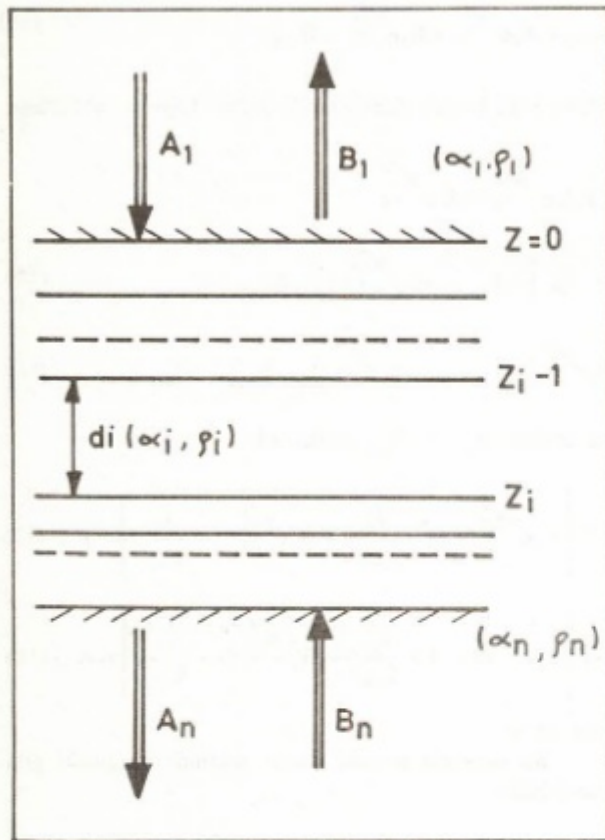
Denklemenin tekrarlanmış şekli ile tabaka matrisinin çarpımı M olarak gösterilir.

$$\begin{bmatrix} A_n \\ B_n \end{bmatrix} = m_n \cdot m_{n-1} \dots m_{n-2} \begin{bmatrix} A_i \\ B_i \end{bmatrix} = M \begin{bmatrix} A_i \\ B_i \end{bmatrix} \quad (20)$$

$$\begin{bmatrix} A_n \\ B_n \end{bmatrix} = \begin{bmatrix} M_{11} & M_{12} \\ M_{21} & M_{22} \end{bmatrix} \begin{bmatrix} A_i \\ B_i \end{bmatrix} \quad (21)$$

Tabaklı bir ortam üzerine genliği $A_i = 1$ olan bir düzlem dalga gönderelim. Yansıyan dalga genliği ise $B_i =$

R olsun. Bu durumda ortam tam olarak, yani n inci tabaka bir yarı ortam şeklinde tanımlanmış ise dalga yayının kurallarına göre $B_n = 0$ dir, sınır yüzeyinden yayınarak geçen dalga genliği ise $B_n = T$ olur (Şekil 2).



Şekil 2. n tabaklı yerkabuğu modelinde yansıyan ve yayılan dalga genlikleri.

Fig. 2. Amplitude of reflected and refracted waves in n -layered media.

Buna göre oluşturulacak matris;

$$\begin{bmatrix} T_{pp} \\ 0 \end{bmatrix} = \begin{bmatrix} M_{11} & M_{12} \\ M_{21} & M_{22} \end{bmatrix} \begin{bmatrix} 1 \\ R_{pp} \end{bmatrix} \quad (22)$$

şekline dönüsür veya açılmış şekli ile,

$$\begin{bmatrix} T_{pp} \\ 0 \end{bmatrix} = \begin{bmatrix} M_{11} - M_{12} R_{pp} \\ M_{12} - M_{22} R_{pp} \end{bmatrix} \quad (23)$$

Bu matrisin çözümü ile R_{pp} ve T_{pp} katsayıları

$$R_{pp} = -\frac{M_{21}}{M_{22}}$$

$$T_{pp} = M_{11} - M_{21} \cdot \frac{M_{21}}{M_{22}} = \det [M] \frac{1}{M_{22}} \quad (24)$$

$$\det [M] = \frac{1_{n-1}}{1_n} \cdot \frac{1_{n-2}}{1_{n-1}} \cdots \frac{1_2}{1_3} \cdots \frac{1_1}{1_n} = \frac{I_1}{I_n} \quad (25)$$

sonucu olarak,

$$R_{pp} = -\frac{M_{21}}{M_{22}}$$

$$T_{pp} = \frac{I_1}{I_n} \cdot \frac{1}{M_{22}} = \frac{\rho_1 \alpha_1}{\rho_n \alpha_n} \cdot \frac{1}{M_{22}} \quad (26)$$

elde edilir. (24) denkleminde görüldüğü gibi yansıtma ve yayının katsayıları tabaka parametrelerinin dışında ayrıca açısal frekans w 'ya da bağlıdır. Buna göre denklem (26) ile yansıtınan dalga,

$$U_y(z, t) = R_{pp}(w) e^{jw(t-\frac{z}{\alpha_1})} \quad (27)$$

ve yayılan dalga,

$$U_k(z, t) = T_{pp}(w) e^{jw(t-\frac{z-z_{k-1}}{\alpha_k})} \quad (28)$$

olarak verilir. Yukarıdaki R_{pp} ve T_{pp} katsayıları tüm tabakalar için istenilen frekanslarda hesaplanabilir. Böylece istenen tüm tabaka modelleri için yapay yansıtma sisogramları üretilir.

$$F(w) = \int_{-\infty}^{\infty} F(t) \cdot e^{j\omega t} dt$$

Bir kaynak dalgacığı yardımı ile yapay sismogram üretiminde düzlem dalga $F(t)$, $F(w)$ şeklinde bir spektruma sahiptir. Yansıtınan dalgalar için $G(t + z/\alpha_i)$ eşitliği aşağıdaki şekilde verilir:

$$G(t + z/\alpha_i) = \int_{-\infty}^{\infty} R_{pp}(w) \cdot F(w) \cdot e^{jw(t+z/\alpha_i)} dw$$

$$= \int_{-\infty}^{\infty} G(w) \cdot e^{jw(t+z/\alpha_i)} dw \quad (29)$$

Yansıtınan dalganın Fourier dönüşümü,

$$G(w) = R_{pp} \cdot F(w) \cdot e^{jwz/\alpha_i} \quad (30)$$

$z = 0$ için yapay sismogram ise;

$$G(0, t) = \frac{1}{2\pi} \int_{-\infty}^{\infty} F(w) \cdot R_{pp}(w) \cdot e^{jwt} dw \quad (31)$$

şeklinde üretilir.

YANSIMA, YAYINIM İLİŞKİLERİ VE GİRİŞİM OLAYI

Bilindiği gibi empedans faktörü,

$$K_i = \frac{\rho_{i+1} \alpha_{i+1}}{\rho_i \alpha_i} \quad (32)$$

ve yansima katsayisi,

$$r_i = \frac{1 - k_i}{1 + k_i} \cdot \frac{\rho_i \alpha_i - \rho_{i+1} \alpha_{i+1}}{\rho_i \alpha_i + \rho_{i+1} \alpha_{i+1}} \quad (33)$$

şeklinde verilir. Daha sonra yineleme bağıntısından R (w) girişim olaylarını inceleyebilmek için aşağıdaki işlemler yapılır;

$q_i = \exp(-jwd_i/\alpha_i)$ harmonik fonksiyonu, $w = 2\pi f$ açısal frekans ve $\lambda = \alpha \cdot T$ dalga boyu bağıntıları yardımı ile,

$$q_i = \exp(-j2\pi d_i/\lambda_i) \quad (34)$$

şeklinde ifade edilebilir.

$$\Im[\exp(-jwd_i/\alpha_i)] \Rightarrow \delta(t - d_i/\alpha_i) \quad (35)$$

12 ve 13 bağıntılarına benzer biçimde ve sınır koşulları uygulanarak aşağıdaki eşitlikler yazılır:

$$A_i q_i + B_i q_i^{-1} = A_{i+1} + B_{i+1} \quad (36)$$

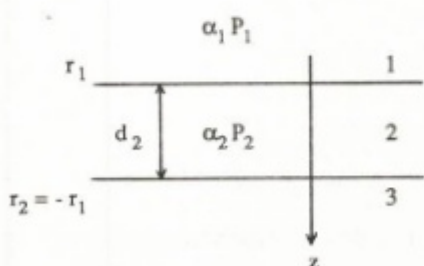
$$-A_i q_i + B_i q_i^{-1} = K_i (A_{i+1} + B_{i+1})$$

$$\frac{A_i}{B_i} = R_i = q_i^2 \frac{\frac{A_{i+1}}{B_{i+1}} + \frac{1 - k_i}{1 + k_i}}{1 + \frac{A_{i+1}}{B_{i+1}} - \frac{1 - k_i}{1 + k_i}} \quad (37)$$

İşlemi ile yansima katsayılarının yineleme bağıntısı elde edilir:

$$R_i = \frac{R_{i+1} + r_i}{1 + R_{i+1} r_i} \cdot q_i^2 \quad (38)$$

Aşağıdaki model iki yarı sonsuz ortam arasında bulunan ince bir tabakadan oluşmaktadır, tabaka parametreleri ise,



şeklindeki gibidir.

Bu model üzerinde yineleme bağıntısını kullanacak olursak şunlar geçerlilik kazanır;

$$R_3 = \frac{B_3}{A_3} = 0$$

$$R_2 = r_2 q_2^2$$

$$R_1 = \frac{R_2 + r_1}{1 + R_2 r_1} = \frac{r_2 q_2 + r_1}{1 + r_2 q_2 r_1} \quad (39)$$

$r_2 = -r_1$ eşitliğinden,

$$R_1 = \frac{r_1 - r_1 e^{-jw 2d_2/\alpha_2}}{1 - r_1^2 e^{-jw 2d_2/\alpha_2}} = r_1 \frac{1 - e^{-jw 2d_2/\alpha_2}}{1 - r_1^2 e^{-jw 2d_2/\alpha_2}} \quad (40)$$

Burada R_1 , açısal frekansın (w) bir fonksiyonudur. $R_1(w)$ 'nin davranışı bizi girişim olayına götürür. Bu girişim olayını yapıcı ve yok edici girişim olayları olarak iki şekilde görebiliriz.

Yok edici girişim olayında,

$$\exp(jw_2 d_2/\alpha_2) = 0$$

veya açık olarak,

$$1 - \exp(jw_2 d_2/\alpha_2) = 1 - \cos(2wd_2/\alpha_2) - j \sin(2wd_2/\alpha_2) = 0 \quad (41)$$

$\cos(2wd_2/\alpha_2) = 1$ olduğundan,

$$2wd_2/\alpha_2 = 2n\pi \quad n = 0, 1, 2, 3, \dots \quad (42)$$

$$f_n = \frac{w_n}{2\pi} = \frac{n\alpha_2}{2d_2} \quad n = 0, 1, 2, 3, \dots$$

noktalarında $R_1(w)$ sıfır değerini alır.

Boyuksuz büyüklük d/λ ya göre yok edici girişim oranları

$$\left(\frac{d}{\lambda}\right) = 0, \frac{1}{2}, 1, \frac{3}{2}, 2, \frac{5}{2} \text{ dir.} \quad (43)$$

Yapıcı girişim olayında ise,

$$w_n wd_2/\alpha_2 = (2n + 1)\pi \quad n = 0, 1, 2, \dots \quad (44)$$

$$f_n = \frac{(2n + 1)\alpha_2}{4d_2} \quad n = 0, 1, 2, \dots$$

noktalarında $R_1(w)$ sıfır değerini olacaktır.

Yapıcı girişim olayında ise boyutsuz büyüklük (d/λ) oranları

$$\left(\frac{d}{\lambda}\right) = \frac{1}{4}, \frac{3}{4}, \frac{5}{4}$$

şeklinde olmaktadır.

UYGULAMALAR VE SONUÇLAR

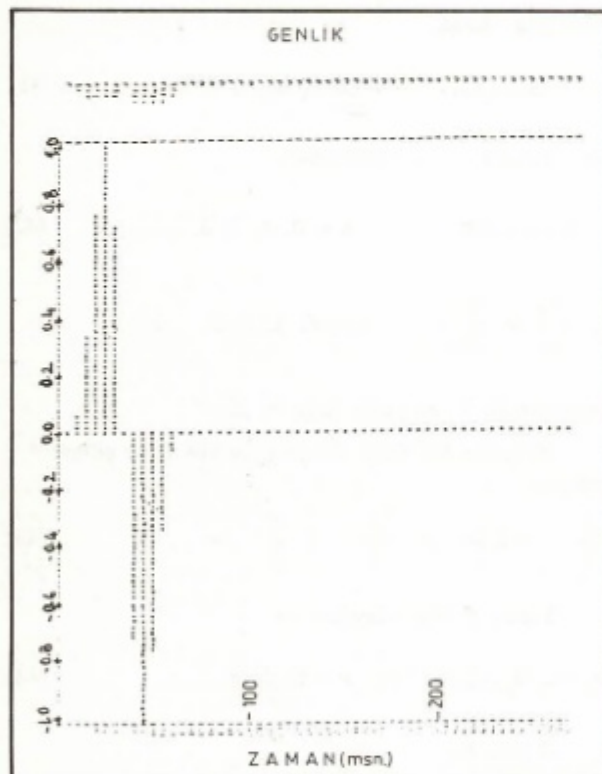
Bu bölümde kuramsal tabaka modellerinden değişik hız ve yoğunluğa bağlı olarak P dalgaları ile üretilen yansımaları içeren yapay yansıtma sismogramları incelenmiştir. Tabakalı bir ortamda ilerleyen elastik dalgalar için dalga denklemi verilen matris yöntemi ile çözülmüştür. Bu matris yardımıyla elde edilen sonuçlar diğer yöntemler ile kontrollü yapılabildiğinde duyarlılığı artmaktadır. Ancak tabaka parametrelerinin sismogram ve transfer fonksiyonunu ne şekilde etkilediğini önceden bilmek gereklidir. Bu nedenle önceden hazırlanan modellerle parametre değişimlerinin etkisini araştırıp problemi daha basitleştirmek için parametre değerlerinde bazı sınırlamalar yapılmaktadır.

Yerkabuğunda yoğunluk, sismik dalga hızları ile birlikte genel olarak doğrusal arttıktan, yoğunluk-hız ilişkisi için;

$$\rho = 1.7 - 0.2 \alpha \quad (46)$$

Nafe and Drake (1963) bağıntısı kullanılır.

Şekil 3'de, kaynak dalgacığı analitik olarak aşağıdaki şekilde verilmiştir (Fertig ve Muller 1978).



Şekil 3. Kaynak dalgacığı.
Fig. 3. Input wavelet.

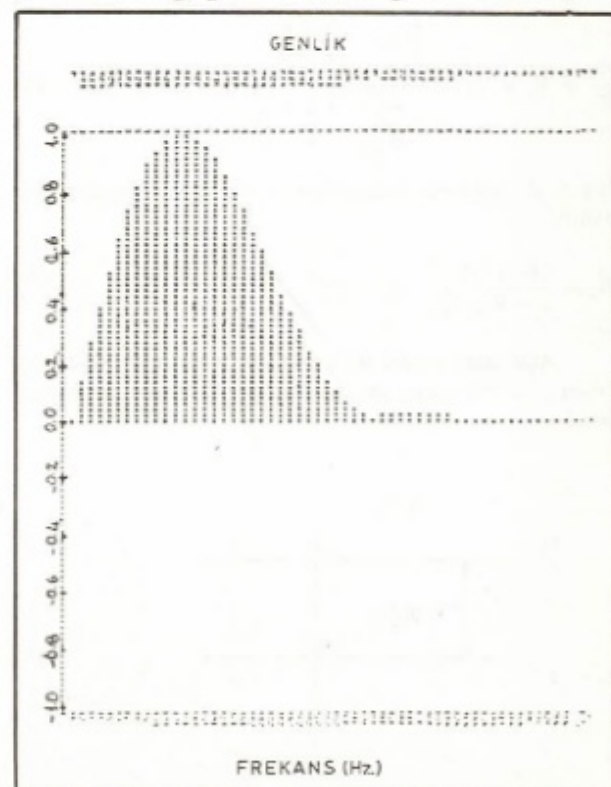
$$f_n(t) = \begin{cases} \sin \delta t - \frac{1}{m} \sin m \delta t & 0 \leq t \leq T \\ 0 & 0 < t \text{ ve } t > T \end{cases}$$

$$\delta = \frac{N_n}{T} \quad m = \frac{n+2}{N} \quad N = 1, 2, 3, \dots$$

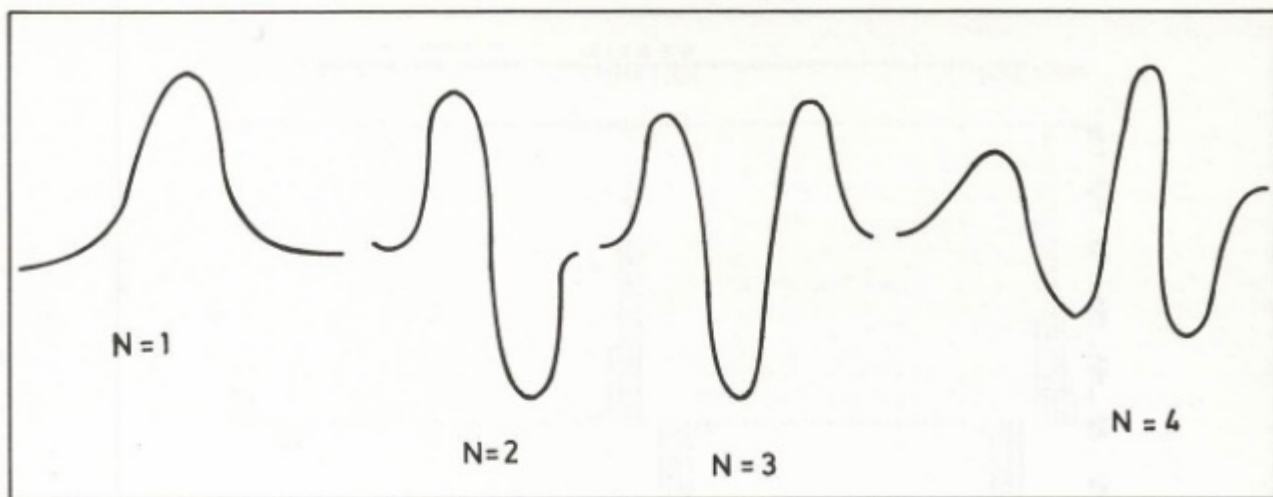
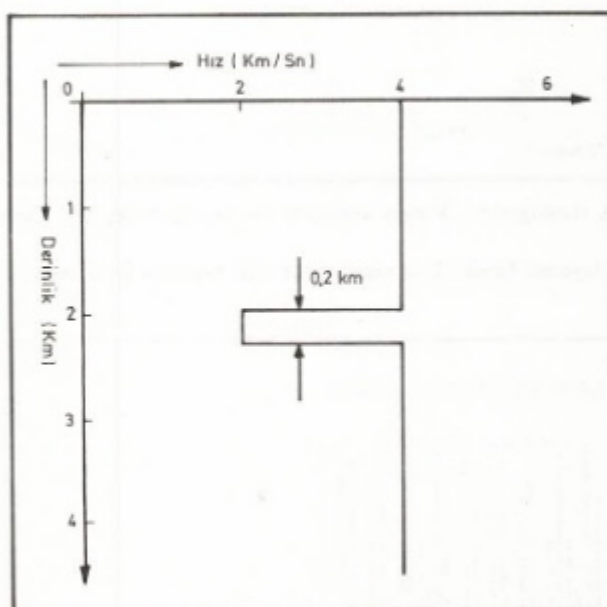
Burada, N extremum noktası, T sinyalin peryodu ve t zaman aralığıdır.

Kaynak dalgacığının spektrumu ise Şekil 4'de görülmektedir. Buradaki kaynak dalgacı $f_n(t) = d/dt f_{n-1}(t)$ şeklindeki ve uygulamalarda $N = 2$ olarak seçilmiştir (Şekil 5).

Once de deiginildiği gibi, bu çalışmada amaç tabaka kalınlıklarındaki değişimlerin sismogram ve yerkabuğu transfer fonksiyonu üzerindeki etkisini incelemek ve araştırmaktır. Uygulamalarda örneklemme aralığı $\Delta t = 5$ msn, kaynak dalgacığı peryodu 12 örneklemeden $T = 12 \times 0.005 = 60$ msn olarak alınmıştır. Tabaka kalınlıklarının yerkabuğu transfer fonksiyonuna etkisini incelemek için seçilen ilk kuramsal model üç tabakalıdır. Bu ve bundan sonraki sismogramlarda da incelenen olay tabaka kalınlığı-dalga boyu ilişkisine dayanmaktadır. Başka bir deyişle, dalga boyunun tabaka kalınlığından büyük olduğu durumlarda gözlenecek olaylar ve yorumda getirdiği güçlüklerdir. Şekil 6'daki modelde iki yarı sonsuz ortam arasındaki tabaka kalınlığı 200 m ve dalga boyu $\lambda_2 = \alpha_2 \cdot T = 2000 \text{ m/sn} * 0.06 \text{ sn} = 120 \text{ m}$ olarak alınmıştır. Yani $\lambda_i < d_2$ olayı söz konusudur. Böylece kuramsal yer modeline göre oluşturulan sismogramdaki (Şekil 7) kaynak dalgacığı esas şeklini korumuştur. Çalışmada yansıtma olayı sadece düşey gidiş-geliş olarak incelendiği için ikinci tabakadan yansiyip yüzeydeki alıcıya gelen sinyal, sismogramda $T = 2h_2/v_2 = 200$ msn de görülmektedir. Böylece



Şekil 4. Kaynak dalgacığının genlik spektrumu.
Fig. 4. Amplitude spectrum of input wavelet.

Şekil 5. $N = 1, 2, 3$ ve 4 için kullanılan kaynak dalgacığının şékları.Fig. 5. Shape of input wavelet for $N = 1, 1, 3$ and 4 .

Şekil 6. Üç katmanlı bir yapıdan oluşan kuramsal Model-I.

$$V_1 = 4000 \text{ m/sn}, \quad V_2 = 2000 \text{ m/sn},$$

$$d_1 = 2000 \text{ m}, \quad d_2 = 200 \text{ m},$$

$$\rho_1 = 2.5 \text{ gr/cm}^3, \quad \rho_2 = 2.1 \text{ gr/cm}^3,$$

$$V_3 = 4000 \text{ m/sn},$$

$$d_3 = 2000 \text{ m},$$

$$\rho_3 = 2.5 \text{ gr/cm}^3.$$

Fig. 6. Three layered synthetic Model-I.

İkinci tabakadan yansiyip alıcıya gelen sinyal diğer tabakalardan yansiyen sinyaller ile girişime uğramayacak, tabaka ayrılıklığı da sismogramda görüldüğü gibi net bir şekilde gözlenmiş olacaktır. Çalışmada oluşturulan yapay sismogramlar zaman olarak kaydırıldığından ilk yansımaya $t = 0$ 'da bulunmaktadır. Aynı model için elde edilen transfer fonksiyonuna bakıldığından örnekleme frekansı $f_o = 1/\Delta t = 2\pi/w_o = 200 \text{ Hz}$ olduğu görüllür.

Örnekleme kuramına göre, $f_o < 2f_M$ olduğu sürece görüntü spektrumlar, esas spektrumdan ve birbirlerinden ayrılmış olacaklardır. Bu da örnekleme aralığının $1/2 f_M$ 'den daha küçük ($\Delta t < 1/2f_M$) seçilmesi ile olanağıdır. Örnekleme aralığının $\Delta t = 1/2f_M$ seçilmesi ise limit durumu oluşturmaktadır.

Bu durum ayrik spektrumda görülmektedir (Şekil 8). Şekilden de görüldüğü gibi görüntü spektrumlar birbirini ve esas spektrumu etkilememekle birlikte spektrum f_N (Nyquist frekansı) etrafında katlanmaktadır.

II. Modelde (Şekil 9) iki yarı sonsuz ortam arasındaki tabaka kalınlığı 200 m'den 2 m'ye azaltıldığında $d_2/\alpha_2 \ll 1$ olayı söz konusu olacaktır. Dolayısı ile oluşan sismogramda tabakalardan yansıyan sinyallerin girişimi sonucu tabaka ayrılılığı gözlenmeyecektir (Şekil 10). Doğal olarak görüntü spektrumlarının esas spektrumdan ve birbirlerinden yeterince ayrılmazı durumu olmayacağı ve girişim olayı nedeni ile farklı bir spektrum elde edilecektir. Tabaka kalınlığı inceldikçe transfer fonksiyonun genişliği yüksek frekanslara doğru kayacak ve böylece girişim olayının varlığı transfer fonksiyonundan gözlenebilecektir (Şekil 11).

Böyle bir ortam için aşağıdaki bağıntı verilmektedir;

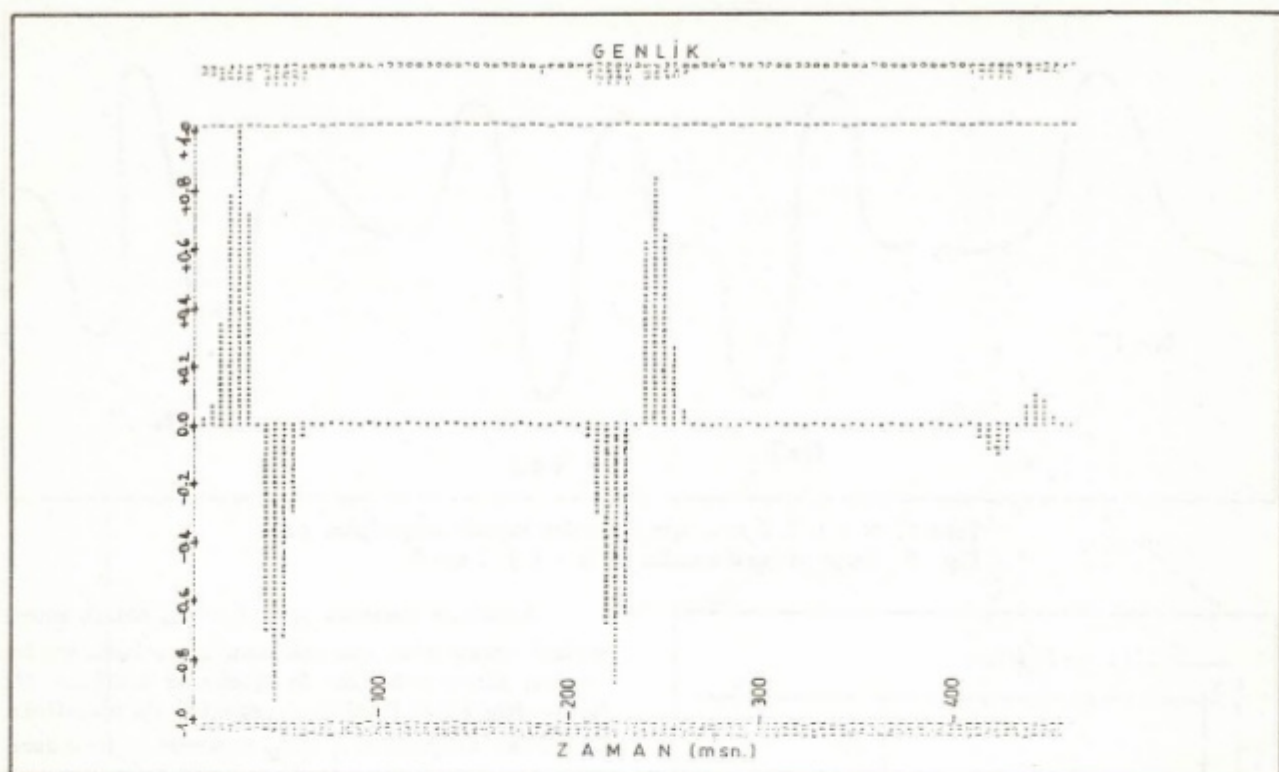
$$r_1(1 - e^{-jw2d_2/\alpha_2}) \equiv r_1(1 - 1 + jw2d_2/\alpha_2) \\ \equiv jw r_1 2 d_2 / \alpha_2$$

r_1 = katmanın üst yüzeyinden yansıyan dalganın genliğidir. Burada transfer fonksiyonu w ile doğrusal olarak artar, zaman ortamına geri dönüştürse ise kaynak dalgacığı.

$$G(t + z/\alpha_1) \equiv r_1 2 d_2 / \alpha_2 \cdot F(t + z/\alpha_1)$$

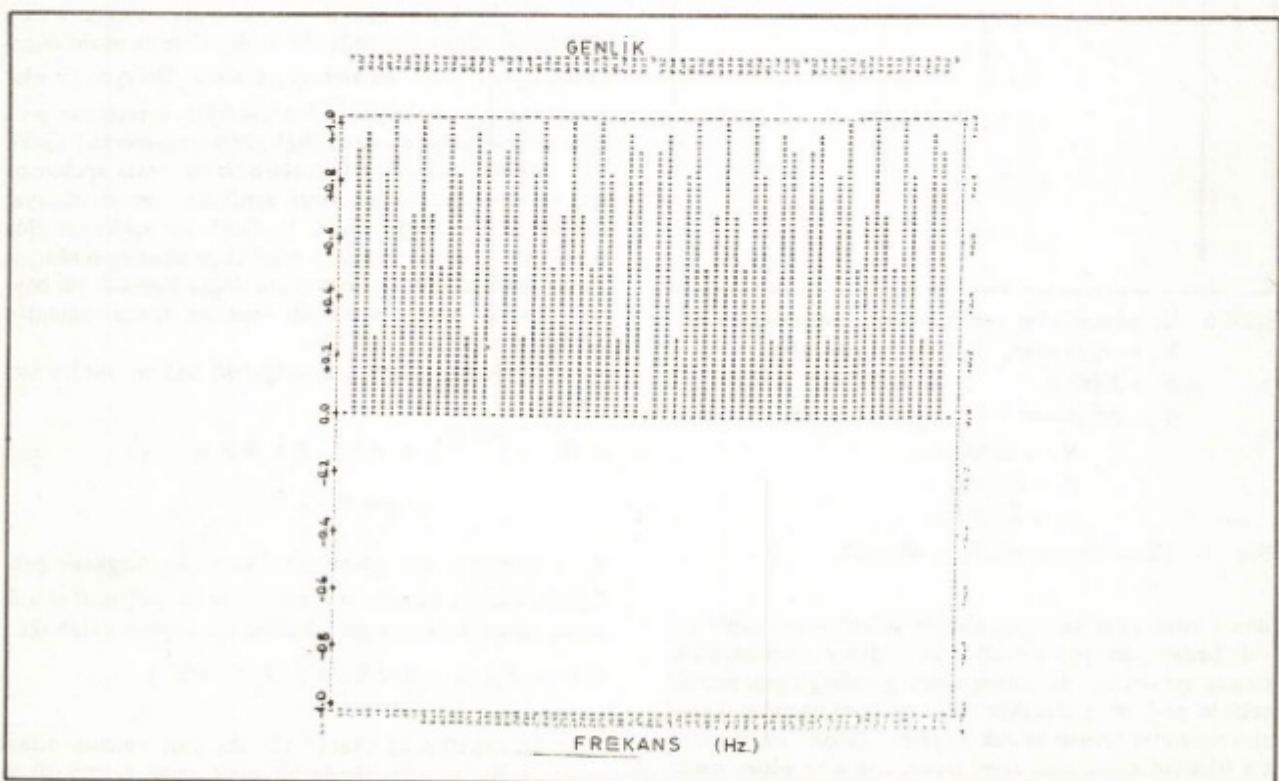
şeklini alır.

Model-III'deki (Şekil 12) iki yarı sonsuz ortam arasında 200 m kalınlığında bir geçiş zonu, her biri 10 m kalınlıkta olan 20 katmandan oluşmaktadır. Geçiş zonunda hız sürekli olarak arttırdığından ($\lambda_G = T \cdot \alpha_G$) dalga boyu



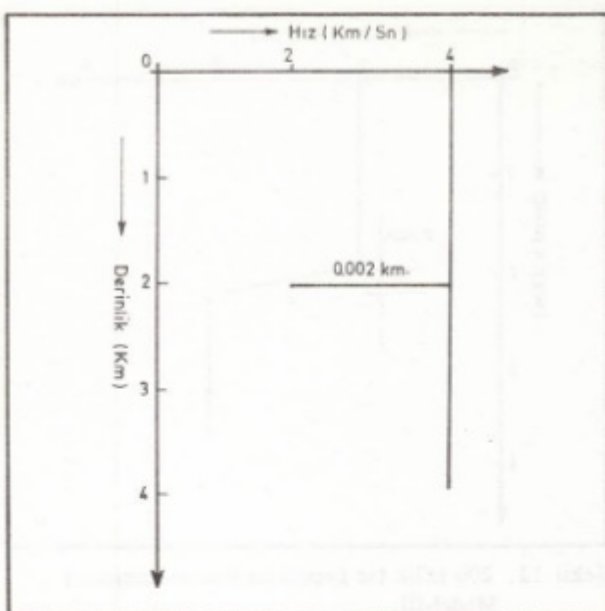
Şekil 7. Model-I'in kullanılması ile oluşturulan yapay yansımaya sismogramı. 5 msn aralıklar ile örneklenmiş 128 örnek sayısından oluşmaktadır.

Fig. 7. Synthetic reflection seismogram produced of using the layered Model-I. It consists of 128 samples of 5 msec interval.



Şekil 8. Model-I'in transfer fonksiyonu.

Fig. 8. Transfer function of Model-I.



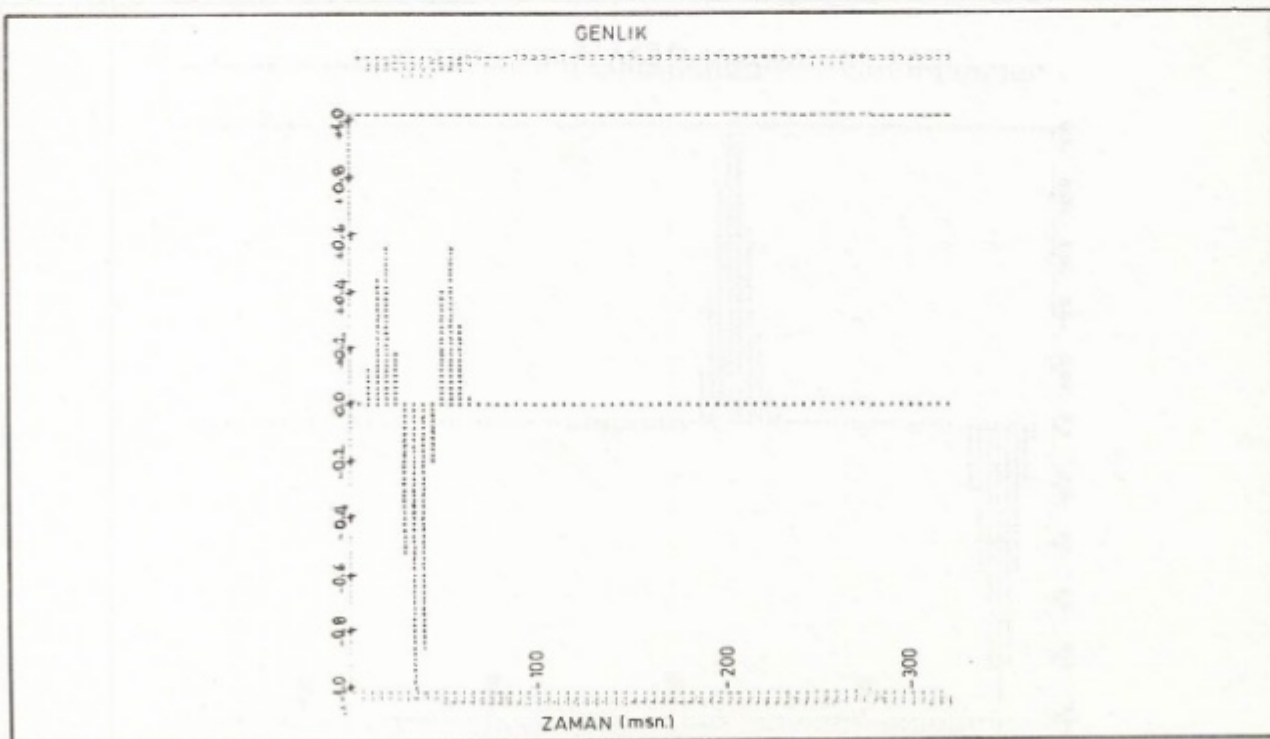
Şekil 9. Üç tabakadan oluşan kuramsal Model-II.

$$\begin{aligned}
 v_1 &= 4000 \text{ m/sn}, & v_2 &= 2000 \text{ m/sn}, \\
 d_1 &= 2000 \text{ m}, & d_2 &= 2 \text{ m}, \\
 \rho_1 &= 2.1 \text{ gr/cm}^3, & \rho_2 &= 2.5 \text{ gr/cm}^3, \\
 v_3 &= 4000 \text{ m/sn}, \\
 d_3 &= 2000 \text{ m}, \\
 \rho_3 &= 2.1 \text{ gr/cm}^3.
 \end{aligned}$$

Fig. 6. Three layered synthetic Model-II.

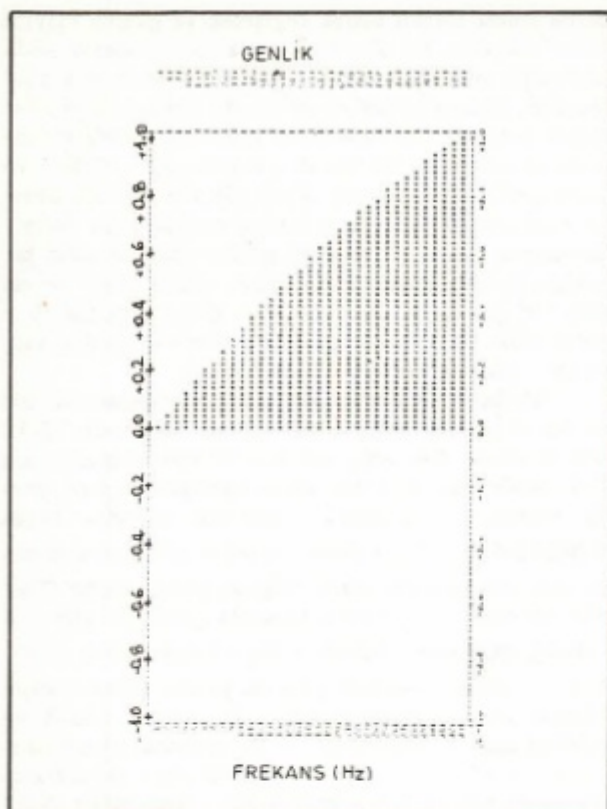
da bu zonda sürekli olarak değişecektir ve girişim olayına neden olacaktır. Bu olay sonucunda oluşan sismogramda görüldüğü gibi kaynak dalgacının şeklini tamamen kaybedecektir. Burada kömür damarlarında karşılaşılan olaylar (güçlü kontrast, ince tabaka) söz konusudur. Böyle ortamlarda sinyaller kısa bir zaman aralığında aşırı yüklenir ve güçlü genlikler oluştururlar (Şekil 13). Model-III'ün transfer fonksiyonu yukarıda belirtilen özelliklerden dolayı, ekstremum noktaları duyarlılık göstermeden düzensiz bir şekilde girişim olayına bağlı olarak oluşan Şekil 14'deki gibi bir spektruma sahip olacaktır. Geçiş zonunda 10 m kalınlıktaki 20 katman arasında hızlar birbirlerine yaklaşıkçe piklerin genlikleri azalmaktadır.

Model-IV'de 2 m kalınlığındaki ince tabaka ile 200 m kalınlığındaki geçiş zonu birlikte verilmiştir (Şekil 15). Model-IV'deki geçiş zonunda tabakalar arasındaki hız farkı Model-III'e göre ters olarak alındığından yani, alttaki katmanın hızı üstteki katmanın hızından küçük olduğundan ($\alpha_i < \alpha_{i+1}$) geçiş zonundan gelen yansımının ilk piki sismogramda pozitif bölgede görülmektedir (Şekil 16). Modelin transfer fonksiyonunda görüldüğü gibi 2 m kalınlığındaki ince tabakada $d_2/\lambda_2 \ll 1$ olayı nedeni ile frekans katlanması meydana gelecek yüksek frekanslardaki bilgiler temel frekans aralığı içine sızmış olacak ve böylece transfer fonksiyonu w ile doğrusal olarak artacaktır. Şekil 17'de geçiş zonundaki ince tabakalarda oluşan girişimden dolayı spektrumda oluşan pikler (Şekil 14) 2 m kalınlığındaki yerkabuğu modelinin transfer fonksiyonu üzerinde yer almaktır ve böylece her iki olayda transfer fonksiyonunda gözlenmektedir.

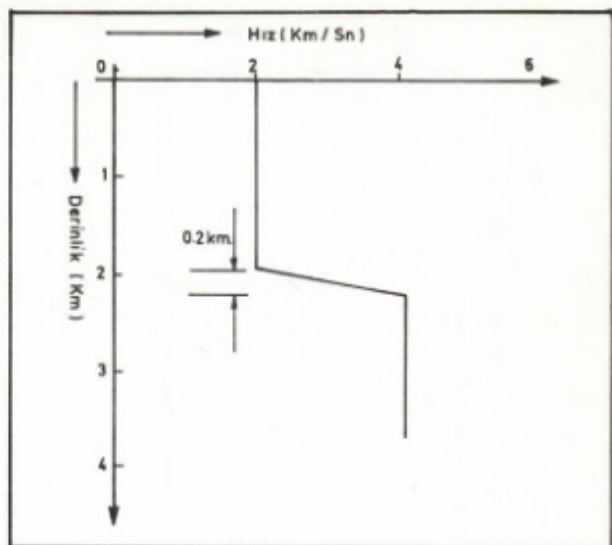


Şekil 10. Model-II'nin kullanılması ile oluşturulan yapay yansımaya sismogramı. 5 msec aralıklar ile örneklenmiş 64 örnekten oluşmaktadır.

Fig. 10. Synthetic reflection seismogram produced of using the layered Model-II. It consists of 64 samples of 5 msec intervals.



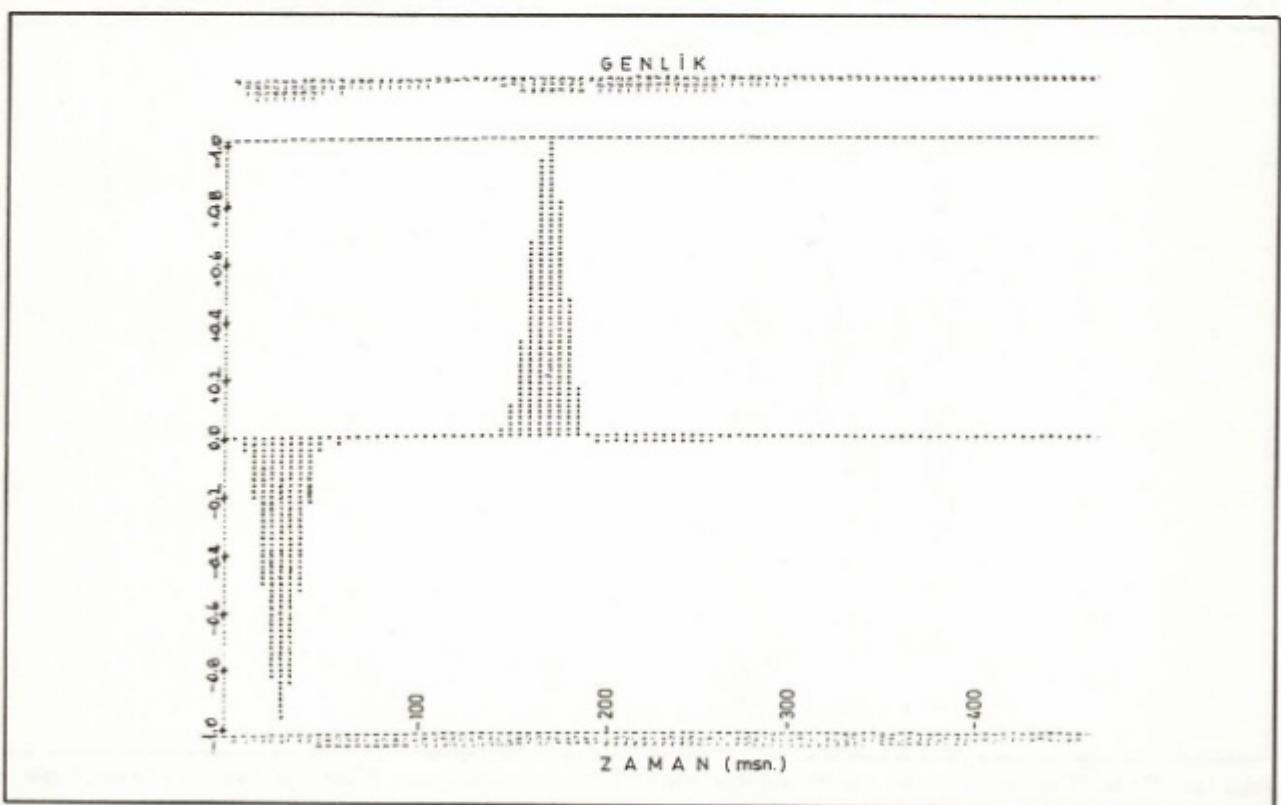
Şekil 11. Model-II'nin transfer fonksiyonu.
Fig. 11. Transfer function of Model-II.



Şekil 12. 200 m'lik bir geçişzonu içeren kuramsal Model-III.

$$\begin{aligned}v_1 &= 2000 \text{ m/sn}, & \text{Geçiş zonu,} \\d_1 &= 200 \text{ m}, & d_2 = 200 \text{ m,} \\p_1 &= 2.1 \text{ gr/cm}^3, & \text{Geçiş zonu,} \\v_3 &= 4000 \text{ m/sn,} \\d_3 &= 2000 \text{ m,} \\p_3 &= 2.5 \text{ gr/cm}^3.\end{aligned}$$

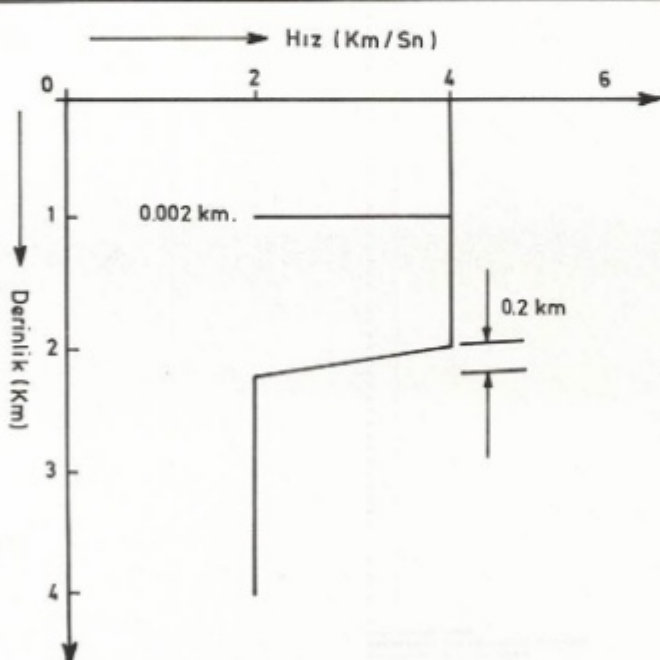
Fig. 12. Synthetic Model-III having 200 m of transition zone.



Şekil 13. Model-III'ün kullanılması ile oluşturulan yapay yansımaya sismogramı.
Fig. 13. Synthetic reflection seismogram produced by using the layered Model-III.

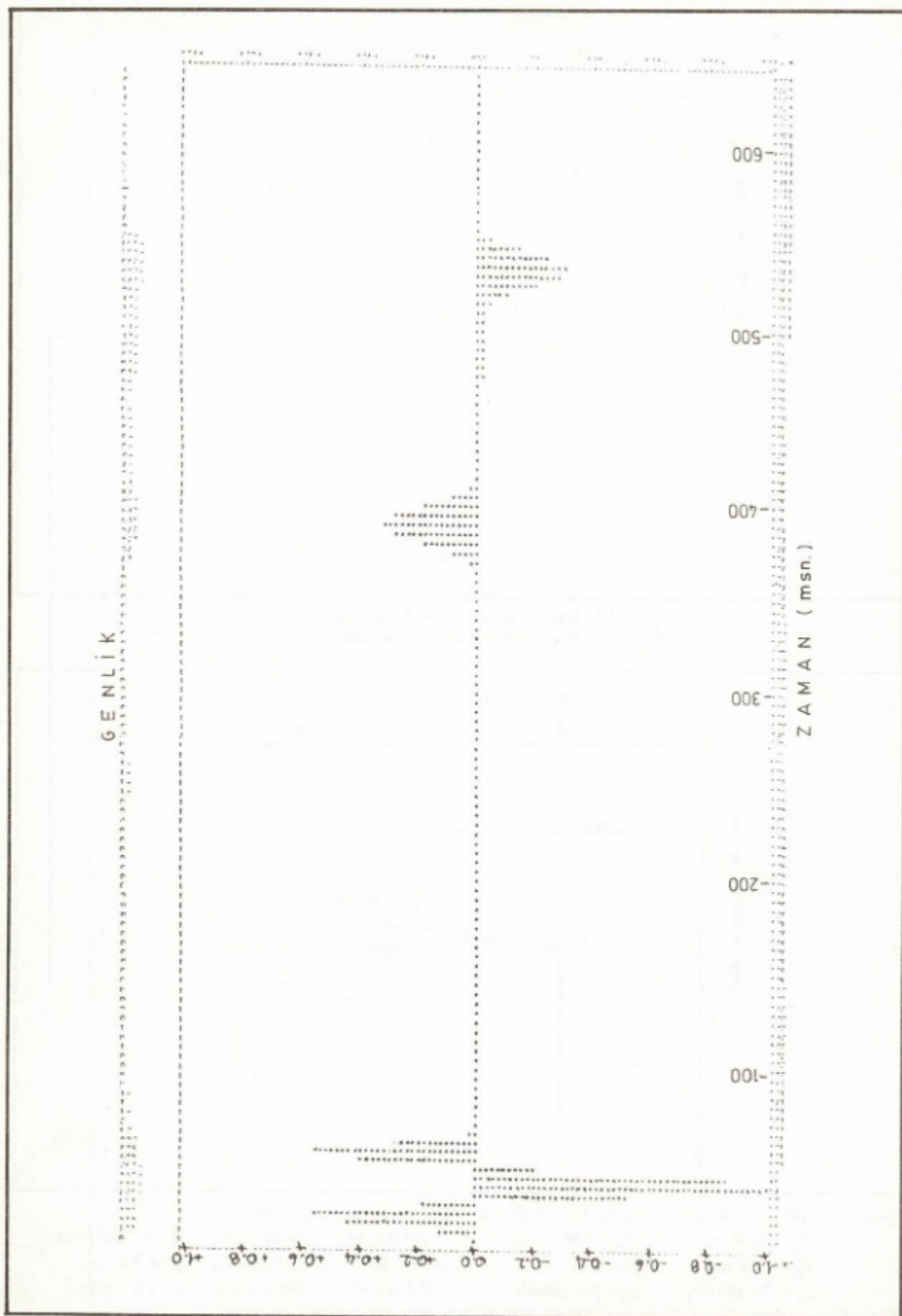


Şekil 14. Model-III'ün transfer fonksiyonu.
Fig. 14. Transfer function of Model-III.

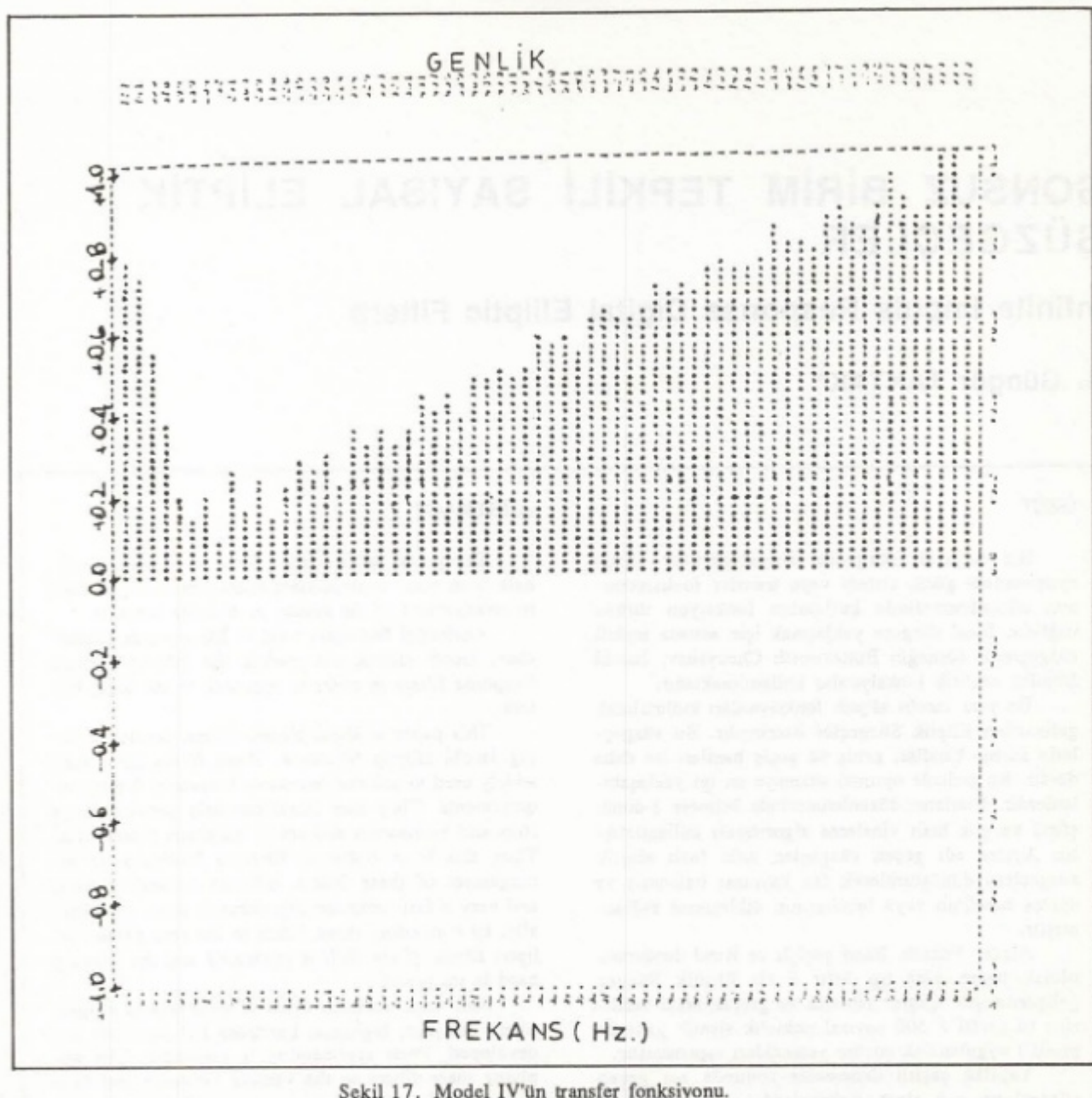


Şekil 15. 200 m'lik bir geçiş zonu ve 2 m'lik ince bir tabakayı içeren yapay Model-IV.
 $V_1 = 4000 \text{ m/sn}$, $V_2 = 2000 \text{ m/sn}$, $V_3 = 4000 \text{ m/sn}$, Geçiş zonu, $V_5 = 2000 \text{ m/sn}$,
 $d_1 = 1000 \text{ m}$, $d_2 = 2 \text{ m}$, $d_3 = 1000 \text{ m}$, $d_4 = 200 \text{ m}$, $d_5 = 2000 \text{ m}$,
 $\rho_1 = 2.5 \text{ gr/cm}^3$, $\rho_2 = 2.1 \text{ gr/cm}^3$, $\rho_3 = 2.5 \text{ gr/cm}^3$, Geçiş zonu, $\rho_5 = 2.1 \text{ gr/cm}^3$.

Fig. 15. Synthetic Model-IV having 200 m of transition zone and 2 m of thin layers.



Şekil 16. Model-IV'ün kullanılması ile oluşan yapay yansuma sismogramı. 5 msec aralıkları ile örneklenmiş 128 örnekten oluşmaktadır.
Fig. 16. Synthetic reflection seismogram produced by using the layered Model-IV. It consists of 128 samples of 5 msec intervals.



Şekil 17. Model IV'ün transfer fonksiyonu.

Fig. 17. Transfer function of Model-IV.

KAYNAKLAR

- Fertig, J. and Müller, G. 1978, Computations of Synthetic Seismograms for coal seams with the reflectivity method, Geophysical Prospecting 26, 868-883.
- Fuchs, K. 1966, The transfer function for P waves for a system consisting of a point source in a layered medium, Bull. Seism. Soc. Am. 56, 75-108.
- Nafe J.E., and Drake C.L. 1963, The Sea, Pergamon Press, Newyork.
- Robinson E.A. and Treitel S. 1977, The spectral function of a layered system and the determination of the waveforms at depth, Geophysical Prospecting 25, 434-459.

SONSUZ BİRİM TEPKİLİ SAYISAL ELİPTİK SÜZGEÇLER

Infinite Impuls Response Digital Elliptic Filters

A. Güngör TAKTAK*

ÖZET

Bir sayisal süzgeçin sinyal-gürültü (S/G) ayırmadaki gücü, sistem veya transfer fonksiyonun düzenlenmesinde kullanılan fonksiyon türüne bağlıdır. Ideal süzgece yaklaşmak için sonsuz tepkili süzgeçlerde (örneğin Butterworth Chebyshev, Jacobi Eliptik) analitik fonksiyonlar kullanılmaktadır.

Bu yazı Jacobi eliptik fonksiyonları kullanılarak geliştirilen Eliptik Süzgeçler üzerinedir. Bu süzgeçlerin süzme bandları geniş ve geçiş bandları ise daha dardır. Bu nedenle optimal süzmeye en iyi yaklaşabilenlerdir. Bunların düzenlenmesinde bilineer z-dönüştümü ve çok hızlı yineleme algoritması kullanılmıştır. Ayrıca adı geçen süzgeçler, sıfır fazlı eliptik süzgeçlere dönüştürülerek faz kayması önlenmiş ve süzme bandının veya bandlarının dikleşmesi sağlanmıştır.

Alçak, Yüksek, Band geçişli ve Band durdurucu olmak üzere dört tip Sıfır Fazlı Eliptik Süzgeç geliştirilmiştir. Çeşitli sentetik ve gerçek arazi verilerine (6 profil x 500 sayısal noktalık sismik yansama profili) uygulanarak çözüm yetenekleri saptanmıştır.

Yapılan çeşitli denemeler sonunda adı geçen süzgeçlerin çok alçak frekanslarda çalışma olanağı sağladığı ve duyarlılığı iyice artttırduğu ortaya konmuştur.

GİRİŞ

Çeşitli jeofiziksel verilere göre, yerkabuğu, yerküresi toplam kütlesinin yüzde 1 hacminin ise yaklaşık 1.5'nu teşkil eder. Fakat bu çok ince kısım, yerküresinin dinamiği ve jeolojik gelişimini tanımadan çok büyük önem taşır. Yeryüzünden itibaren Mohorovicic süreksizliğine (yerkabuğu ile üst manto arası) kadar olan kısım "yerkabuğu" olarak tanımlanır.

Ekonominik yoldan büyük önem taşıyan ve çeşitli büyük olayların sürekli olduğu (örneğin depremler), yerküresinin bu bölümünden incelemek için çok değişik yön-

ABSTRACT

The power of a digital filter in separating signals from noise is dependent upon function type used in arrangement of the system or transfer function.

Analytical functions such as Butterworth, Chebyshev, Jacobi elliptic are used in the Infinite Impulse Response filters in order to approach to the Ideal Filters.

This paper is about elliptic filters developed using Jacobi elliptic functions. These filters have been widely used to achieve restrictive frequency domain requirements. They can simultaneously provide large stopband attenuation and small transition bandwidths. Thus, this is an optimum filtering functions. In arrangement of these filters, bilinear z-transformation and very a fast recursion algorithm is used. Additionally, by converting these filters to the zero phased elliptic filters, phase shift is prevented and the filtering band is steepened.

Four most common types of zero phased elliptic filters: lowpass, highpass, bandpass and bandstop are developed. Their applicability is investigated by applying these filters to the various synthetic and field data (6 profile x 500 point, seismic reflection data).

Trials have shown that the filters which mentioned above have saved time, enabled working conditions at low frequencies and increased the sensitivity.

temler geliştirilmiştir. Dünyanın birçok ülkesinde devam eden çalışmalar; depremler ve yapay patlamalarla elde edilen kırılan ve yansyan hacim dalgaları, gravimetrik ve manyetik analizler, doğal ve yapay elektrik alanlarının incelenmesi gibi konuları içerirler. Özellikle son zamanlarda teknolojik gelişmeye paralel olarak geliştirilen sismik yansuma tekniği de çok önem kazanmıştır.

Son yirmi yıldan beri elektronik ve bilgisayar teknolojisi başdöndürücü bir hızla gelişmektedir. Jeofizikte alınan ölçülerin çok ve çeşitli olması ayrıca kullanılan karmaşık hesapların çok zaman alması araştırıcıları bu

* Dokuz Eylül Üniversitesi, Mühendislik-Mimarlık Fakültesi, Jeol. Müh. Böl., Bornova/İZMİR

teknolojiden yararlanmaya zorlamıştır. Böylece geliştirilen, arazide doğrudan doğruya sayısal veya analog olarak alınan kayıtların istenilen duyarlılıkta sayısal hale dönüştürülebilmesi jeofizik mühendisine yeni ufuklar açmıştır. Alınan ölçülerdeki istenmeyen olayların temizlenerek gerçek olayın ortaya çıkarılması bu teknik sayesinde gerçekleşmiştir. Günümüzde manyetik bantlarda kolayca saklanabilen sayısal verilere en karmaşık ve çeşitli hesaplar, büyük bellekli bilgisayarlar yardımıyla kolayca uygulanabilmektedir.

Sorunları gerçeğe en yakın bir şekilde çözmlemek için kullanılan modelleme yöntemleri böylece büyük bir hız ve etkinlik kazanmıştır. Bu sayede, çok karmaşık jeolojik sorunlara daha duyarlı ve emin bir şekilde yaklaşmak olanağı doğmuştur.

Çalışmalarımızın birinci kısmında ideal bir süzgece en iyi bir şekilde yaklaşan optimal sıfır fazlı sayısal eliptik süzgeçler anlatılmıştır. Yineleme (recursion) bağıntısı kullanarak geliştirilen bu süzgeçler oldukça hızlıdır. Sıfır fazlı olduğundan çıkış verilerinde bozulma söz konusu değildir. Bu süzgeçler kullanıldığında çizim olanakları varsa süzgeçin tüm özelliklerini çok kısa zamanda kontrol etmek olanaklıdır. Böylece kullanıcıya, isteğine en uygun süzgeç modelini seçme olanağı verilmiş olur.

Ikinci kısım sıfır fazlı sayısal eliptik süzgeçlerin yapay verilere ve gerçek arazi verilerine uygulamasını kapsar. Süzgeç giren ve çıkan sismogramların Fourier dönüşümleri yapıldıktan sonra, genlik spektrumları hesaplanır. Bu da kullanılan süzgeçin etkinliğinin kontrolü bakımından önemlidir.

Yukarıda anlatılan yararlarından dolayı, dünyanın çeşitli ülkelerinde yerkabuğu inceleme çalışmaları yapılmaktadır. Gerçek arazi verileri, Fransa'da 1970-1974 yılları arasında, Rhône vadisinde (Güney Fransa) yapılan bu tür bir çalışmadan alınmıştır. Analog olarak hazırlanan bu sinyaller BENDIX-Datagrid Digitizer iye 0.01 saniye (10 msn) aralıklı (40 mm = 1 sn) sayısal hale dönüştürülmüştür.

Amacımız basit fakat çok etkin yineleme bağıntısı kullanarak geliştirilen optimal sıfır Fazlı Sayısal Eliptik Süzgeçlerin (Alçak Geçişli, Yüksek Geçişli, Band Geçişli ve Band Durdurucu) yetenek ve kullanım sınırlarını göstermektedir.

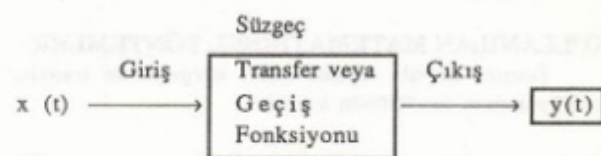
SAYISAL SÜZGECLERE GİRİŞ

Basit ve karmaşık bir düzenek ile alınan kayıtlar, istenilen olaylar yanında istenmeyen olayları da içerir. Esas sinyali az ya da çok bozan bu olaylar (gürültü) bilkte kaydedilirler. Düzeneye eklenen özel elektrik süzgeçlerle, bu gelişigüzel bazen de düzenli olan gürültüler kayıt esnasında giderilmeye çalışılır. Birlikte kaydedilen gürültü ile esas sinyal aynı frekansta değilse, bunları doğrusal frekans seçici süzgeçlerle birbirinden ayırmak kolaydır. Tersi ise oldukça güç, bazen de olnaksızdır. Bu nedenle, gerçek sinyali olanaklar elverdiğinde bozmadan gürültüden arındırmak için çeşitli matematiksel yöntemler geliştirilmiştir.

Bir seri ardışık sayıdan ibaret olan sayısal süzgeçler, ayrı şeklindeki sinyali bir sistem fonksiyonu, transfer fonksiyonu, yardımıyla istenilen özelliklere sahip çıkış

sinyaline dönüştüren sistemlerdir. Sayısal bir süzgeç çıkışı ayrık veya sayısal verilerle ağırlıklı süzgeç kat saylarının evrişiminden ibarettir. Çeşitli yan verilerden yararlanılarak, amaca uygun çözüme en iyi şekilde yaklaşan tek bir sistem fonksiyonu bulunabilir. Sayısal olarak bilgisayar belleğinde saklanabilen bu fonksiyon ve veriler istenildiği anda çeşitli amaçlar için birçok kez kullanılabilir. Sayısal süzgeçlerin bu özellikleri analog süzgeçlere olan en büyük üstünlüklerinden birisidir. Ayrıca, çok alçak frekans (0.01 - 1 Hz) bandlarında çok ekonomik ve hızlırlar (Gold ve Rader 1969). Gerçeğe en uygun veriyi elde etmek için süzülen veriler aynı anda tekrar süzgeçten geçirilebilir. Örneğin band geçişli bir süzgeç çıkışı, band durdurucu süzgeçle yeniden süzülebilir.

Basit bir süzgeç sembolik olarak bir giriş $x(t)$ ve bir çıkış sinyali $y(t)$ olarak,



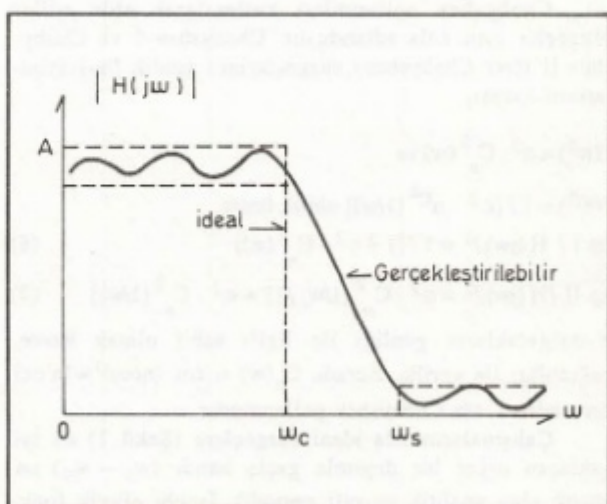
şeklinde gösterilebilir. Sırasıyla $x(t)$ ve $y(t)$ 'nin Laplace dönüşümleri $X(s)$ ve $Y(s)$ olsun. Sistem fonksiyonu, çıkışın, girişe oranına $H(s) = Y(s)/X(s)$ eşittir. Sistem fonksiyonu, kutupsal koordinatlarda, $s = jw$ olmak üzere

$$H(jw) = |H(jw)| e^{j\phi(w)} \quad (1)$$

ile verilir. Burada faz $\phi(w)$ ve genlik $|H(jw)|$, süzgeci temsil eden iki önemli büyüklüktür. Sistemin gecikmesi ise aşağıdaki şekilde verilir:

$$\tau_g = -d\phi(w)/dw \quad (2)$$

Pratikte kullanılan pek çok sistem fonksiyonu $H(s)$ rasyonel (kesirli) fonksiyonlardır. Şekil 1'de görülen ideal süzgeç fonksiyonunu elde etmek olnaksızdır.



Şekil 1. Ideal ve gerçekleştirilebilir bir süzgeç genlik tepkisi.
Fig. 1. A filter amplitude response of an ideal and rational function approximation.

Fakat amaca uygun olarak seçilen bir sistem fonksiyonu ile ideal süzgece yaklaşılmabilir.

Frekans seçici sayısal süzgeçler, istenilen bandları doldurmak için geçiren ve diğer frekansları doldurmayan süzgeçlerdir. Frekansın geçtiği bölgeye süzme bandı w_s , frekansın doldurulduğu bölgeye doldurma bandı w_c , ve bu ikisi arasındaki, seçilen sistem fonksiyonuna göre değişebilen dar bölgeye de geçiş bandı ($w_s - w_c$) adı verilir.

Genlik fonksiyonunun $|H(jw)|$ özelliğine, başka bir deyimle süzme ve doldurma bandlarının konumlarına göre süzgeçler sınıflandırılır. Ideal bir süzgeçte, süzme bandındaki tüm değerler 1 ile $|H(jw)| = 1$ ve doldurma bandında ise sıfır ile $|H(jw)| = 0$ çarpılır. Genlik tepkilerine göre frekans seçici süzgeçler dört bölüme ayrılır: Alçak Geçişli, Yüksek Geçişli, Band Geçişli ve Band Durduruğu süzgeçler.

KULLANILAN MATEMATİKSEL YÖNTEMLER

Sonsuz impuls tepkili (IIR) süzgeçlerde transfer fonksiyonunun modülünün karesi,

$$\begin{array}{lll} w > 1 & \text{için} & f(w^2) \gg 1 \\ 0 \leq w < 1 & \text{için} & 0 \leq f(w^2) < 1 \end{array} \quad (3)$$

olmak üzere;

$$|H(jw)|^2 = 1 / [1 + f(w^2)] \quad (4)$$

bağıntısı ile verilir. Sistem fonksiyonu, süzme bandı, $0 \leq w < 1$, içinde $|H(jw)|^2 = 1$ ve doldurma bandı, $w > 1$, içinde ise $|H(jw)|^2 = 0$ 'dır.

Yukarıdaki koşulları sağlayan ideal bir süzgece yaklaşmak için çeşitli analitik fonksiyonlar kullanılır. Örneğin n 'inci dereceden Butterworth polinomu kullanarak elde edilen süzgeçlere Butterworth süzgeçleri (Gold ve Rader 1969) adı verilir:

$$[H(jw)]^2 B = 1 / [1 - (w/w_c)^2]^{2n} \quad (5)$$

Chebyshev polinomları kullanılarak elde edilen süzgeçler aynı adla adlandırılır. Chebyshev-I ve Chebyshev-II (ters Chebyshev) süzgeçlerinin genlik fonksiyonlarının karesi,

$$f(w^2) = \epsilon^2 \cdot C_n^2(w) \text{ ve}$$

$f(w^2) = 1 / [\epsilon^2 \cdot nC^2(1/w)]$ olmak üzere,

$$\text{tip I} / H(jw)^2 = 1 / [1 + \epsilon^2 \cdot C_n^2(w)] \quad (6)$$

$$\text{tip II} / H(jw)^2 = \epsilon^2 \cdot C_n^2(1/w) / [1 + \epsilon^2 \cdot C_n^2(1/w)] \quad (7)$$

ϵ -dalgaçıkların genliği ile ilgili sabit olmak üzere, bağıntıları ile verilir. Burada $C_n(w) = \cos(n\cos^{-1}w)$ 'nın n 'inci dereceden I. tür Chebyshev polinomudur.

Çalışmalarımızda ideal süzgeçlere (Şekil 1) en iyi yaklaşan diğer bir deyimle geçiş bandı ($w_s - w_c$) en küçük olan analitik ve çift periodik Jacobi elliptik fonksiyonları kullanılmıştır. Elliptik fonksiyonlar kullanılarak elde edilen süzgeçlere Elliptik Süzgeç adı verilir ve karakteristik fonksiyonlarının karesi $f(w^2) = \epsilon^2 \cdot R_n^2(w, L)$

(Rabiner ve Gold, 1975) ve $f(w^2) = \epsilon^2 \cdot U_n^2(w)$ (Schafer ve Oppenheim, 1975 ve Gold ve Rader, 1969) ile tarif edilir. Burada $R_n(w, L)$ 'ye Chebyshev rasyonel fraksiyonu (çözümü elliptik sine fonksiyonu ile yapılır) ve $U_n(w)$ 'ya ise Jacobi elliptik sine fonksiyonu adı verilir.

Teta Fonksiyonları

Jacobi elliptik fonksiyonları ve elliptik integralerin sayısal değerlerini hesaplamak için kullanılan özel fonksiyonlara Teta Fonksiyonları adı verilir. Bunlar sıfır çok hızlı yaklaşan özel fonksiyonlardır. Basit periodik $\theta(z + \pi, q) = \theta(z, q)$ ve analitik olan bu fonksiyonlar çok hızlı serilerle tanımlanırlar. Bu özellikleri büyük bilgisayar zamanı kazandırır.

Tüm sonlu $z \neq 0$ ve $|q| < 1$ için yakınsama vardır. $q = \exp(-\pi K'/K)$ yakınsama faktörüdür. Yakınsamaları trigonometri fonksiyonlara bağlı değildir, sonsuz serilerle aşağıdaki şekilde gösterilirler:

$$\theta_1(z) = 2q^{1/4} (\sin z - q^2 \sin 3z + q^6 \sin 5z - \dots) \quad (8)$$

$$\theta_2(z) = 2q^{1/4} (\cos z + q^2 \cos 3z + q^6 \cos 5z + \dots) \quad (9)$$

$$\theta_3(z) = 1 + 2q \cos 2z + 2q^4 \cos 4z + 2q^9 \cos 6z + \dots \quad (10)$$

$$\theta_4(z) = 1 - 2q \cos 2z + 2q^4 \cos 4z - 2q^9 \cos 6z + \dots \quad (11)$$

Teta fonksiyonları yardımıyla Jacobi Elliptik fonksiyonlarının modüller (k, k'), çeyrek gerçek periodları (K, K') ve s_n, c_n, d_n , elliptik fonksiyonları sayısal olarak hesaplanır:

$$(k)^{1/2} = \theta_2(0) / \theta_3(0) \quad (12)$$

$$(k')^{1/2} = \theta_4(0) / \theta_3(0) \quad (13)$$

$$(2K/\pi)^{1/2} = \theta_3(0) = 1 + 2q^4 + 2q^9 + \dots \quad (14)$$

$$(2K'K/\pi)^{1/2} = \theta_4(0) = 1 - 2q + 2q^4 - 2q^9 + \dots \quad (15)$$

$$(2kK/\pi)^{1/2} = \theta_2(0) = 2q^{1/4} (1 + q^2 + q^6 + q^{12} + \dots) \quad (16)$$

$$K' = \frac{1}{\pi} K \cdot \log(1/q) \quad (17)$$

Teta fonksiyonları Aritmetik-Geometrik Ortalama (A.G.O.) yöntemiyle kolayca hesaplanır:

$$a_0 = 1, b_0 = k', c_0 = k \quad (18)$$

olmak üzere

$$\varnothing_n = 2^n \cdot u \cdot 180^\circ \cdot a_n / \pi \quad (19)$$

dir.

Jacobi Elliptik Fonksiyonları

Karmaşık değişkenli çift periodik elliptik fonksiyonlar mekanik ve elektronik çeşitli dallarında sorunların doğrudan çözümlerinde kullanılır. Elliptik Süzgeç transfer fonksiyonunun elde edilmesinde bu tür fonksiyonlardan yararlanılmıştır. Bu nedenle, tüm matematiksel ayrıntılara girmeden elliptik fonksiyonların uygulamaları hakkında genel bilgi verilecektir. Daha ayrıntılı bilgiler Modern Analiz kitaplarında bulunabilir: Neville

(1951), Milne-Thompson (1956), Jahnke ve Emde (1960), -Whittaker ve Watson (1962), Erdelyi ve diğ. (1963), Abramowitz ve Stegun (1972).

Ters fonksiyon özelliği taşıyan eliptik fonksiyonları, Jacobi eliptik integrali ters çevirerek elde etti.

Eğer $|k| < 1$ ayrıca $|w| < 1$ gerçel ise, I. tür eliptik integral aşağıdaki şekildedir:

$$u = \int_0^w \left[(1-t^2)(1-k^2t^2) \right]^{-1/2} dt \quad (20)$$

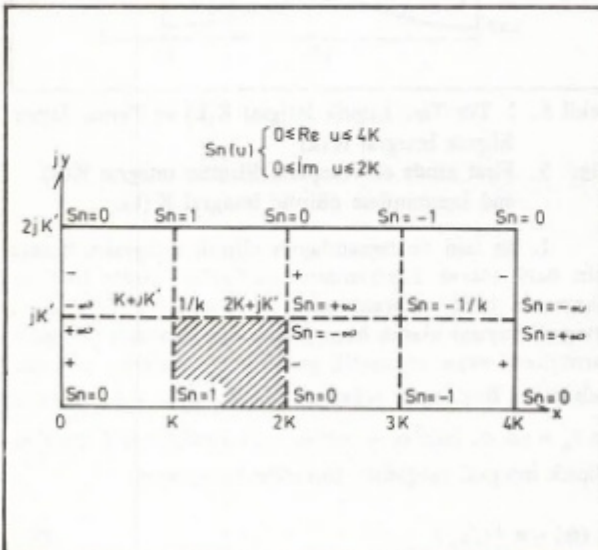
Analitik uzanımla w 'nın tüm değerleri hesaplanabilir. Bu integral, $t = \sin \varnothing$ ve $w = \sin \varnothing$ (\varnothing , modül açısı olduğunda;

$$u(\varnothing, k) = u = \int_0^\varnothing (1 - k^2 \sin^2 \varnothing)^{-1/2} d\varnothing \quad (21)$$

esittir. Burada \varnothing = amp (u)'ya amplitüd ve k 'ya modül adı verilir ve $0 < k < 1$ arasında değişir. Eğer $k = 0$ ise bu integral (21) $u = \sin^{-1}(w)$ veya $w = \sin(u)$ 'ya, $k \neq 0$ ise $w = \operatorname{sn}(u)$ veya $\operatorname{sn}(u) = \sin \varnothing = \sin(u, k)$ 'ya eşittir. $\operatorname{sn}(u)$ fonksiyonuna Jacobi eliptik sine fonksiyonu adı verilir. Gerçel periodu $4K$ ve sanal periodu $2jK'$ olan bu çift periodik

$$\operatorname{sn}(u + 4K) = \operatorname{sn}(u) \quad \text{ve} \quad \operatorname{sn}(u + 2jK') = \operatorname{sn}(u) \quad (22)$$

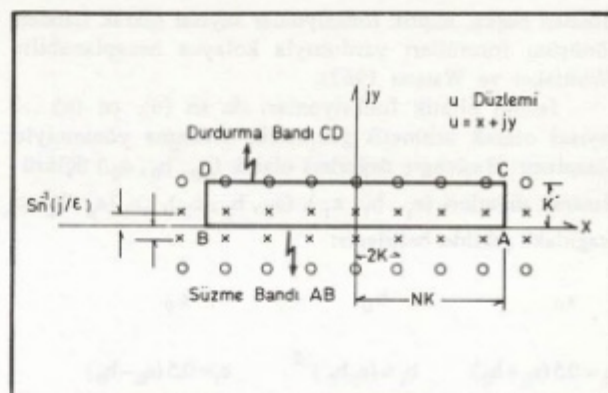
fonksiyonlar, Şekil 2'de görüldüğü gibi kutuplar (jK' , $2K + jK'$) hariç düzlemin her noktasında analittiktirler.



Şekil 2. Jacobi Eliptik sn fonksiyonunun karmaşık ve u-düzleminin kafes noktalarındaki değeri.

Fig. 2. Periodic rectangle for the Jacobian elliptic sn function.

Ayrıca çift periodik özelliklerinden dolayı, her kafesteki iki sıfır (0) ve iki kutup (X) gerçel ve sanal eksenler boyunca sonsuz defa tekrar ederler (Şekil 3).



Şekil 3. Eliptik süzgecin sıfır (0) ve kutuplarının (x) u-düzlemindeki konumları.

Fig. 3. Zeros (0) and poles (x) of the elliptic filter in u-plane.

Oniki çeşit Jacobi eliptik fonksiyonundan konumuzla ilgili olanlar şunlardır:

$$\text{Eliptik Sine} \quad \operatorname{sn}(u, k) = \operatorname{sn}(u) = \sin \varnothing \quad (23)$$

$$\text{Eliptik Cosine} \quad \operatorname{cn}(u, k) = \operatorname{cn}(u) = \cos \varnothing \quad (24)$$

$$\text{Fark Fonksiyonu} \quad \operatorname{dn}(u, k) = [1 - k^2 \operatorname{sn}^2(u)]^{1/2} \quad (25)$$

Bu fonksiyonlar, çeşitli özellikleri bakımından normal trigonometrik fonksiyonlara benzerler:

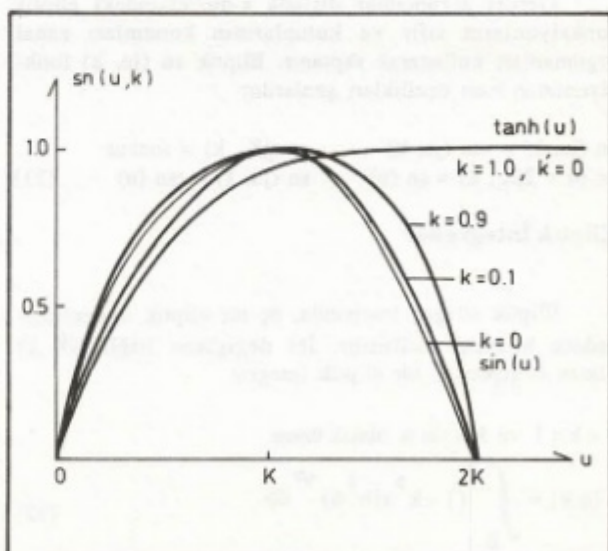
$$\operatorname{sn}^2(u) + \operatorname{cn}^2(u) = 1$$

$$\operatorname{sn}(u) = -\operatorname{sn}(-u) \text{ tek fonksiyon}$$

$$\operatorname{cn}(u) = \operatorname{cn}(-u) \text{ çift fonksiyon}$$

$$\operatorname{sn}(0, k) = 0 \quad \text{ve} \quad \operatorname{cn}(0, k) = 1$$

$k = 0$ için $u(\varnothing, 0) = \varnothing$, $\operatorname{sn}(u, 0) = \sin(u)$ özelliği ve k' parametresinin çeşitli değerleri için eliptik sn (u) fonksiyonunun değişimi Şekil 4'te gösterilmiştir.



Şekil 4. Farklı k parametreleri için sn (u) fonksiyonunun değişimi.

Fig. 4. Variations of the sn (u) function against k .

Bundan başka, eliptik fonksiyonlar sayısal olarak Landen dönüşüm formülleri yardımıyla kolayca hesaplanabilir (Whittaker ve Watson 1962).

Jacobi eliptik fonksiyonları da $sn(u)$, $cn(u)$... sayısal olarak aritmetik-geometrik ortalama yöntemiyle hesaplanır. Başlangıç değerleri olarak (a_0, b_0, c_0) üçlüsü alınarak diğerleri (a_1, b_1, c_1) , (a_2, b_2, c_2) , ..., (a_n, b_n, c_n) aşağıdaki şekilde belirlenir:

$$\begin{array}{lll} a_0 & b_0 & c_0 \\ a_1 = 0.5(a_0 + b_0) & b_1 = (a_0 b_0)^{1/2} & c_1 = 0.5(a_0 - b_0) \\ a_2 = 0.5(a_1 + b_1) & b_2 = (a_1 b_1)^{1/2} & c_2 = 0.5(a_1 - b_1) \\ \dots & \dots & \dots \\ a_n = 0.5(a_{n-1} + b_{n-1}) & b_n = 0.5(a_{n-1} b_{n-1}) & c_n = 0.5(a_{n-1} - b_{n-1}) \end{array} \quad (27)$$

Hesaplar $a_n = b_n$ olduğunda, yani $c_n = 0$ 'da durdurulur.

Eliptik fonksiyonlar için başlangıç değerleri olarak; $a_0 = 1$, $b_0 = k'$ ve $c_0 = k$ alınır ve (27)'deki c_n istenilen duyarlığa ulaştığında hesaplamalar durdurulur. Daha sonra,

$$\varnothing_n = 2^n \cdot a_n \cdot u \cdot 180^\circ / \pi \quad (\text{derece olarak}) \quad (28)$$

$$\sin(2\varnothing_{n-1} + \varnothing_n) = c_n \sin \varnothing_n / a_n \quad (29)$$

yineleme bağıntısı yardımıyla $\varnothing_{n-1}, \varnothing_{n-2}, \dots, \varnothing_1, \varnothing_0$ hesaplanır. Sonuç olarak aşağıdaki bağıntılar bulunur:

$$\begin{aligned} s_n(u, k) &= \sin \varnothing_0 = sn(u) \\ c_n(u, k) &= \cos \varnothing_0 = cn(u) \\ d_n(u, k) &= \cos \varnothing_0 / \cos(\varnothing_1 - \varnothing_0) \end{aligned} \quad (30)$$

Gerçek argümanlar dışında s-düzlemindeki eliptik fonksiyonların sıfır ve kutuplarının konumları sanal argümanları kullanarak saptanır. E莉ptic $sn(ju, k)$ fonksiyonun bazı özellikleri şunlardır:

$$\begin{aligned} sn(ju, k) &= -sn(ju, k) & sn(jK', k) &= \text{sonsuz} \\ sn(u + 2jk', k) &= sn(u) & sn(ju, 1) &= \tan(u) \end{aligned} \quad (31)$$

E莉ptic İntegraller

E莉ptic süzgeç teorisinde, üç tür eliptik integralden sadece birincisi kullanılır. İki değişkene bağlı (\varnothing, k) olarak değişken I. tür eliptik integral

$0 < k < 1$ ve $k = \sin \alpha$ olmak üzere

$$u(\phi, k) = \int_0^\phi (1 - k^2 \sin^2 \phi)^{-1/2} d\phi \quad (32)$$

şeklinde tanımlanır. Burada $\phi = \text{amp}(u)$ değişkenine integralin amplitüdü denir ve gerçek değerleri için $u(\varnothing - k)$ 'da gerçeldir. Integralin modülü $k = (1 - k^2)^{1/2}$ olup, buradaki k' ye tamamlayıcı modül adı verilir.

Birinci Tür Tam E莉ptic İntegral

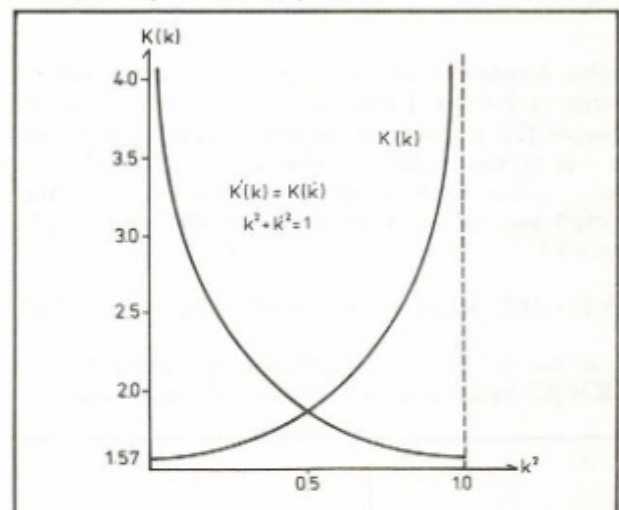
Yukarıda tanımlanan (32) integralin amplitüdü $\varnothing = \pi/2$ olduğunda, buna I. tür tam eliptik integral adı verilir. Genel olarak,

$$K = u(\pi/2, k) = K(k) = \int_0^{\pi/2} (1 - k^2 \sin^2 \theta)^{-1/2} d\theta \quad (33)$$

şeklinde gösterilir. Aynı şekilde I. tür tamamlayıcı tam eliptik integral ise aşağıdaki şekildedir.

$$K' = K(k) = \int_0^{\pi/2} (1 - k^2 \sin^2 \theta)^{-1/2} d\theta \quad (34)$$

K ve jK' , Jacobi eliptik fonksiyonlarının gerçek ve sanal çeyrek periodlarıdır (Şekil 5).



Şekil 5. I. Tür Tam E莉ptic İntegral $K(k)$ ve Tamamlayıcı E莉ptic İntegral $K'(k)$

Fig. 5. First kinds of complete Elliptic integral $K(k)$ and Imcomplete elliptic integral $K'(k)$.

I. tür tam ve tamamlayıcı eliptik integralin hesabı için özel olarak hazırlanmış çizelgeler vardır (Milne-Thomson 1956, Abramowitz ve Stegun 1972). Aynı integrali sayısal olarak hesaplamak için, Landen dönüşüm formülleri veya aritmetik-geometrik ortalama yöntemi kullanılır. Başlangıç değerleri olarak, $a_0 = 1$, $b_0 = \cos \alpha$ ve $c_0 = \sin \alpha$, $(\sin^2 \alpha + \cos^2 \alpha = 1)$ altında I. tür tam eliptik integral aşağıdaki formülle hesaplanır:

$$K(\alpha) = \pi / (2a_n) \quad (35)$$

Tamamlayıcı tam eliptik integral ise farklı başlangıç değerleri, $a'_0 = 1$, $b'_0 = \sin \alpha$ ve $c'_0 = \cos \alpha$ olmak üzere,

$$K'(\alpha) = \pi / (2a'_n) \quad (36)$$

yardımıyla hesaplanır.

Sıfır Fazlı Yinelemeli Sayısal Eliptik Süzgeçler

Sayısal geçişli süzgeçler jeofiziğin çok çeşitli dallarında kullanılır. Özellikle son on, onbeş yılda başta sismoloji olmak üzere uygulama alanları gitgide artmaktadır. Maden jeofiziği, gravite ve manyetik araştırmalar, deprem sismolojisi, uygulamalı prospeksiyon sismolojisi, kuyu logları örnek verilebilir. Jeofiziksel sinyallerin genellikle geniş bir frekans spektrumları vardır ve gürültü ekseriya sinyali bozar. Eğer, sinyal ile gürültü spektrumu üst üste gelmemişi olse (veya çok az karışım varsa), sadece sinyali geçirirmek (süzmek) için düzenlenmiş "seçici süzgeçlerle" veri kuvvetlendirilir.

Sinyal-gürültü ayrılmada kullanılan en etkili süzgeçler "sıfır fazlı" süzgeçlerdir. Sinyal-gürültü spektrumu iyi ayrılan verilerde, geçiş süzgeçleri (alçak, yüksek, band geçişli) en iyi sonucu verir.

Alınan kayıtların geçmiş ve gelecek şekilleri bilgisayara yerleştirilir, böylece amaca uygun olarak düzenlenen transfer fonksiyonu(ları) yardımıyla faz tesiri olmadan sonuca kolayca ulaşılır. Bu olağan ancak sayısal süzgeçlerle sağlanır. Bu da sayısal süzgeçlerin analog süzgeçlere en büyük üstünlüklerinden biridir.

Sayısal ortamda birim impuls fonksiyonu;

$$\delta(t) = \begin{cases} 1 & t = 0 \\ 0 & t \neq 0 \end{cases} \quad (37)$$

şeklinde DIRAC delta fonksiyonu ile verilir.

Sayısal süzgeçleme işlemi, ayrık zaman serisiyle, ağırlıklı恕geç veya impuls tepki fonksiyonunun

$$y_t = \sum_{i=0}^n h_i x_{t-i} \quad t = 0, 1, 2, 3, \dots \quad (38)$$

evrişiminden ibarettir. Burada

$$x_0, x_1, x_2, x_3, \dots, x_m$$

giriş serisinin $m+1$ değeri,

$$h_0, h_1, h_2, h_3, \dots, h_n$$

ağırlıklı恕geç fonksiyonunun $n+1$ değeri,

$$y_0, y_1, y_2, y_3, \dots, y_{n+m}$$

çıkış serisinin $n+m+1$ değeridir.

Bu tür süzgeçin gerçekleştirilebilir ve duraklı olması için impuls tepki fonksiyonunun, gerekli ve yeterli koşullarını gerçekleştirmesi gereklidir:

$$t < 0 \text{ için } h_t = 0$$

$$\sum_{t=0}^{\infty} |h_t| < \infty \text{ veya } \sum_{t=0}^{\infty} |h_t|^2 < \infty \quad (39)$$

Sayısal bir süzgeçin analiz ve hesabı için, z-dönüştümü kullanılır. Evrişim işlemi, z-ortamında çarpım işlemine dönüştürür:

$$Y(z) = H(z) \cdot X(z) \quad (40)$$

Fiziksel bir değişim gösteren $x(t)$ sürekli fonksiyonunu bilgisayarda kullanabilmek için sayısal duruma dönüştürülür. Sürekli bir $x(t)$ fonksiyonunun z-dönüştümü, Δt -örnekleme aralığı,

$$X(z) = \sum_{n=-\infty}^{\infty} x(n \Delta t) z^n \quad n = 0, 1, 2, 3, \dots \text{ dir.} \quad (41)$$

İmpuls tepki fonksiyonu $h(t)$ olan bir süzgeçin z-dönüştümü ise aşağıdaki şekilde verilir:

$$H(z) = \sum_{t=0}^{\infty} h(t) \cdot z^t \quad (42)$$

z-dönüştümü, Laplace ve Fourier dönüşümlerinde, sırasıyla

$$z = \exp(-s \cdot \Delta t) \text{ ve } z = \exp(-j2 \cdot \Delta t) \quad (43)$$

konularak elde edilir. Karmaşık z-düzlemindeki birim daire üzerinde $\Delta t=1$ alındığında $z = \exp(-jw)$ değeri (42)'de yerine konularak

$$H(w) = \sum_{t=0}^{\infty} h(t) \cdot e^{-jwt} \quad -\pi \leq w \leq \pi \quad (44)$$

sonucuna varılır. Bu fonksiyona transfer fonksiyonu adı verilir.

Bilineer z-Dönüştümü

Standard z-dönüştümü esnasında genellikle s-düzlemindeki $j\Omega$ ekseni, z-düzleminde birim daire üzerine düşmez ve sabit analog bir恕geç her zaman sabit sayısal恕geçe dönüştürilemez (Rabiner ve Gold 1975). Bu istenmeyen olaya engel olmak ve transfer fonksiyonunun cebirsel şeklini korumak için Kaiser (1972) cebirsel bir dönüşüm kullanmıştır. Bilineer z-dönüştümü,

$$s = \frac{2}{\Delta t} \cdot \tanh(s \cdot \Delta t/2) \quad (45)$$

şeklinde tanımlanır. $z^{-1} = \exp(-s \Delta t)$ kullanarak,

$$s = \frac{2}{\Delta t} (z - 1) / (z + 1) = \frac{2}{\Delta t} (1 - z^{-1}) / (1 + z^{-1}) \quad (46)$$

$$\tanh x = (e^x - e^{-x}) / (e^x + e^{-x})$$

olduğundan veya

$$z = [(2/\Delta t) + s] / [(2/\Delta t) + s]$$

sonucuna varılır.

Bilineer z-dönüştümü aşağıdaki şekilde cebirsel olarak transfer fonksiyonuna, $H(s)$, uygulanır:

$$H(z) = H(s) \quad s = (2/\Delta t) \{ (1 - z^{-1}) / (1 + z^{-1}) \} \quad (47)$$

Analog frekans Ω ile sayısal frekans w arasındaki bağıntı, formül (46)'da $s = j\Omega$ ve $z = \exp(-jw \cdot \Delta t)$ konularak:

$$\Omega = \frac{2}{\Delta t} \tan(w \Delta t / 2) \quad (48)$$

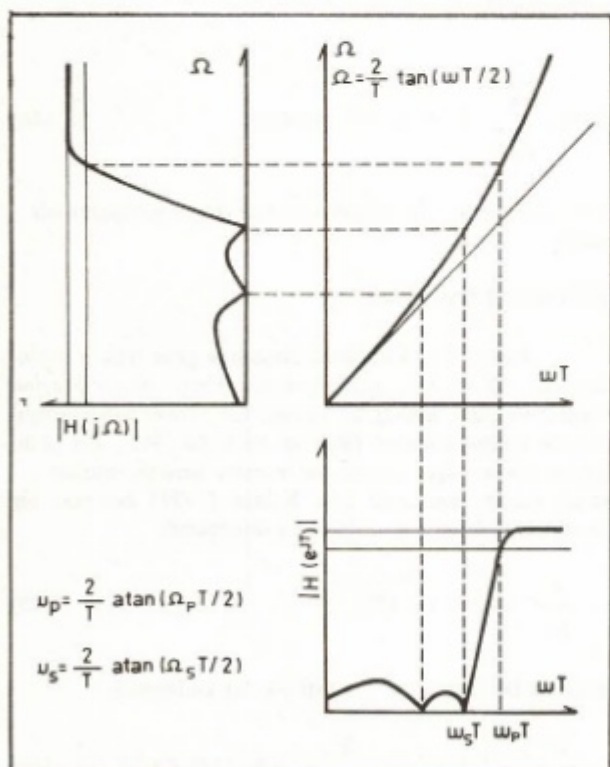
sonucuna varılır. Buradan, s -düzleminde z -düzlemine geçiş kolayca görülebilir. Yukarıdaki (46) bağıntısındaki z değeri s 'e bağlı olarak çözüldüğünde:

$$z = [(2/\Delta t) + j\Omega] / [(2/\Delta t) - j\Omega]$$

bulunur.

Burada $\Omega = 0$ için $z = 1$ yani $1.0 + j0.0$ sıfır frekansı. $\Omega = \infty$ için $z = -1$ yani $-1.0 + j0.0$ Nyquist frekansıdır.

Sayısal ve analog süzgeçler arasındaki düzgün olmayan bu bağıntı Şekil 6'da görüldüğü gibi giderilebilir.



Şekil 6. Bilineer z-dönüştümünün yüksek geçişli bir süzgece uygulanması.

Fig. 6. Application of the bilinear z-transformation to a highpass filter.

İstenilen kesme frekansına sahip sayısal süzgeç, analog süzgece doğrudan bilineer dönüşüm uygulanarak bulunur. Geçiş bandlı dik keskin kesme frekanslı sürekli süzgeçler aynı şekilde sayısal süzgeçlere dönüştürüldüğünde aliasing olayı meydana gelmez (Rabiner ve Gold 1975).

SAYISAL YINELEME SÜZGEÇLERİ

Sayısal süzgeçler veya frekans seçici ayrık sistemlerin sentezi için çok çeşitli algoritmalar geliştirilmiştir. Bunlar üç ana grupta toplanabilir: Evrişim, Lineer Yineleme ve "F.F.T" Hızlı Fourier dönüşümü (Gold ve Rader, 1969). Sayısal süzgeçlerin düzenlenmesi için kullanılan matematiksel yöntemler, amaca göre hazırlanan süzgeç impuls tepki fonksiyonuna bağlıdır. Bu yöntemler sonlu ilpuls tepkili (FIR) ve sonsuz impuls tepkili (IIR) olmak üzere ikiye ayrılır. Eğer süzgeç impuls tepki fonksiyonu polinom şeklinde ise (sadece sıfırlar mevcut olup, kutuplar yoktur) bunlara Sonlu İmpuls tepkili ve Yinelemeli olmayan süzgeçler denir. Şayet süzgeç tepki fonksiyonun hem sıfırları hem de kutupları varsa (kesirli bir fonksiyon şeklinde) bu tip süzgeçlere sonsuz impuls tepkili veya yinelemeli süzgeçler adı verilir.

Süzgeç işlemi, z -ortamında, evrişim denkleminin (38) her iki tarafının z -dönüştümü ve impuls tepki fonksiyonu ile ayrık verinin çarpımına eşittir:

$$Y(z) = H(z) \cdot X(z) \quad (49)$$

$$X(z) = x_0 + x_1 z + x_2 z^2 + \dots + x_n z^n \text{ giriş}$$

$$H(z) = h_0 + h_1 z + h_2 z^2 + \dots + h_m z^m \text{ sistem fonksiyonu}$$

$$Y(z) = y_0 + y_1 z + y_2 z^2 + \dots + y_{m+n} z^{m+n} \text{ çıkış.}$$

İki polinomun bölümü şeklinde olan impuls tepki fonksiyonunun z -dönüştümü genel olarak,

$$H(z) = \frac{a_0 + a_1 z^{-1} + a_2 z^{-2}}{1 + b_1 z^{-1} + b_2 z^{-2}} = \frac{A(z)}{B(z)} \quad (50)$$

şeklinde gösterilir. Yineleme işleminin uygulanması için $b_0 = 1$ olması gereklidir. Sayısal çıkış verilerinin z -dönüştümü ise aşağıdaki şekilde şekildedir:

$$Y(z) = \frac{a_0 + a_1 z^{-1} + a_2 z^{-2}}{1 + b_1 z^{-1} + b_2 z^{-2}} \cdot X(z) \quad (51)$$

Bu denklemde, eşitliğin her iki tarafı da sistem fonksiyonunun paydası ile çarpılarak,

$$Y(z) \cdot (1 + b_1 z^{-1} + b_2 z^{-2}) = (a_0 + a_1 z^{-1} + a_2 z^{-2}) \cdot X(z) \quad (52)$$

bulunur; katsayılar gerekli şekilde düzenlenerek,

$$Y(z) = (a_0 + a_1 z^{-1} + a_2 z^{-2}) \cdot X(z) - Y(z) \cdot z^{-1} (b_1 - b_2 z^{-1}) \quad (53)$$

sonucuna varılır. Yineleme denkleri (53) aşağıdaki şekilde yazılarak kolayca bilgisayarda hesaplanır:

$$Y(I) = X(I) + a_1 X(I-1) + a_2 X(I-2) - b_1 Y(I-1) - b_2 Y(I-2) \quad (54)$$

Y_0, Y_1, Y_2, Y_3 olarak hesaplanan çıkış serisinde tüm $I < 0$ için $Y(I) = 0$ 'dır. Fiziksel olarak da düzenlenebilen yineleme süzgeçleri sinyal olmadan yanıt vermez, başka bir deyimle tepkileri sıfırdır.

Yinelemeli süzgeçler için genel yineleme denklemi, daima $b_0 = 1$ olmak üzere,

$$y_n = \sum_{i=0}^N a_i x_{n-i} - \sum_{j=1}^N b_j y_{n-j} \quad (55)$$

olarak bulunur.

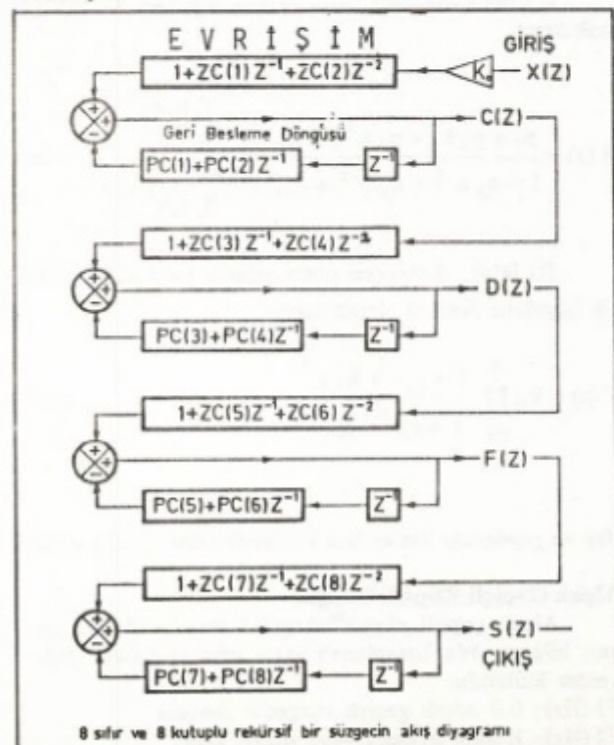
Çalışmanın temelini oluşturan sayısal yineleme süzgeç sistem fonksiyonunun pay ve paydasında 8'inci dereceden polinomlar kullanılmıştır.

Kullanılan süzgeç transfer fonksiyonunun 8 adet sıfır ve 8 adet kutbu vardır. Sistem fonksiyonu, k_0 = statik gain faktörü,

$$H(z) = k_0 \frac{1+a_1 z^{-1}+a_2 z^{-2}}{1+b_1 z^{-1}+b_2 z^{-2}} \dots \frac{1+a_7 z^{-1}+a_8 z^{-2}}{1+b_7 z^{-1}+b_8 z^{-2}} \quad (56)$$

şeklinde verilmiştir.

Pay ve payası 8'inci dereceden polinomlardan ibaret olan yinelemeli eliptik süzgeçin akış şeması aşağıda verilmiştir:

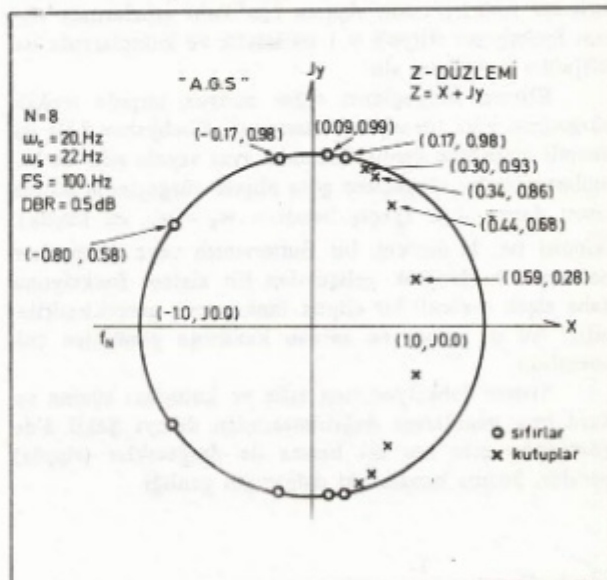


ELİPTİK SÜZGECİN AKIŞ ŞEMASI

Bu şekilde yüksek dereceli yinelemeli süzgeçler uygulandığında yuvarlatılan katsayılar duraysızlığı neden olabilir (Kaiser 1972). Alçak dereceli süzgeçlerde bu tür bir olay söz konusu değildir. Bu nedenle, formül (56) da görüldüğü gibi sistem fonksiyonunun pay ve paydaları kuadratik şekilde programlanır. Ayrıca pay (sıfırlar) ve paydadaki (kutuplar) katsayılar 10^{-16} mertebesinde hesaplanmıştır. Bu iki önemli konu, tüm süzgeç sistem fonksiyonlarının hesaplanması göz önünde tutulmuştur.

Pay ve paydasının z-dönüşümü yapılan z-dönüşümü yapılan kesirli sayısal süzgeçler kullanılmadan önce, analiz edilerek duraylı olup olmadıkları saptanır. Bu işlem, pay ve paydayı oluşturan polinomların köklerinin z-düzleminde $z = -1$ birim oairesi üzerindeki konumları incelenerek yapılır. Söz konusu kökler, süzgeç türünü tanımlamada kullanılır.

Şekil 7'de kesme frekansı $w_c = 20$ Hz olan alçak geçişli eliptik süzgeçin (8.nci derece) sıfır ve kutuplarının $z = \pm 1$ birim dairesi üzerindeki konumları görülmektedir. Süzgeç operatörü kolayca kontrol edilebilir. Şekildeki süzgeç duraylıdır, çünkü sistemin kutupları birim dairenin üst yarısının içindedir. Sıfır ve kutupların simetriklikleri ise dairenin alt yarısındadır.



Şekil 7. z-birim dairesi üzerinde Alçak Geçişli Eliptik bir süzgeçin sıfır (0) ve kutuplarının (x) konumu.

Fig. 7. Zeros (0) and poles (x) of a digital lowpass elliptic filter in the z-plane.

Aynı şekildeki x eksen, z-düzleminin gerçek ve jy eksenisi ise, z'nin sanal eksenidir. Sayısal süzgeçin genlik ve faz tepkileri, sistem fonksiyonu $H(z)$ 'nın birim daire $|z|=1$ üzerinde incelenmesiyle bulunur. $z = e^{-j\omega\Delta t}$ denkleminde ω 'nın gerçek değerleri $z = 1.0$ 'nın değerlerine, şekilde görülen $z = 1.0 + j0.0$ noktası sıfır frekansına ve $z = -1.0 + j0.0$ noktası ise $f_N = w_N / 2\pi = 1/2 \cdot \Delta t$ katlama veya Nyquist frekansına karşılık gelir. Diğer frekanslar

lineer olarak 0 ile Nyquist frekansı arasında ($0 \leq w \leq \pi$) dağırlar. Sıfır ve kutupları bilinen bir süzgeçin genlik ve faz tepkileri z-düzlemi kullanarak grafiksel analizle kolayca saptanabilir.

Sonsuz impuls tepkili süzgeçlerin genel olarak z-dönüşümü

$$H(z) = \sum_{t=0}^{\infty} h(t) z^{-n} = \sum_{t=0}^M a_t z^{-t} / \left(1 + \sum_{j=1}^N b_j z^j\right) \quad (57)$$

şeklinde verilir. Bu süzgeçin sonlu sayıda (M, N) sıfır ve kutbu vardır. Süzgeçin duraylı olması için $H(z)$ 'nin sıfırları z-düzleminin herhangi bir yerinde olabilir, fakat kutuplarının mutlaka birim daire içinde olması gereklidir (Rabiner ve Gold 1975).

ELİPTİK SÜZGEÇLER

Göründüğü gibi dikdörtgen şeklinde süzme bandına sahip ideal (Şekil 1) süzgeçleri elde etmek olası değildir. Bunlara çeşitli amaçlar için geliştirilmiş matematiksel yöntemlerle yaklaşılabilir. Bu da ancak sistem ve transfer fonksiyonunun $|H(jw)|^2 = 1 / [1 + f(w^2)]$ paydasında bulunan $f(w^2)$ karakteristik fonksiyonun yerinde seçimiine bağlıdır. Genel olarak $f(w^2)$, sıfır ve kutupları sonlu kesirli bir fonksiyondur. Ayrıca $f(w^2)$ 'nin sıfırlarında sistem fonksiyonu $|H(jw)| = 1$ en büyük ve kutuplarında ise $|H(jw)| = 0$ değerini alır.

Eliptik süzgeçlerin diğer sonsuz impuls tepkili süzgeçlere göre (örneğin Butterworth, Chebyshev I-II) iki önemli üstünlüğü vardır. Birincisi aynı sayıda sıfır ve kutupları olan bu süzgeçlere göre eliptik süzgeçlerde süzme sınırı daha diktir ($\text{geçiş bandı} = w_s - w_c$ en küçük). Ikincisi ise, N dereceli bir Butterworth veya Chebyshev polinomu kullanarak geliştirilen bir sistem fonksiyonu daha alçak dereceli bir eliptik fonksiyonla gerçekleştirilebilir. Bu da işlem ve zaman kazanma yönünden çok önemlidir.

Sistem fonksiyonunun sıfır ve kutupları süzme ve durdurma bandlarına dağıtılmışından dolayı Şekil 8'de görüldüğü gibi her iki bandta da dalgacıklar (ripple) görülür. Süzme bandındaki dalgacığın genliği

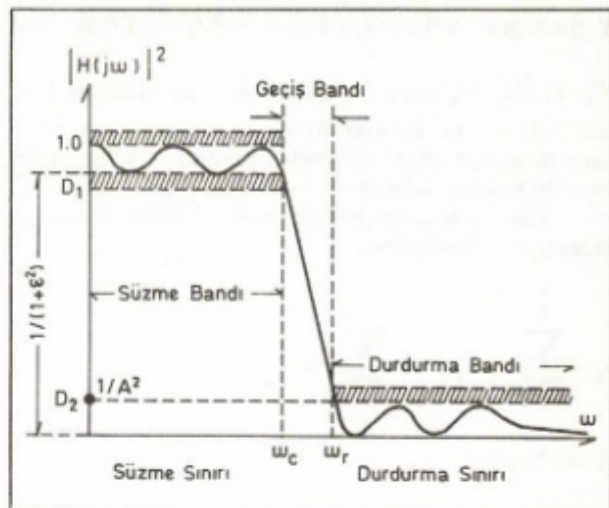
$$p^2 = 1 - D_1 = 1 - \frac{1}{1 - \epsilon^2}$$

ve durdurma bandında ise D_2 dir. Her iki bandtaki dalgacıkların genlikleri aynı olduğundan bunlara eşdalgaçıklı (equiripple) süzgeçler de denir. Dalgacığın genliği, dB olarak,

$$\text{DBR} = 20 \log_{10} (1 / \sqrt{1 + \epsilon^2}) = 10 \log_{10} (1 + \epsilon^2) \quad (58)$$

formülü ile verilir. Örneğin, genliği 0.5 dB olan dalgacık denklemindeki $\epsilon = 0.3493114$ 'tür.

Çift periodik eliptik sn (u) kullanarak geliştirilen sistem fonksiyonu,



Şekil 8. Eliptik bir süzgeçin frekans tepkisi.

Fig. 8. Frequency response of an elliptic filter.

$$k_1 = \epsilon / \sqrt{A_2 - 1}$$

olmak üzere;

$$T^2(u) = \frac{1}{1 + \epsilon^2 \operatorname{sn}^2(u, k_1)} \quad (59)$$

şeklinde yazılabilir. Konumları kesin olarak s-düzleminde belirlenen sıfır ve kutuplar, daha sonra süzgeç türüne uygun bir bilineer dönüşümle geçilir.

Transfer fonksiyonu $H(z)$ genel olarak iki şekilde gösterilir:

I) n'ci dereceden polinomların toplamı, $a_1 = 1$ olmak üzere,

$$H(z) = \frac{p_1 + p_2 z^{-1} + p_3 z^{-2} + \dots}{1 + a_2 z^{-1} + a_3 z^{-2} + \dots} = \frac{\sum_{j=1}^{N+1} p_j z^{1-j}}{\sum_{j=1}^{N+1} a_j z^{1-j}} \quad (60)$$

II) ikinci dereceden polinomların çarpımı, $k_0 = \text{statik büyütme faktörü}$ olmak üzere,

$$T(z) = k_0 \prod_{j=1}^N \frac{1 + a_j z^{-1} + b_j z^{-2}}{1 + c_j z^{-1} + d_j z^{-2}} \quad (61)$$

Pay ve paydadaki katsayımlara kuadratik faktörler adı verilir.

Alçak Geçişli Eliptik Süzgeç

Alçak geçişli eliptik süzgeçin transfer fonksiyonun bilgisayarda hesaplanabilmesi için aşağıdaki değişkenler kullanılır:

F1 (Hz): 0.0 Alçak geçişli süzgeçin simgesi

F2 (Hz): Kesme frekansı veya süzme sınırı

F₃ (Hz) : Durdurma frekansı. Eğer negatif olarak verilirse sönüm dB olarak alınır.

FS (Hz) : Örneklem frekansı F_N = FS/2

N : s-düzlemindeki süzgeçin derecesi. Alçak ve yüksek geçişli süzgeçler için N, z-düzleminde aynı, fakat band geçişli ve band durdurucu süzgeçlerde ise süzgeçin derecesi 2N'ye eşittir. Eğer k ≈ 1 ve k' = 0 ise,

$$w_r = \tan(\pi F_3/FS) / \tan(\pi F_2/FS), \quad (62)$$

$$N = \frac{2}{\pi} \ln(4A/\epsilon) \ln\left\{\frac{8}{(w_r - 1)}\right\}$$

formülü ile verilir (Gold ve Rader 1969).

DBR : Süzme bandındaki dalgacıklar dB cinsindendir.

Alçak geçişli sayısal eliptik bir süzgeç için kullanılan lineer z-dönüşümü, C = tan(F₂/FS) olmak üzere,

$$s = \frac{1}{C} \cdot \frac{1 - z^{-1}}{1 + z^{-1}} \quad \text{ile verilir.} \quad (63)$$

Giriş parametreleri N = 8, DBR = 0.5 dB, F₁ = 0.0 Hz, F₂ = 20 Hz, F₃ = 22 Hz, (- 62 dB) ve FS = 100 Hz olan alçak geçişli eliptik süzgeçin gerçek ve sanal bileşenleri Şekil 9'da, genlik tepkisi (TRANSF) Şekil 10, Logaritmik gen-

lilik T(z) dB = 20 log/T(z) Şekil 11 ve faz tepkisi ise Şekil 12'de verilmiştir.

Yukarıdaki giriş verileri kullanılarak elde edilen sıfır fazlı sayısal alçak geçişli eliptik süzgeçin impuls tepkisi Şekil 13'de görülmektedir. Süzgeç transfer fonksiyonu duraylı olduğundan, impuls tepkisi simetriktir. NOKSAY = 512 sayısal nokta kullanarak, yani 5.12 saniye uzunluğunda, hesaplanan impuls tepki fonksiyonu, 2.56 saniye (256.nci nokta) merkez noktasına göre simetrikir. Bu noktadan itibaren 60 ncı sayısal noktadan sonra tüm değerler sıfıra ulaşır (Şekil 13).

Yüksek Geçişli Eliptik Süzgeç

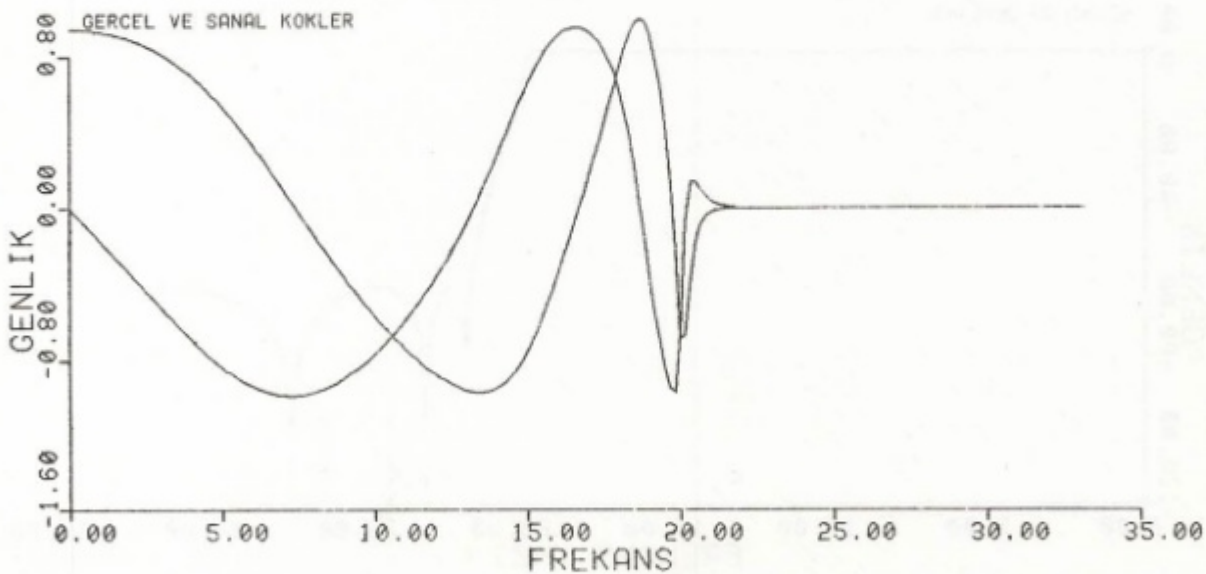
Yüksek geçişli eliptik süzgeçlerde F₁: kesme frekansı ve F₂>FS/2 veya F₂≥FN olarak tanımlanır. Diğer parametreler alçak geçişli süzgeçlerde olduğu gibidir. Bilinear dönüşüm ise, alçak geçişli süzgeçlerdeki s yerine 1/s konularak saptanır, başka bir deyimle s = C(z + 1) / (z - 1) denklemi kullanılır.

Band Geçişli Eliptik Süzgeç

İki durdurma bandı olan band geçişli süzgeç, F₁ = w_A ve F₂ = w_B olmak üzere 0 < F₁ < F₂ < FS/2 (F_N) şeklinde tanımlanır. z-düzlemindeki kutuplar z = (1 + s) / (1 - s) kullanarak s-düzlemindeki kutuplardan itibaren saptanır. s-düzlemindeki sanal ekseni birim daire üzerine dönüştürmek için s = (z - 1) / (z + 1)'den başka yöntemler de vardır. Örneğin, band geçişli sayısal eliptik bir süzgeç bikuadratik dönüşüm (Gold ve Rader 1969) kullanarak şu

ELIPTİK 'ALCAK GECİSLİ 'SUZGEC

GİRİŞ PARAMET. : N=8 F₁=0.0 F₂=20. F₃= 22. FS=100 DBR=0.5 DB

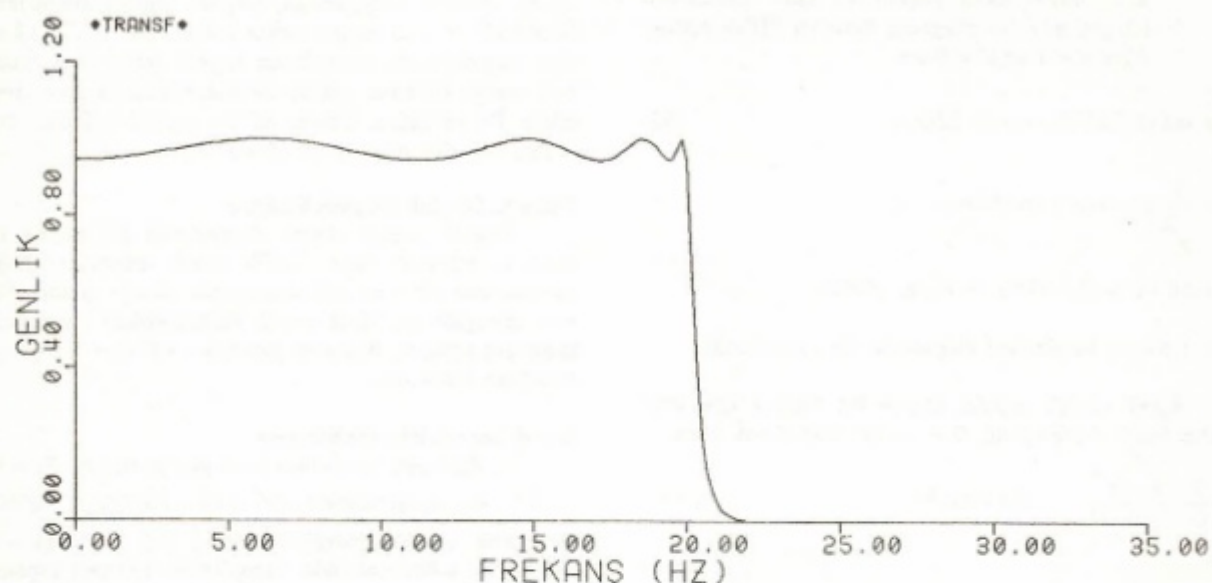


Şekil 9. Eliptik Alçak geçişli süzgeç (gerçek ve sanal kökler).

Şekil 9. Elliptic Lowpass filter (real and imaginary roots).

ELIP. ALCAK GECISLI SUZ.GEN.TEP.

GIRIS PARAMET. : N=8 F1=0.0 F2=20. F3= 22. FS=100 DBR=0.5 DB

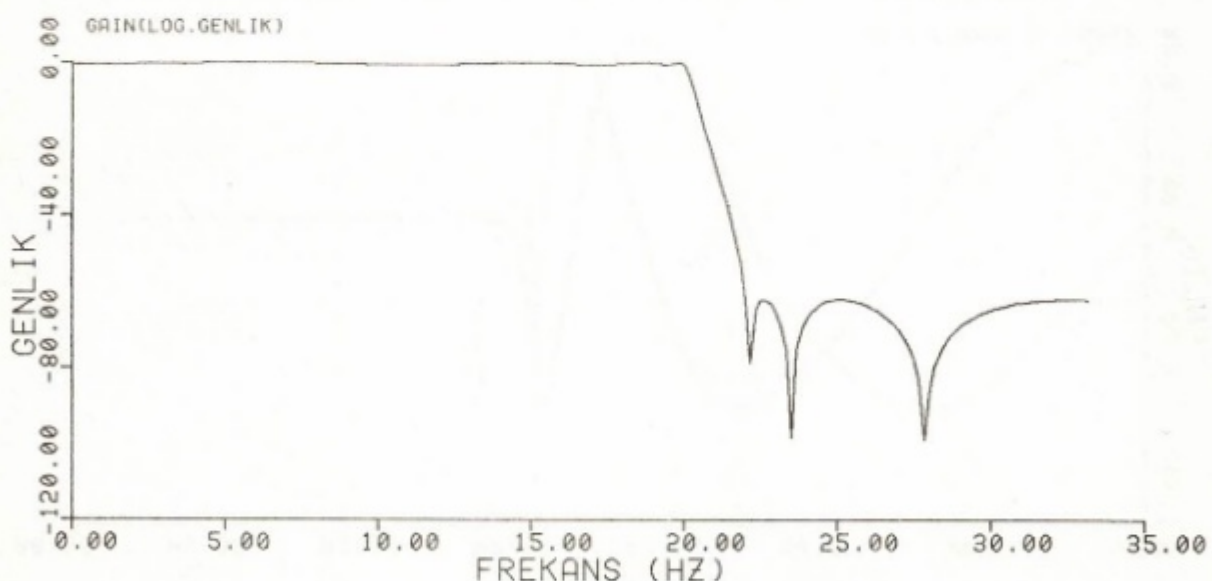


Şekil 10. 8'nci mertebeden bir eliptik alçak geçişli süzgeç genlik tepkisi.

Fig. 10. Amplitude response of elliptic lowpass filter for the 8th order.

ELIPTIK' ALCAK GECISLI 'SUZGEC

GIRIS PARAMET. : N=8 F1=0.0 F2=20. F3= 22. FS=100 DBR=0.5 DB

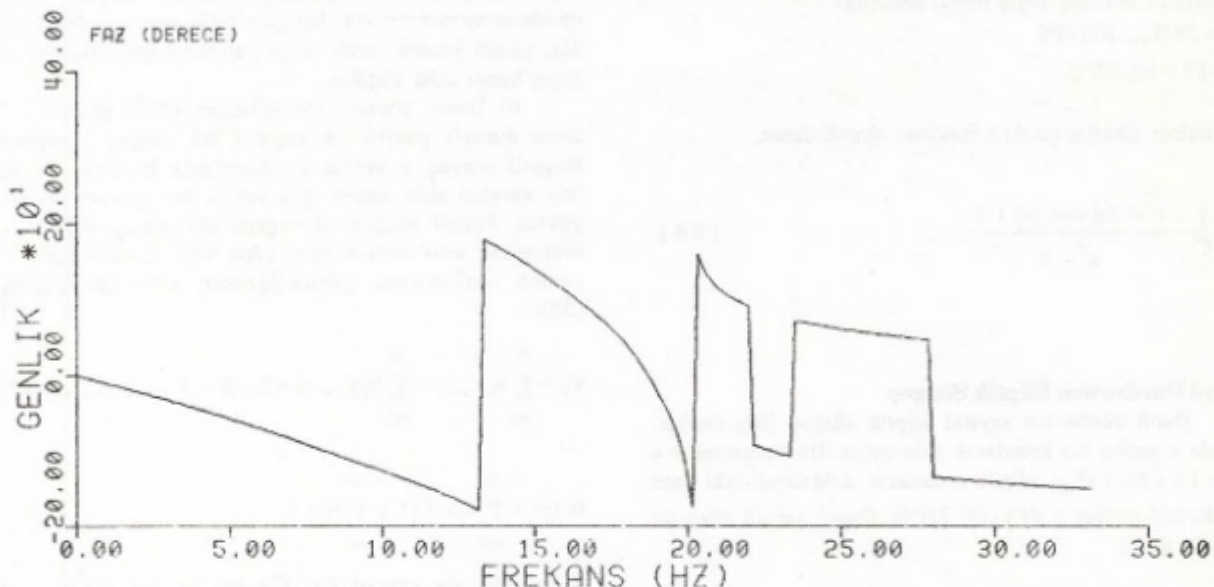


Şekil 11. Eliptik Alçak Geçişli Süzgeç (Logaritmik genlik).

Fig. 11. Logaritmic magnitude response of an elliptic lowpass filter.

ELIPTİK'ALCAK GECİSLİ 'SUZGEC

GİRİŞ PARAMET. : N=8 F1=0.0 F2=20. F3= 22. FS=100 DBR=0.5 DB

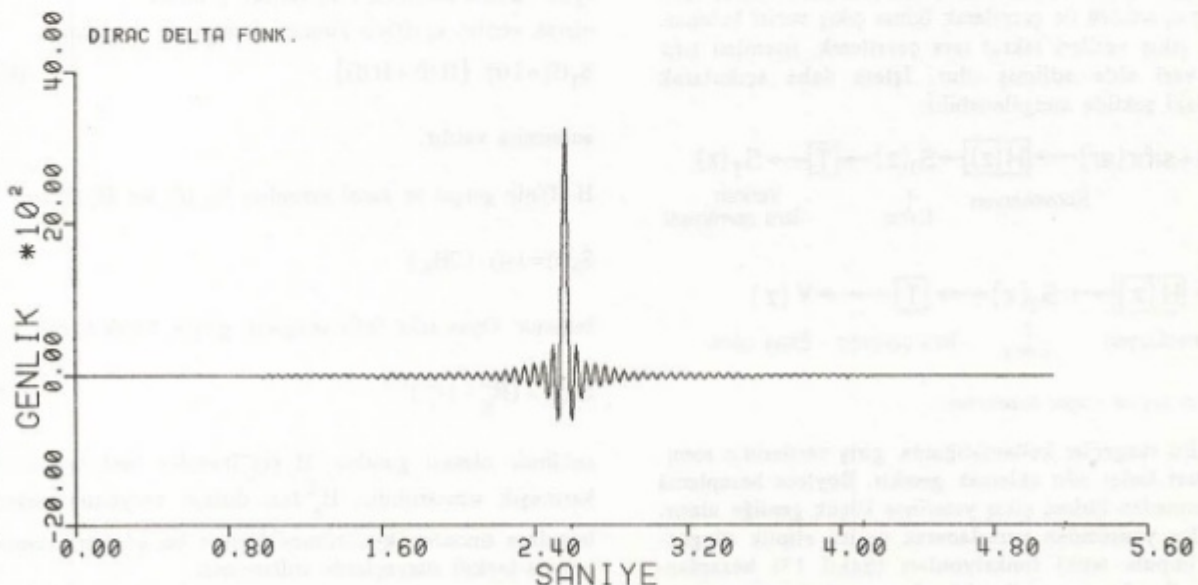


Şekil 12. Eliptik Alçak Geçişli Süzgeç Faz tepkisi.

Fig. 12. Phase response of an elliptical lowpass filter.

ELIPTİK'ALCAK GECİSLİ SUZ.' IMPULS TEP.

GİRİŞ PARAMETRELERİ : N=8 F1= 0. F2=20. F3=22.0 FS=100. NOKSAY=512



Şekil 13. Eliptik Alçak Geçişli Süzgeç Birim tepkisi.

Fig. 13. Impulse response of an elliptic lowpass filter.

şekilde elde edilir.

$$C = \tan(\Delta\theta/2)$$

$$\cos(\gamma) = \cos(\theta) / \cos(\Delta\theta/2)$$

Normalize edilmiş geçiş bandı genişliği

$$\Delta\theta = 2\pi(F_1 - F_2) / FS$$

$$\theta = (F_1 + F_2)\pi/FS$$

normalize edilmiş merkez frekansı olmak üzere,

$$s = \frac{1}{C} \cdot \frac{z^2 - 2z \cos(\gamma) + 1}{z^2 - 1} \quad (64)$$

dir.

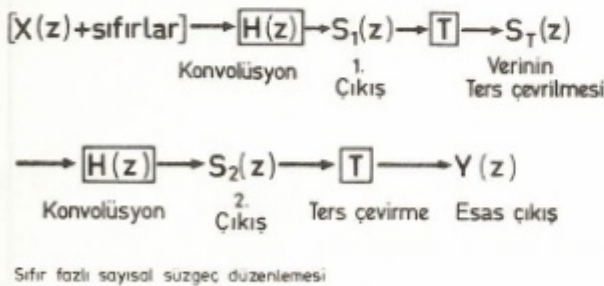
Band Durdurucu Eliptik Süzgeç

Band dardurucu sayısal eliptik süzgeç (64) denkleminde s yerine $1/s$ konularak elde edilir. Bu süzgeçler $0 < F_2 < F_1 < FS/2$ (F_N) olarak tanımlanır. z -düzlemindeki band dardurucu süzgeçin derecesi $2N$ 'dir (band geçişli süzgeçte olduğu gibi).

SIFIR FAZLI SAYISAL SÜZGEÇLER

Buraya kadar hesaplanan eliptik süzgeçlerin faz spektrumları lineer değildir. Veriler sayısal olduğundan, bu hatayı gidermek için sıfır fazlı süzgeçler geliştirilmiştir. Bu yöntem, çeşitli frekansların farklı geçikmelerde uğramasını önler. Verilen zaman serileri sonlu olduğundan sıfır faz tepkili kesirli süzgeçler iki ayrı yöntemle elde edilir:

a) İlk önce giriş verileri normal olarak yinelemeli süzgeçten geçirilerek ilk çıkış verileri elde edilir. Bu çıkış verileri zaman ortamında ters çevrilerek tekrar aynı süzgeç operatörü ile çarpılarak ikinci çıkış verisi bulunur. İkinci çıkış verileri tekrar ters çevrilerek, istenilen sıfır fazlı veri elde edilmiş olur. İşlem daha açık olarak aşağıdaki şekilde simgelenebilir:



Bu süzgeçler kullanıldığında, giriş verilerinin sonuna yeteri kadar sıfır eklemek gereklidir. Böylece hesaplama sona ermeden birinci çıkış yeterince küçük genlige ulaşır.

Bu yöntemden yararlanarak çeşitli eliptik süzgeçlerin impuls tepki fonksiyonları (Şekil 13) hesaplanmıştır. Faz kayması olmadığından tümünde de tam bir simetri görülmektedir. İstenilen koşulların yerine gelip gelmediğini saptamak için süzgeçin impuls tepkisi sürekli kontrol edilmelidir. Bu süzgeç işleminin faz tepki-

si sıfır, buna karşın genlik spektrumu sistem fonksiyonunun $H(z)$ spektrumunun karesine eşittir. Bu nedenle genlik spektrumu kare kökü alınarak hesaplanır.

Giriş verileri iki defa süzgeçten geçtiği için sıfır fazlı süzgeçin genlik spektrumu daha da diktir. Başka bir deyişle, genlik karakteristiği tek bir elektik süzgeç spektrumunun karesidir. Bu genellikle istenilen bir durumdur, çünkü kesme bandı (veya bandları) çok dikkatli, yani geçiş bandı daha küçüldür.

b) İkinci yöntem ise (Shanks 1967) şöyledir: İlk önce duraklı pozitif ve negatif iki süzgeç hesaplanır. Negatif süzgeç, z yerine $1/z$ konularak bulunur. Böylece ters süzgeci elde etmek için veriyi ters çevirmeye gerek yoktur. Pozitif süzgeç ve negatif süzgeçten çıkan veriler toplanarak sıfır fazlı süzgeç çıkış verileri elde edilir. $1/z$ zaman ilerlemesini gösterdiginden yineleme bağıntısı (55):

$$y_n = \sum_{i=1}^N a_i x_{n+i} - \sum_{j=1}^M b_j y_{n+j}, \quad n = k, k-1, k-2, \dots \quad (55)$$

$$H(z) = \sum_{i=0}^M a_i z^i / (1 + \sum_{j=1}^M b_j z^j) \quad (66)$$

bağıntıları ile tanımlanır. Genlik ve faz spektrumları hızlı Fourier dönüşümü (FFT) ile saptanır. Bu yönteminde faz sıfır olmakla birlikte, genlik spektrumu arzu edilmeyen bir şekilde bozulur.

Sıfır fazlı süzgeç aşağıdaki şekilde hesaplanır: $g(t)$ giriş verisi, $s(t)$ çıkış verisi, $h(t)$ impuls karakteristiği olmak üzere

$$s_1(t) = g(t) * h(t) \text{ pozitif süzgeç} \quad (67)$$

$$s_2(t) = g(t) * h(-t) \text{ negatif süzgeç} \quad (68)$$

$$s_3(t) = g(t) * [h(t) + h(-t)] \text{ sonuç olarak verilir. } s_3(t) \text{ nin Fourier dönüşümü alındığında } S_3(f) = I(f) * \{H(f) + H(f)\} \quad (69)$$

sonucuna varılır.

$H(f)$ 'nin gerçel ve sanal kısımları $H_R(f)$ ve $H_I(f)$ ise,

$$S_3(f) = I(f) * \{2H_R\}$$

bulunur. Oysa sıfır fazlı süzgeçin genlik karakteristiği,

$$H(f) = (H_R^2 - H_I^2)^{1/2} \quad (70)$$

şeklinde olması gereklidir. $H(f)$ transfer fonksiyonunun karmaşık simetriğidir. H_I^2 den dolayı meydana gelen bozulma önceden kestirilmediğinden bu yöntem sonsuz impuls tepkili süzgeçlerde kullanılmaz.

SENTETİK VERİLER ÜZERİNE UYGULAMA

Geliştirdiğimiz sıfır fazlı yinelemeli sayısal eliptik süzgeçler (alçak, yüksek, band geçişli ve band dardurucu)

sentetik ve arazi olmak üzere iki tip veri üzerine uygunmuştur. İlk önce farklı frekanslarda sinus eğrileri bilgisayarda hesaplanarak sentetik giriş verileri elde edilir. Daha sonra, amaca uygun olarak hazırlanan çeşitli eliptik süzgeçler, bu veriler üzerine uygulanarak çıkan sonuçlar çizilir. Bu şekilde kullanılan süzgeçin amaca uygun olup olmadığı kontrol edilir. Bu tür süzgeçlerin etkinliğini göstermek için sadece bir örnek verilmiştir.

Kesme frekansı ($F_2 = 20$ Hz) veya süzme sınırının içinde ($FRK = 1.7$ Hz) ve dışında ($FRK = 23$ Hz) olmak üzere iki ayrı frekanslı sinus eğrisi (Şekil 14 ve 15) topplanarak Şekil 16'da görülen sentetik giriş verisi elde edilir. Daha sonra bu veriler örnekleme aralığı $\Delta t = 0.01$ saniye olarak sayısal hale dönüştürülür. Giriş parametreleri:

$N = 8$	$F_1 = 0.0$ Hz (AGS)
$DBR = 0.5$ dB	$F_2 = 20$ Hz
$FS = 100$ Hz	$F_3 = 22$ Hz

olan sıfır fazlı sayısal alçak geçişli eliptik süzgeç ile süzülen veriler Şekil 17'de verilmiştir. Alçak geçişli süzgeç kullanıldığından kesme frekansından (20 Hz) küçük frekansları (1.7 Hz) aynen geçmiş ve büyük frekanslar ise (23 Hz) tümüyle silzülmüştür. Sayısal verinin sonuna yaklaşık 10-20 kadar sıfır ilave edildiğinde Şekil 17'nin başında ve sonundaki ufak bozukluklar giderilebilir. Bu tür bozuklukları önlemek için arazi verilerinin sonuna yeterli sayıda sıfır eklemek gerekir.

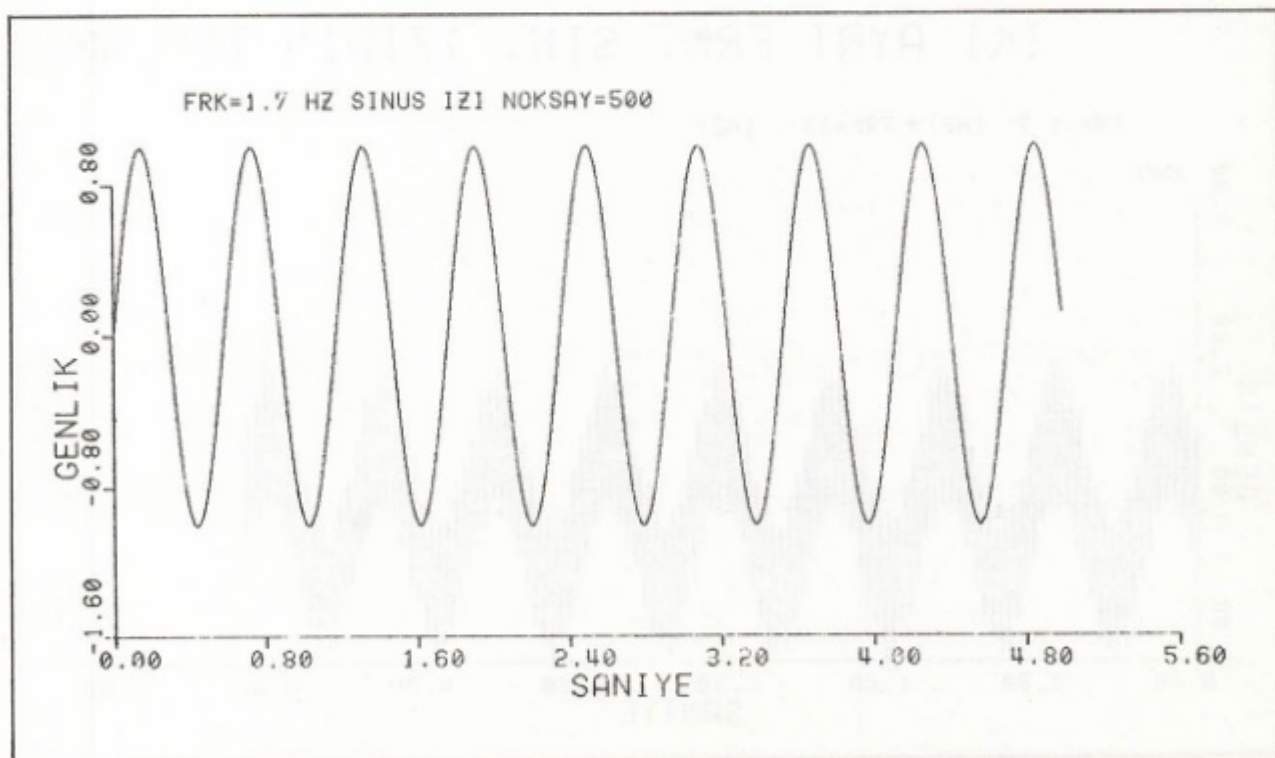
Bu süzgeçler çok daha küçük frekanslar için de aynı derecede etkindir. Hesaplanan kuadratik faktörleri kullanırken çok dikkatli olmak gereklidir. Eğer yüksek dereceli,

$N > 5$, süzgeç kullanmak isteniyorsa, katsayıları yedinci basamaktan sonrakileri yuvarlatmak gereklidir. Çünkü katsayılar, bazı durumlarda, yedinci basamaktan itibaren önem kazanırlar. Yuvarlatılan bu sayılar önemli olup, süzgeci duraysız kılabilirler. Bu nedenle, çalışmalarımızda kullanılan tüm transfer fonksiyonları için gerekli katsayılar "double precision" olarak hesaplanmıştır.

Alçak dereceli süzgeç, $N < 5$, kullanılmak isteniyorsa, kuadratik faktörleri beşinci basamağa kadar almak yeterlidir. Rakamlar altıncı basamaktan itibaren yuvarlatılabilir.

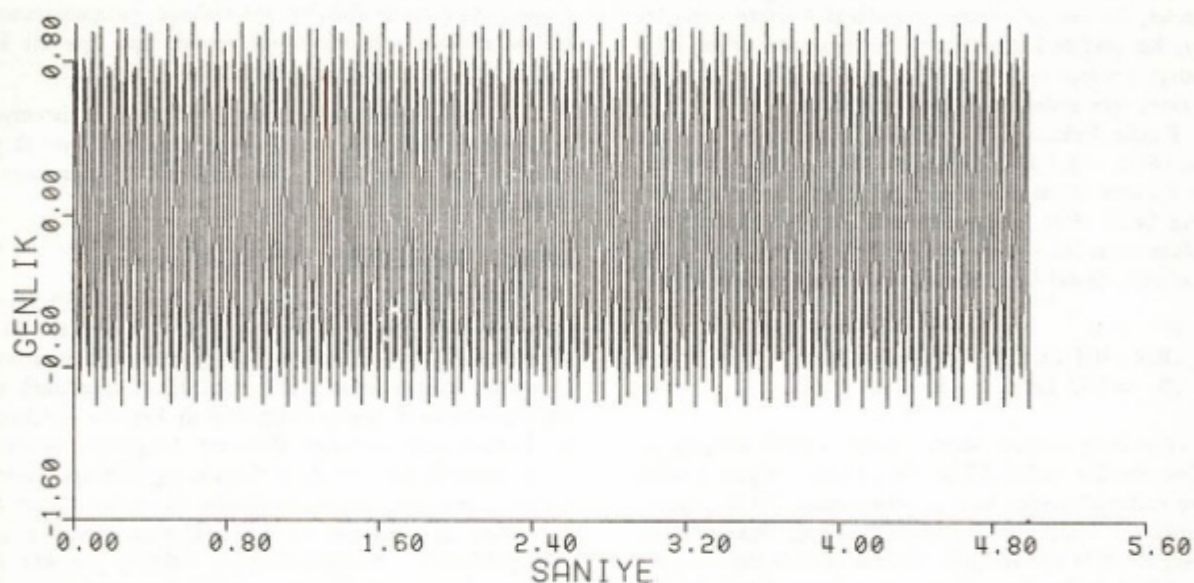
ARAZİ VERİLERİNE UYGULAMALAR

Sıfır fazlı sıyık süzgeçleri uygulamak için sayısal sismogramlar gereklidir. Uygulamalar için Grignan-06 W sismik profili kullanılmıştır. Adı geçen profil, Fransa'nın güneyinde Rhône vadisindeki yerkabوغunu incelemek için yapılan sismik yansıma çalışmalarını kapsar. Araştırmalar Fransız-Alman-İsviçre Bilimsel Araştırma merkezlerince desteklenmiş ve Paris-Strasbourg (Groupe Grands Profils Sismiques), Berlin-Karlsruhe (Research Group For Explosion Seismology) ve Zürih Üniversitelerince gerçekleştirılmıştır. Patlama noktası Grignan ve ters atış noktası Florac -06 E olup, profil boyu yaklaşık 170 km'dir. Grignan-06 W olarak tanımlanan profildeki istasyonlar arası yaklaşık 5 km (Şekil 18 alttaki izler) ve kullanılan patlayıcı madde 800 kg TNT'dir. Kayıtlarda indirgeme zamanı için $T_R = T - \Delta/6$ ($V_R = 6.0$ km/s) formülü ve kesme frekansı 20 Hz olan alçak geçişli süzgeç kullanılmıştır.



Şekil 14. Frekansı 1.7 Hz olan sin fonksiyonu.
Fig. 14. Sin function for the frequency of 1.7 Hz.

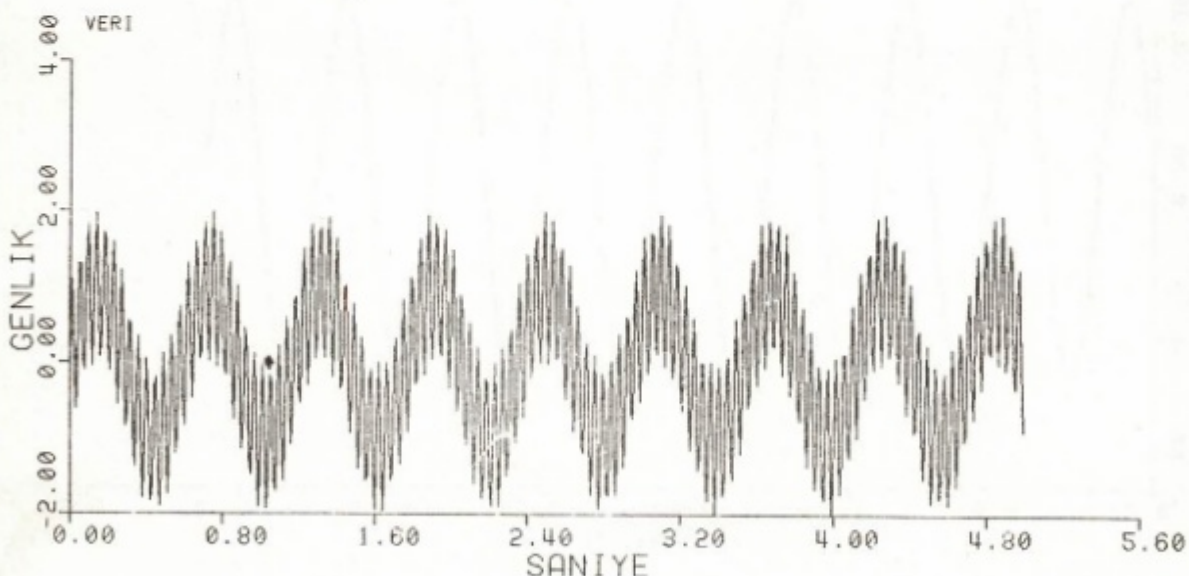
FRK=23 HZ SINUS İZİ NOKSAY=500



Şekil 15. Frekansı 23 Hz olan sin fonksiyonu.
Fig. 15. Sin function for the frequency of 23 Hz.

IKI AYRI FRK. SIN. İZİNİN TOPLAMI

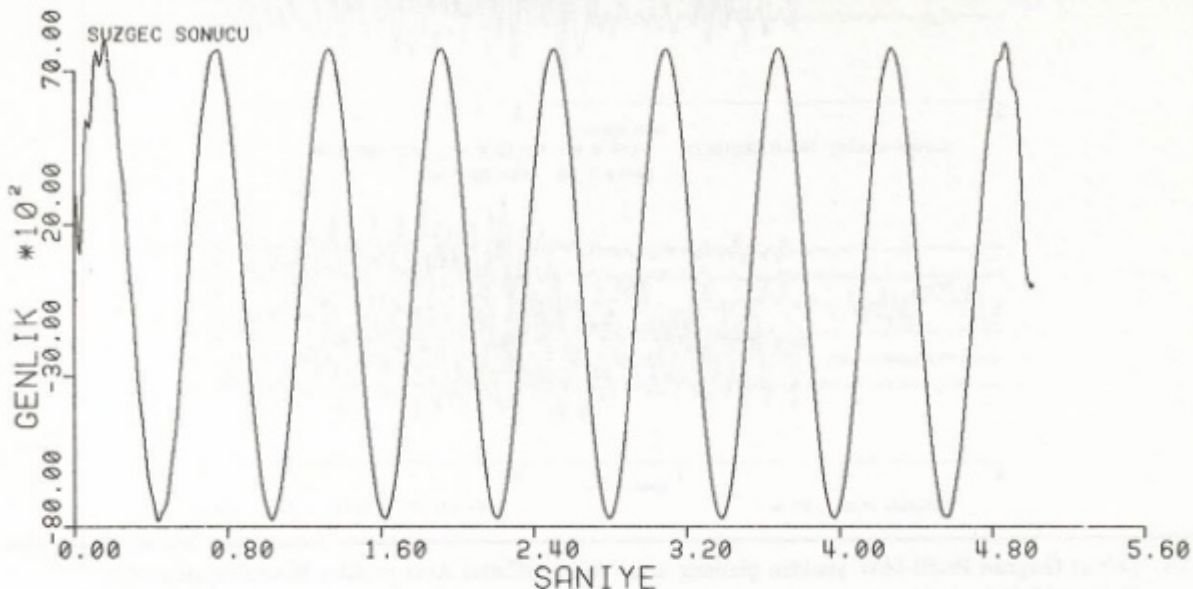
FRK=1.7^a (HZ) + FRK=23.0 (HZ)



Şekil 16. İki ayrı frekanslı sin fonksiyonunun toplamı (1.7 Hz - 23 Hz).
Fig. 16. Summation of two different frequency sin functions (1.7 Hz - 23 Hz).

ELIPTİK'ALÇAK GECİSLİ 'SUZGEC SON.

GİRİŞ PARAMET. : N=8 F1=0.0 F2=20. F3= 22. FS=100 DBR=0.5 DB



Şekil 17. Şekil 16'daki izde uygulanan Eliptik Alçak Geçişi Sürgeç Sonucu.

Fig. 17. Result of application of Elliptic Lowpass Filter to the signal given in Figure 16.

Toplam olarak 22 kayıt istasyonu bulunan profilde, yüksek enerjili sismik yansımıma kayıtlarının en iyi görüldüğü 75.8 ile 98.2 km'ler arası 6 istasyondaki sismik izler seçilmiştir. Bu 6 sismik iz (iz no: 623-628) Datagrid Digitizer-Bendix yardımıyla 10 msn aralıklıkla sayısal hale dönüştürülmüştür. Böylece elde edilen 6x500 noktalık veriler çizilmiştir (Şekil 19, alttaki izler). Yeniden çizilen bu izler özgün izlerle karşılaştırıldığında kayıp hemen hemen yok gibidir. Bu, örnekleme aralığının (40 mm = 1 saniye) uygun seçildiğini gösterir. Daha sık aralıklı sayısal veriler elde edilebilir, fakat bu zaman kaybına neden olur.

Profilin 84.2 kilometresindeki 625 nolu bozuk iz, üç bileşenli (2 yatay ve 1 düşey) sismometrenin yanlış yönlendirilmesinden ileri gelmektedir. Bu profiline tersi Florac 06 E'de aynı bozuk iz aynı noktada görülmektedir (Sapin ve Hirn 1974; Şekil 20, Sayfa 193).

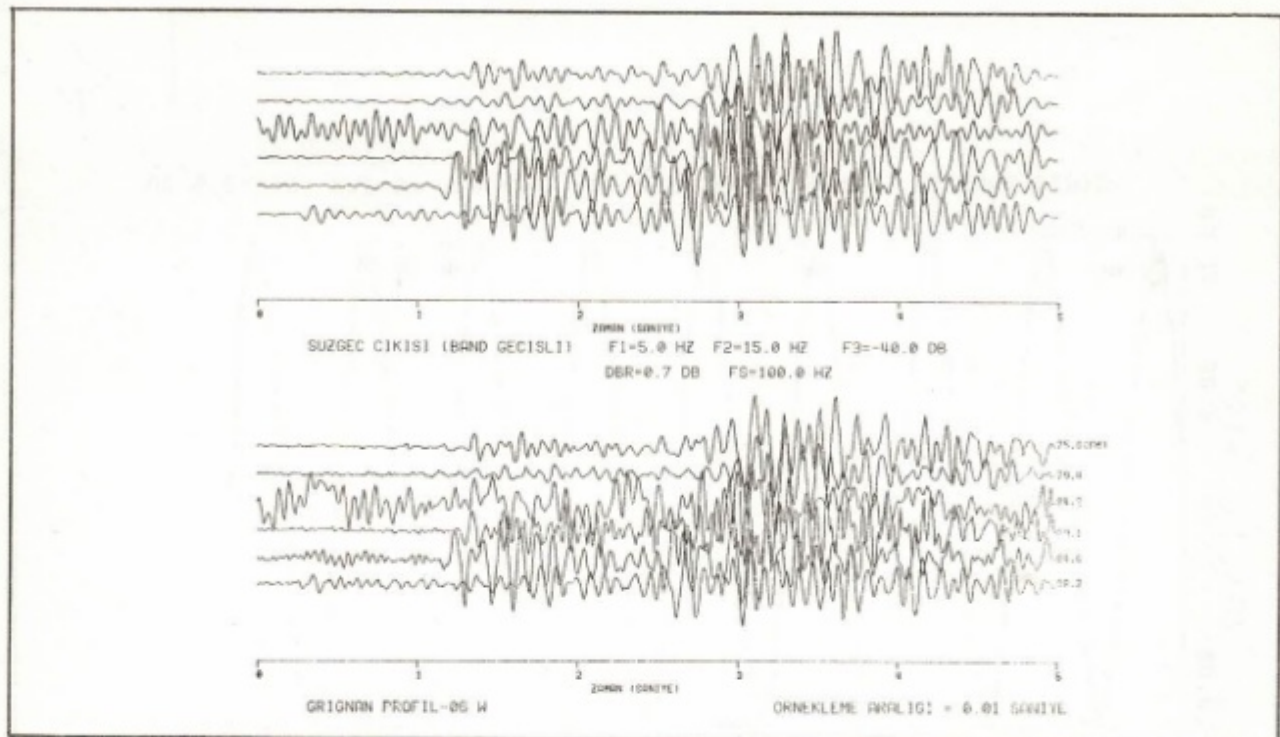
Yukarıdaki sismik kayıtlardaki sinyal ve gürültü frekans değişimleri her izin ayrı ayrı Fourier dönüşümleri alınarak saptanır. Hesaplanan gerekli spektrumları Şekil 21'den 26'ya verilmiştir. Gürültüye oranla çok yüksek enerjili yansımıma dalgaları yaklaşık olarak 5 ile 15 Hz arasında bulunurlar. Sadece 625 nolu profil üzerindeki frekans dağılımı, yukarıda de濂ilen nedenle diğerlerinden oldukça farklıdır.

Genlik spektrumlarında görüldüğü gibi, genellikle yansımıma enerjisi dar ve dik bir frekans bandı ile sınırlanır. Bu nedenle sismik sinyali en iyi şekilde ortaya çıkarabilmek için, Sayısal Band Geçişi süzgeç tipi kul-

lanılmıştır (Şekil 18 ve 19).

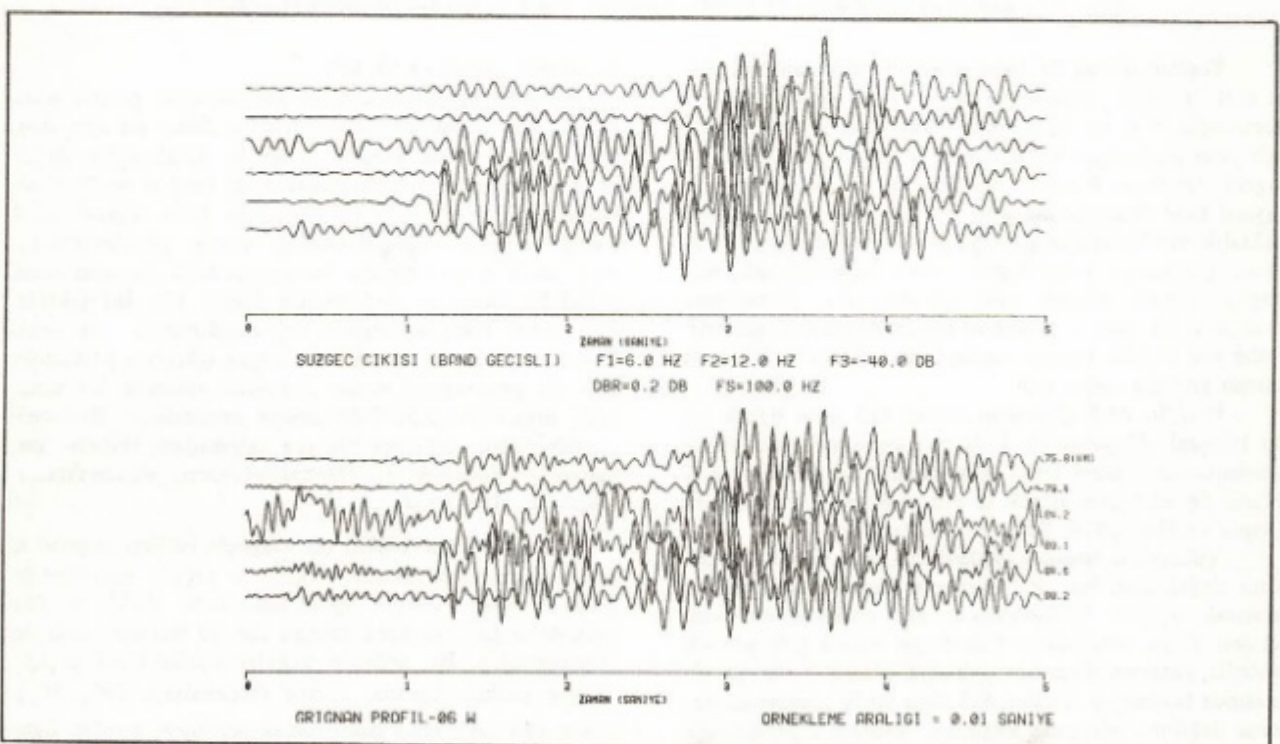
Genlik spektrumlarından yararlanarak, gerçek arazi verileri kesme frekansları birbirinden farklı iki ayrı sıfır fazlı Sayısal Band Geçişi süzgeçle süzülmüştür. Şekil 18'de alitta 6x500 noktalı gerçek arazi verileri ve üstte ise kesme frekansları 5-15 Hz olan sıfır fazla sayısal Band Geçişi eliptik süzgeçle süzülen veriler görülmektedir. Aynı arazi verileri kesme frekansları 6-12 Hz olan band geçişlibir süzgeçle süzülmüştür (Şekil 19). Bu şekilde düzenlenen çıkış verilerinin değerlendirilmesi çok daha duyarlı ve kolaydır. Her iki tür süzgeç çıkışında görüldüğü gibi iki grup enerji vardır: birincisi yaklaşık 1.3 saniyede diğeri ise 2.50-3.05 saniye arasındadır. Birincisi yerkabuğunda bulunan bir ara tabakadan, ikincisi ise yansıtıcı Mohorovicic süreksizliğinden yansımaktadır (Sapin ve Hirn 1974).

Sonsuz birim tepkili bir süzgeçle verileri süzmeden önce, kesme frekanslarının yerinde seçilip seçilmediği kontrol edilir. Genlik spektrumlarında (Şekil 21-26) görüldüğü gibi, yansımıma enerjisi dar bir frekans bandı ile sınırlanmıştır. Bu nedenle uygulamalarda band geçişli süzgeç kullanıldığından, süzme frekansların (W_A , W_Y) yukarıdaki özelliklere bağlı olarak seçilmesi gereklidir. Eğer Şekil 20'de görüldüğü gibi, frekans bandı (8 -12 Hz) dar seçilirse çıkış sismogramlarında yapay bir dalgalanma meydana gelir. Bu dalgalanmalar esas sinyalleri bozabilir. Kesme frekansları 8 -12 Hz olan band geçişli süzgeç çıkışları diğerleri (5 -15 Hz ve 6 -12 Hz) ile karşılaştırıldı-



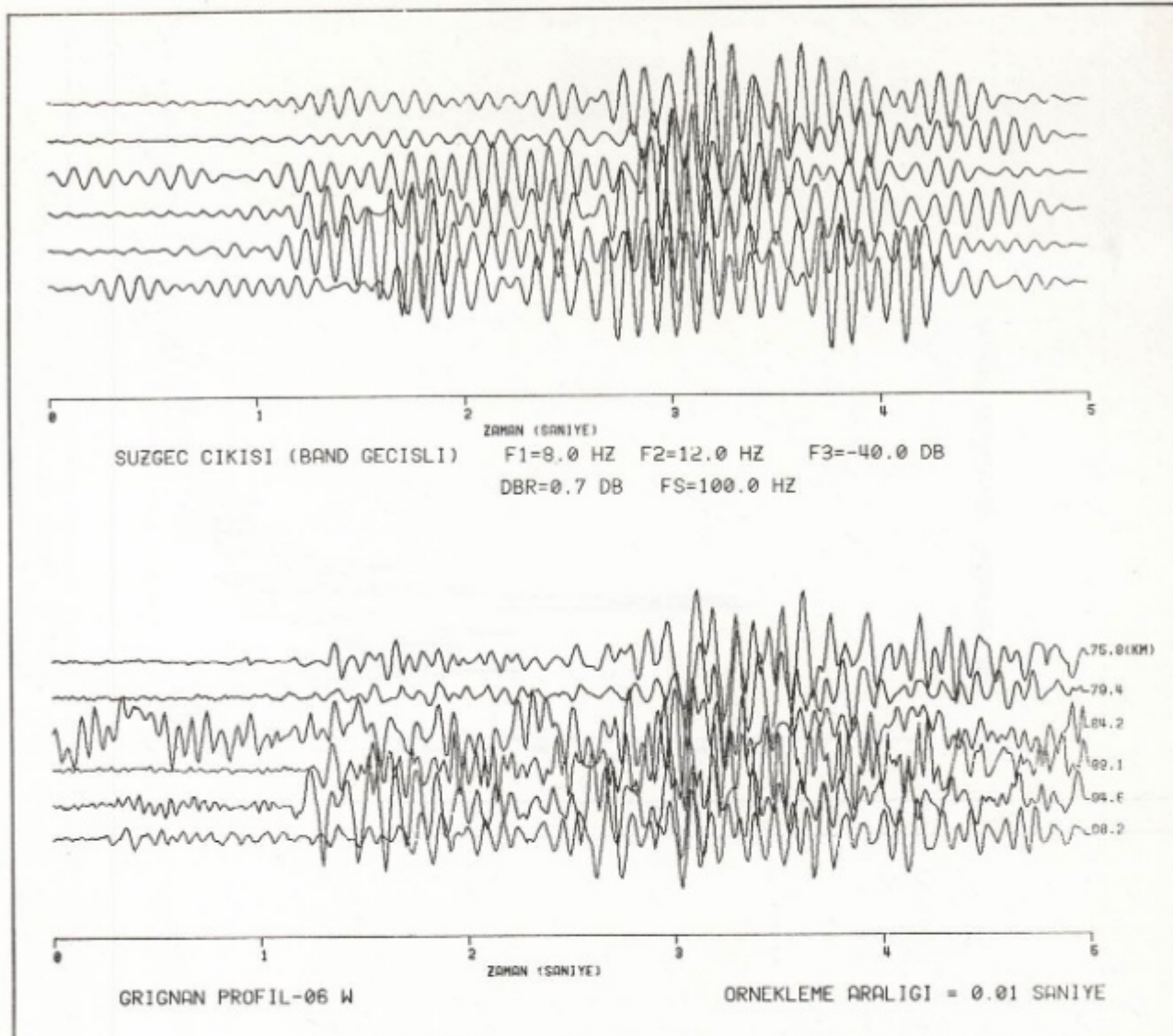
Şekil 18. (Altta) Grignan Profil-06W yeniden çizilmiş arazi verisi. (Üstte) Aynı profilden Band Geçişli Süzgeç (5 Hz - 15 Hz) çıkışı.

Fig. 18. (Bottom) Redrawn version of observed data of Grignan Profil-06W (Top) Bandpass (5 Hz - 15 Hz) filtered version of the same profile.



Şekil 19. (Altta) Grignan Profil-06W yeniden çizilmiş arazi verisi. (Üstte) Aynı profilen Band Geçişli Süzgeç (6 Hz - 12 Hz) çıkışı.

Fig. 19. (Bottom) Redrawn version of observed data of Grignan Profil-06W (Top) Bandpass (6 Hz - 12 Hz) filtered version of the same profile.



Şekil 20. (Altta) Grignan Profil-06W yeniden çizilmiş arazi verisi. (Üstte) Aynı profilden Band Geçişli Süzgeç (8 Hz - 12 Hz) çıkışı.

Fig. 20. (Bottom) Redrawn version of observed data of Grignan Profil-06W (Top) Bandpass (8 Hz - 12 Hz) filtered version of the same profile.

ında, yukarıdaki gibi iki grup enerjinin aynı bölgelerde toplandığı görülür. Buna rağmen birincide giriş sismogramlarının bozulduğu ve dalgalanmanın meydana geldiği açıklır. Kayıtları değerlendirdirken bu özellikleri göz önüne almak gereklidir.

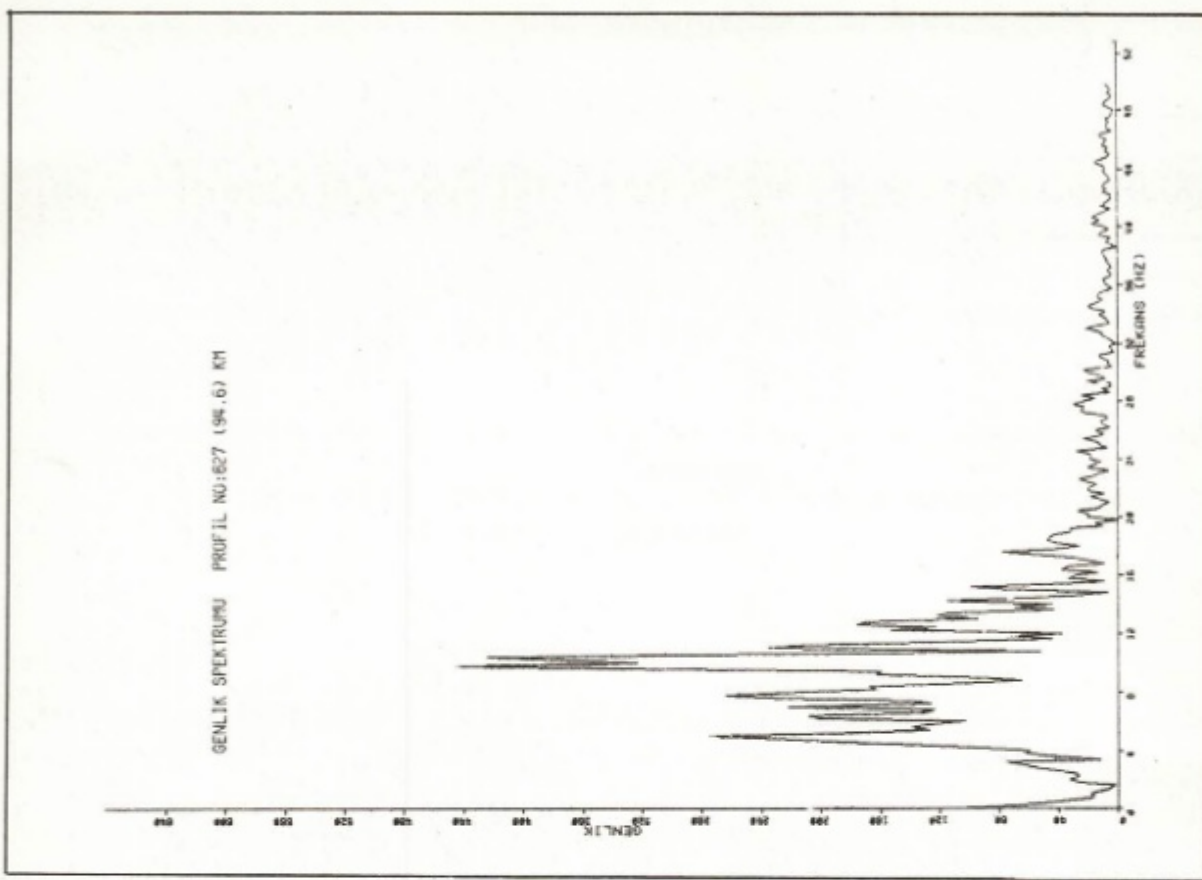
Genlik spektrumlarının hemen hepsinde 10 Hz civarında görülen çok dar frekans bandlı keskin sinyal, kollarıyla kesme freksansları 9-11 Hz olan band durdurucu bir süzgeçle süzülebilir. Bu tür çıkış verilerini zenginleştirme işlemleri çoğaltılarak, yorum için, verilerin gerçekle en yakın ve doğru şekilde hazırlanır.

SONUÇ

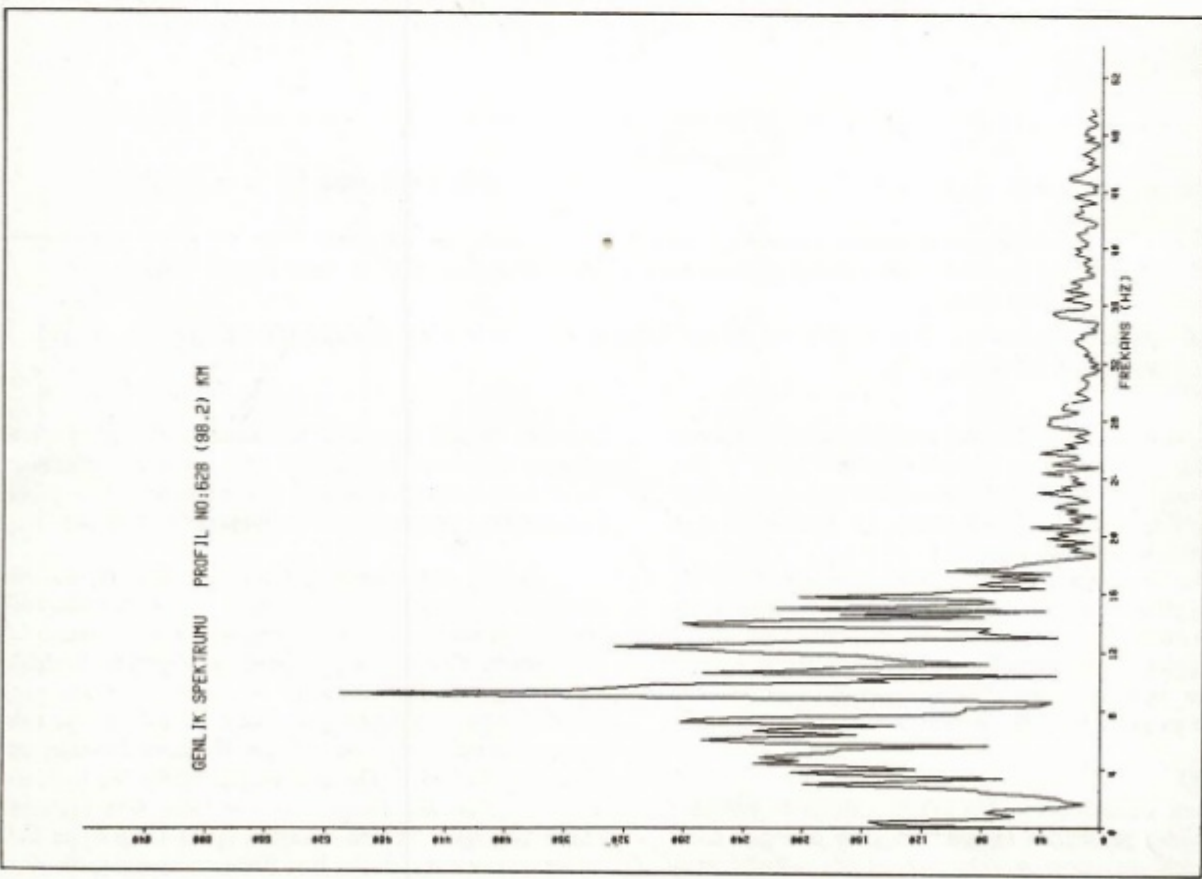
Son yıllarda jeofiziğin çeşitli dallarında özellikle sismolojide, geliştirilen sayısal veri alma tekniği, verilerin gerçekle en yakın ve kolay bir şekilde değerlendirme

işlevinde büyük aşamalar sağlamıştır. Bu gelişmeler, araştırmacıları alınan kayıtlardaki esas sinyalleri bozmadan, istenmeyen olayları (gürültü) yok edebilmek için çeşitli matematiksel yöntemler geliştirmeye yöneltilmiştir.

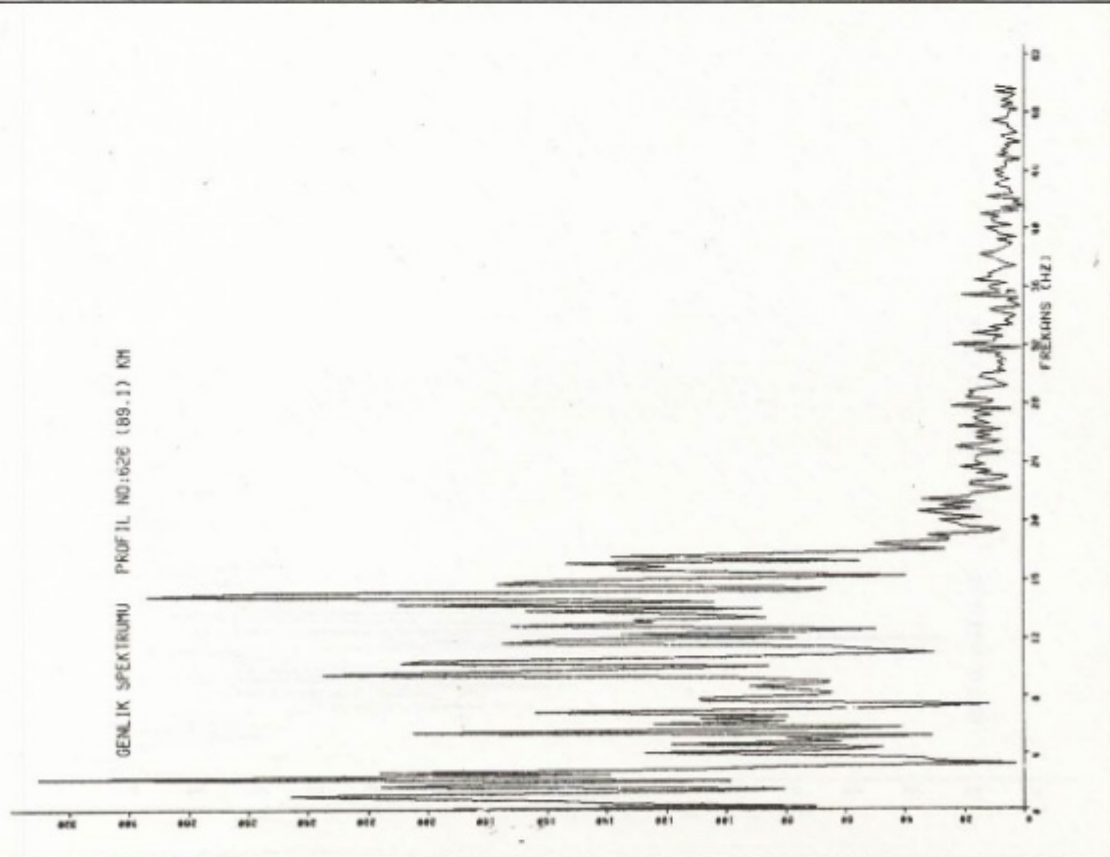
Onceki bölümlerde debynildiği gibi, sayısal bir süzgeçin gücü, sistem veya transfer fonksiyonunda kullanılan polinomunun cinsine bağlıdır. Çalışmalarımızda Butterworth, Chebyshev gibi polinomlar yerine, özellikle alçak frekanslardaki etkinliği ve süzme sınırının aynı dereceli diğer süzgeçlere göre, ideal süzgece en iyi yaklaşması nedeni ile Jacobi Eliptik fonksiyonlarından yararlanarak hazırlanan Optimal Eliptik Süzgeç'ler kullanılmıştır. Ayrıca uygulanan yineleme teknığının sağladığı büyük bilgisayar zamanı kazancı, bu tür süzgeçlerin kullanım alanındaki diğer bir yararını oluşturmaktadır.



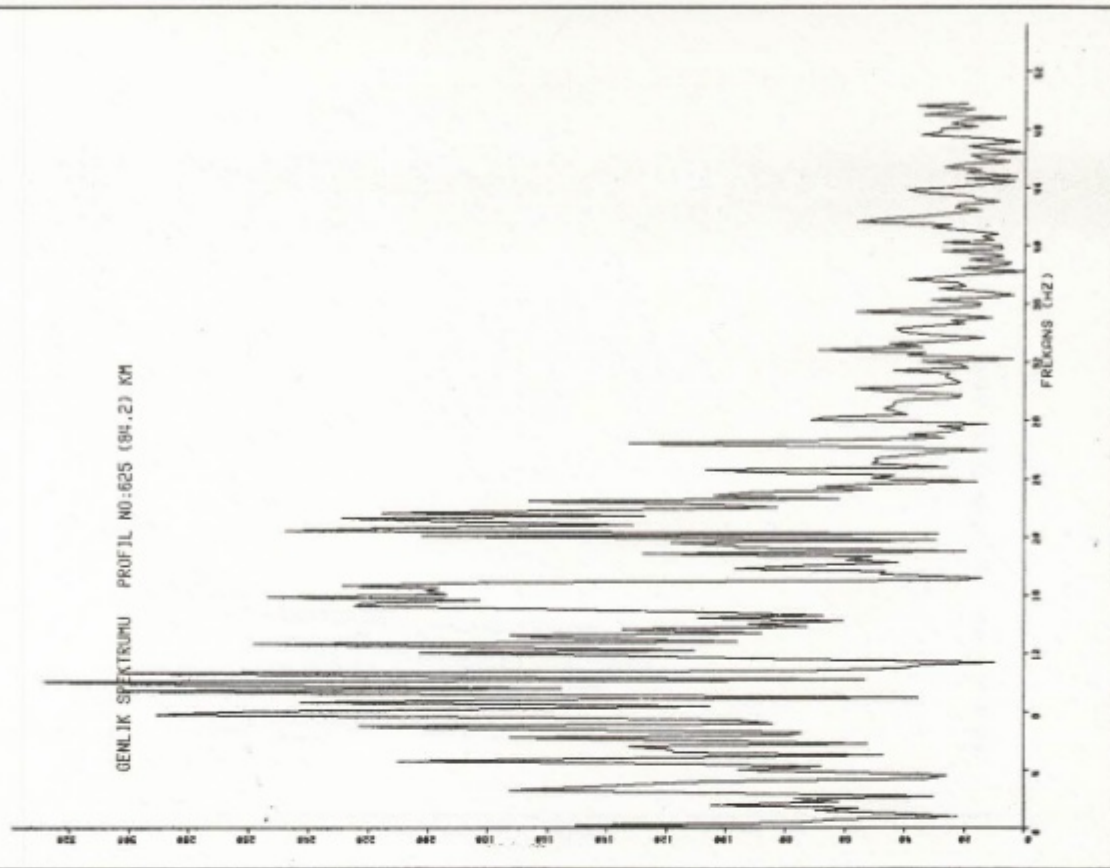
Şekil 22. Gerçek arazi verilerinin genlik spektrumu.
Fig. 22. Amplitude spectrum of the field data.



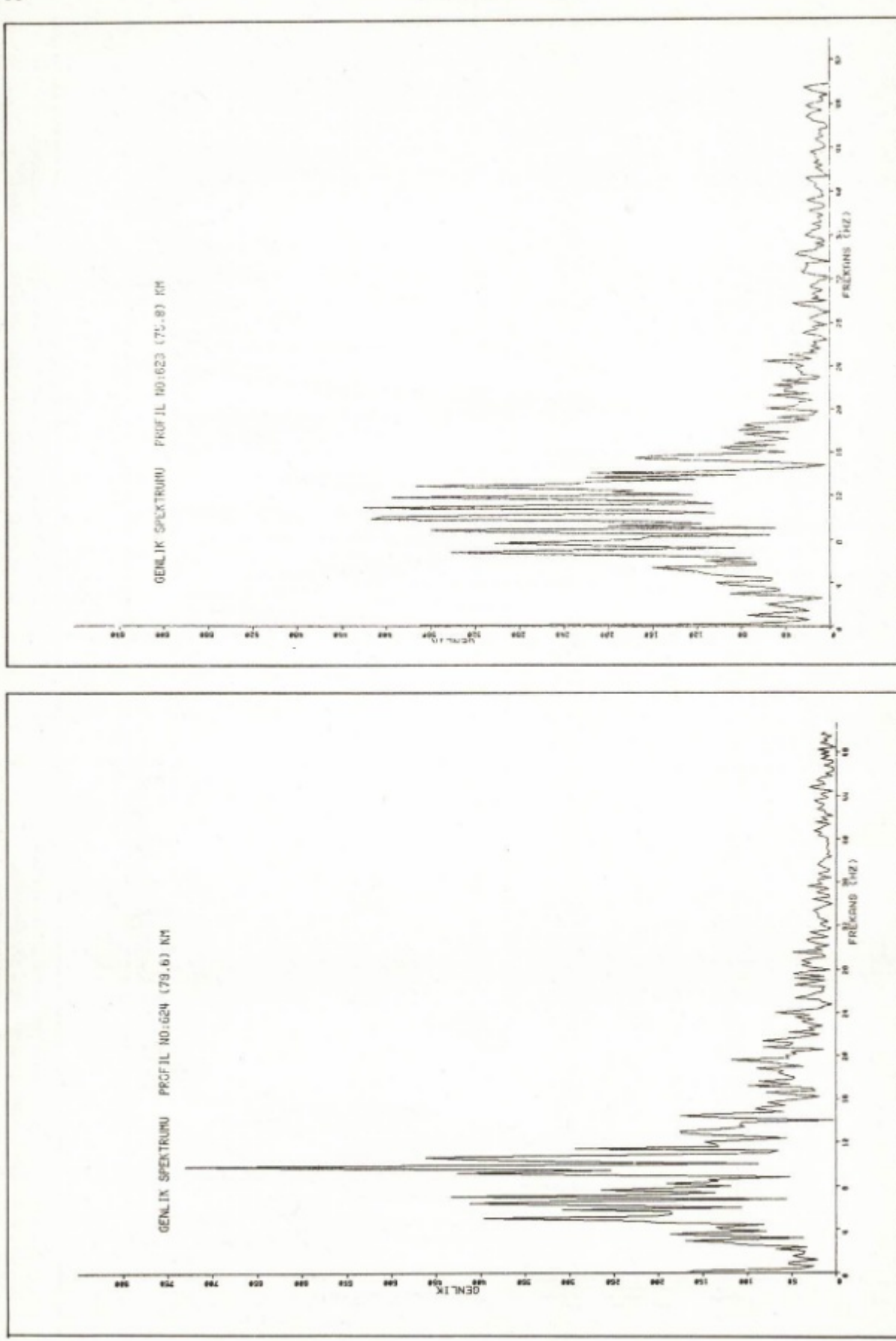
Şekil 21. Gerçek arazi verilerinin genlik spektrumu.
Fig. 21. Amplitude spectrum of the field data.



Şekil 23. Gerçek arazi verilerinin genişlik spektrumu.
Fig. 23. Amplitude spectrum of the field data.



Şekil 24. Gerçek arazi verilerinin genişlik spektrumu.
Fig. 24. Amplitude spectrum of the field data.



Şekil 25. Gerçek arazi verilerinin genlik spektrumu.
Fig. 25. Amplitude spectrum of the field data.

Şekil 26. Gerçek arazi verilerinin genlik spektrumu.
Fig. 26. Amplitude spectrum of the field data.

Örneğin, 500 sayısal noktalık bir giriş verisi (Şekil 16) IBM-370/138 yardımıyla 3 dakika 16 saniyede süzülmüşür. Bu zaman 500'er sayısal noktalık iki ayrı frekanslı (1,7 Hz ve 23,0 Hz) sinüs eğrisinin hesaplanarak toplamları (Şekil 16) ve bu şekilde elde edilen sentetik giriş verisinin iki kez süzülmesini içerir (Şekil 17).

Sıfır fazlı sayısal eliptik süzgeçlerin simetri özellikleri Şekil 27'de verilmiştir. Bu tür süzgeçlerin en önemli özelliklerinden birisi de, süzgeç transfer fonksiyonunun kesme sınırlarını (veya sınırını) açık bir şekilde dikleştirmesidir (Şekil 28-29). Kesme frekansları 5-15 Hz olan eliptik band geçişli ve sıfır fazlı süzgeçlerin logaritmik genlik fonksiyonları Şekil 28'de üst üste çizilmiştir. Görüldüğü gibi geçiş bandı normal süzgece göre oldukça daralmıştır. Bu özellik diğer süzgeçlere göre daha belirgindir.

Bilgisayar programı yardımıyla $N = 40$ inci derecede kadar eliptik bir süzgeç transfer fonksiyonunun katayıları hesaplanabilir.

Gerçek arazi verilerinin genlik spektrumları (Şekil 21-26) hesaplandıktan sonra aynı sismogramlar kesme frekansları 5-15 Hz olan sıfır fazlı band geçişli süzgeçten geçirilerek genlik spektrumları (Şekil 30-35) yeniden çizilmiştir. Daha önce verilen genlik spektrumlarıyla yukarıdaki birbirleriyle karşılaşıldığında, sıfır fazlı sayısal süzgeçlerin etkinliği daha açık olarak görülmektedir.

Yukarıda deñinilen tüm yararları dışında, Sıfır Fazlı Sayısal Eliptik Süzgeçler diğer tip süzgeçlerle örneğin hız süzgeçleri, birlikte kullanıldığındá araştırcılara sağladığı büyük olanaklar net bir şekilde görülmektedir.

Arazi verilerini gerçeve en yakın bir şekilde değerlendirmek için, seçilen süzgeç tipi ve özellikle geçiş bandının genişliği değiştirilir. Örneğin, tüm profillerde

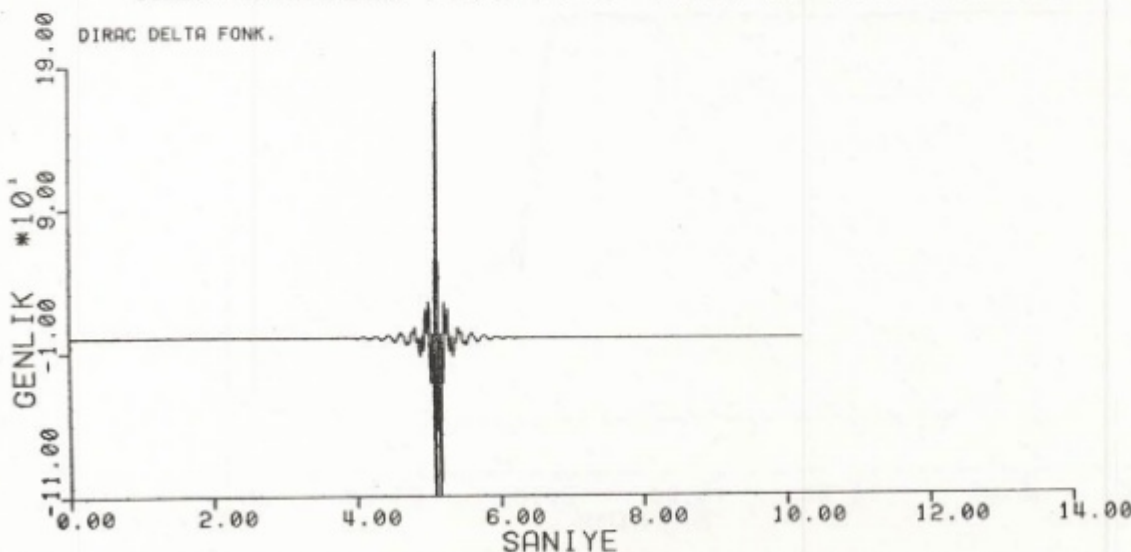
görülen 10 Hz civarındaki frekanslar Band Durdurucu bir süzgeçle süzülür. Kesme frekansları 6-12 Hz'lik sıfır fazlı band geçişli sayısal eliptik süzgeçle süzülen, (Şekil 36, alttan ikinci iz) Profil-625 (84,2 km), daha sonra kesme frekansları 9-11 Hz'lik Band Durdurucu Eliptik Süzgeçle süzülerek (Şekil 36 üstten birinci iz) yeniden çizdirilmiştir. Görüldüğü gibi 1,80-2,40 saniye arasındaki band geçişli süzgeç çıkışı, band durdurucu süzgeçle yorum için daha açık ve kolay duruma getirilmiştir.

YARARLANILAN KAYNAKLAR

- Abramowitz M. and Stegun I.A. 1972, Handbook of Mathematical Functions, Dover Pub. Inc., New York.
 Erdelyi A. et al. 1953, Higher Transcendental Functions, V-Z, McGraw Hill Book Co., New York.
 Gold B. and Rader C. 1969, Digital Processing of Signals, McGraw Hill Book Co., New York.
 Jannke E., Emde F. and Lösch 1960, Tables of Higher Functions, 6 th ed., McGraw Hill Book Co., New York.
 Kaiser J.F. 1972, Design methods for sampled data filter, "Digital Signal Processing", IEEE, Press.
 Milne-Thompson L.M. 1956, Jacobian Elliptic Function, Dover Pub., Inc., New York.
 Neville E.H. 1951, Jacobian Elliptic Functions, 2nd ed., Oxford Univ. Press, London.
 Rabiner L.R. and Gold B. 1975, Theory and Application of Digital Signal Processing, Prentice-Hall, Inc., New Jersey.
 Sapin M. and Hirn A. 1974, Results of explosion seismology in the southern Rhone valley, Ann. Geophys. 30, 181-202.
 Shanks J.L. 1967, Recursion filters for digital processing, Geophysics 32, 33-51.
 Schafer R.W. and Oppenheim A.V. 1975, Digital signal processing, Printice-Hall Inc. New Jersey.
 Whittaker E.T. and Watson G.N. 1962, Modern analysis, Cambridge University Press.

ELİPTİK 'BANDPASS' FILT. IMPULS TEPKİSİ

GİRİŞ PARAMETRELERİ : 2N=8 F1= 6. F2=20. F3=-40. FS=100. NOKSAY=1024

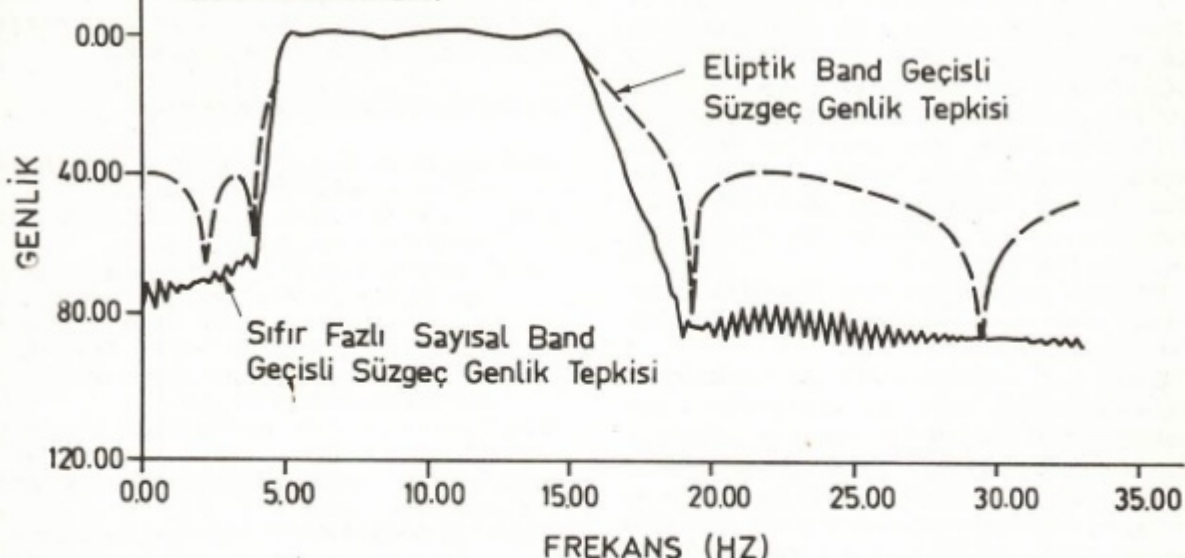


Şekil 27. Eliptik Band Geçişli Süzgeç Birim tepkisi.

Fig. 27. Impulse response of an Elliptic Bandpass filter.

ELİPTİK BAND GEÇİŞLİ SÜZGEC

GİRİŞ PARAMET : $2N=8$ $F1=5.0$ $F2=15$ $F3=-40\text{dB}$ $FS=100$ $DBR=0.7\text{ dB}$
 GAIN (LOG. GENLIK)

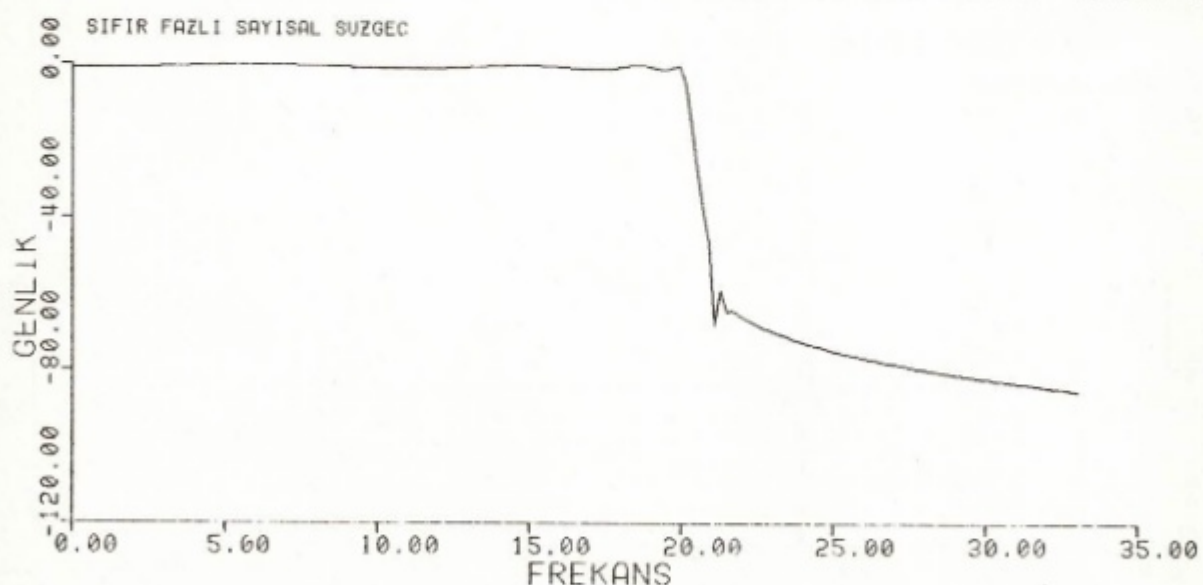


Şekil 28. Eliptik Band Geçişli Suzgeç ile sıfır fazlı sayısal Band Geçişli Eliptik Suzgeçin Logaritmik genlik tepkilerinin karşılaştırılması.

Fig. 28. Comparison of logarithmic amplitude responses of an elliptic bandpass filter and zero-phase shift digital bandpass elliptic filter.

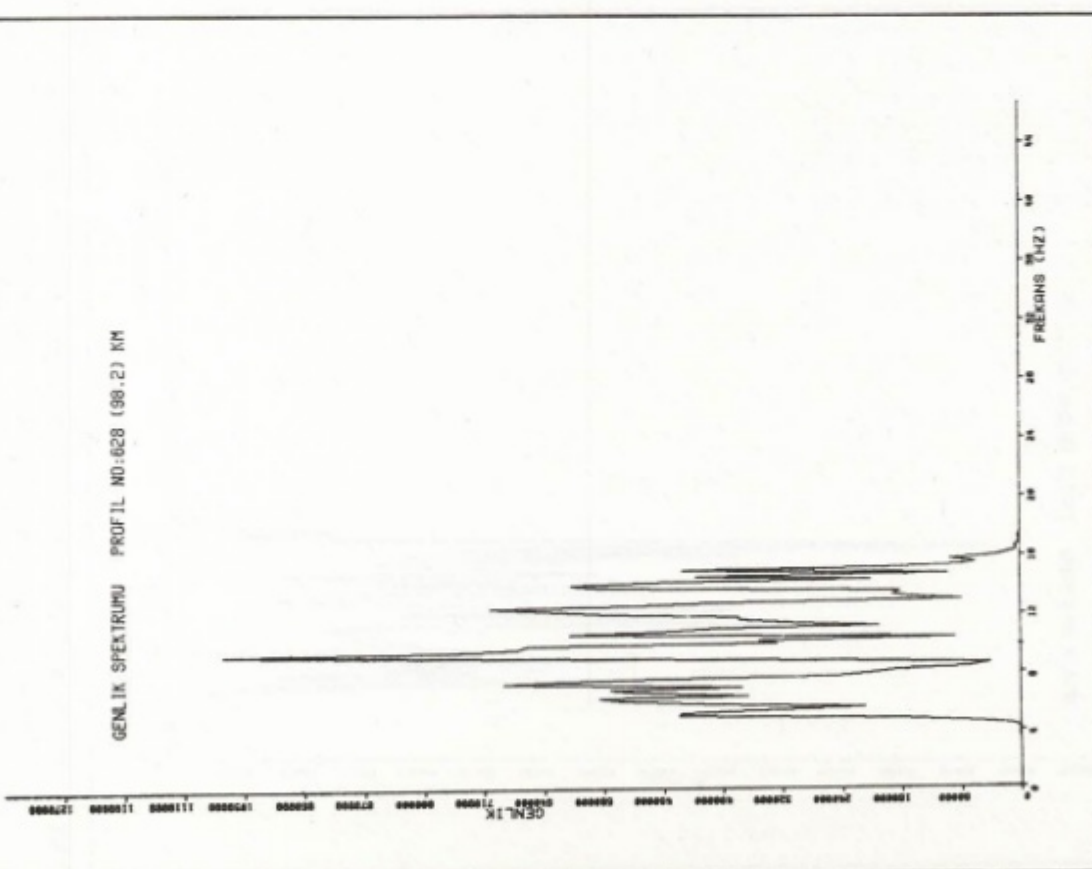
ELİPTİK'ALCAK GECİSLİ 'SUZGEC GENLIK TEP

GİRIS PARAMETRELERİ : $N=8$ $F1=0.0$ $F2=20$, $F3=22.0$ $FS=100$, $NOKSAY=512$

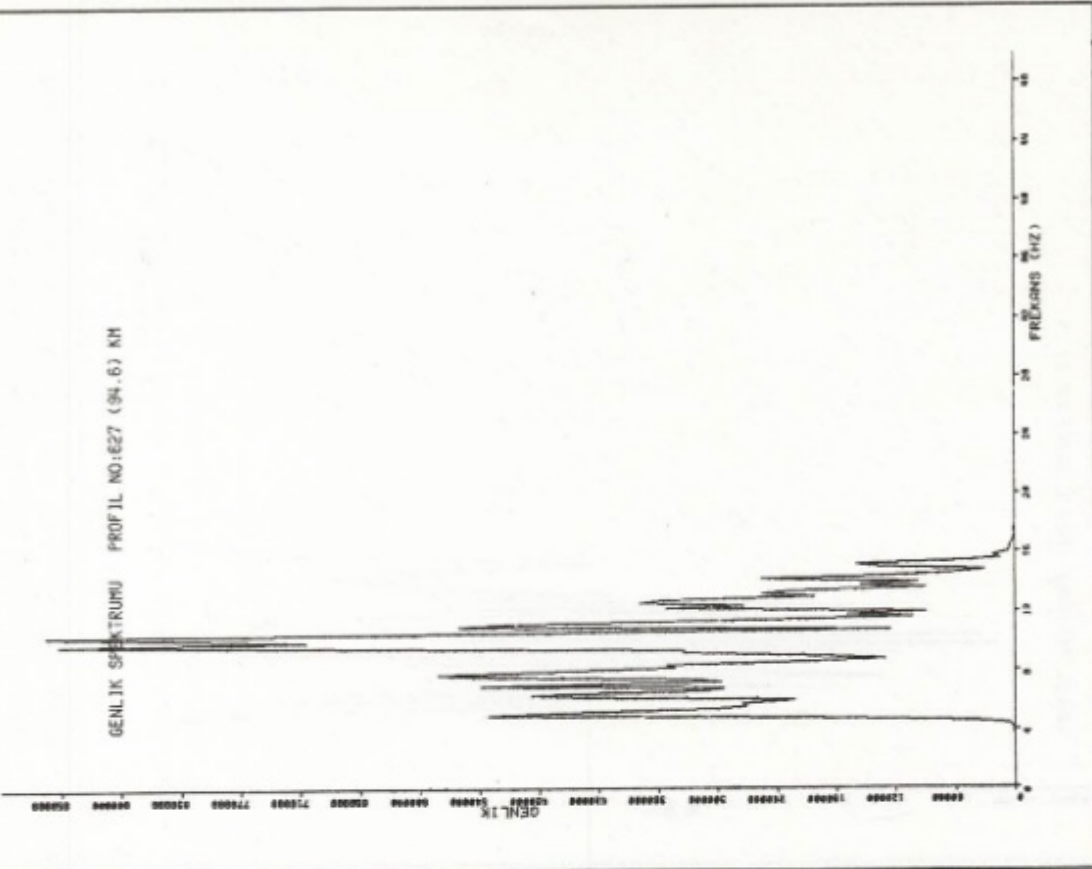


Şekil 29. Eliptik Alçak Geçişli Sıfır fazlı süzgeç genlik tepkisi.

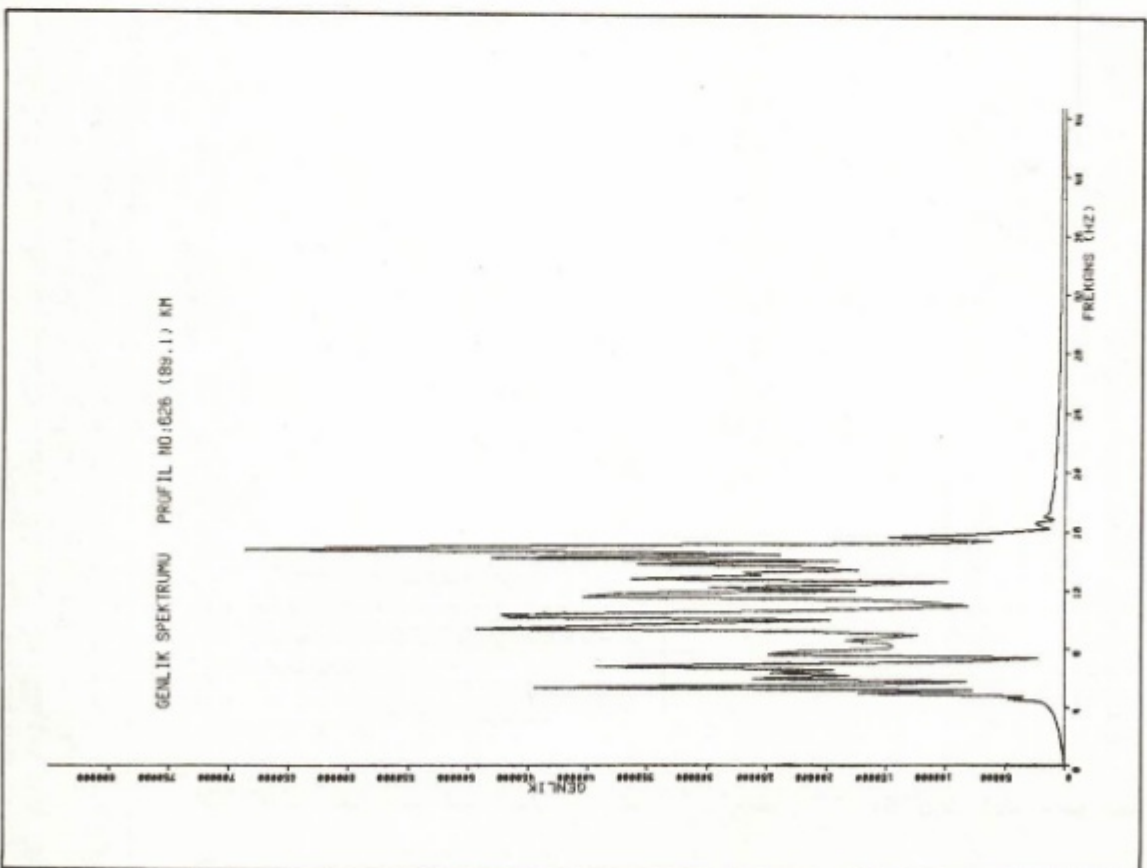
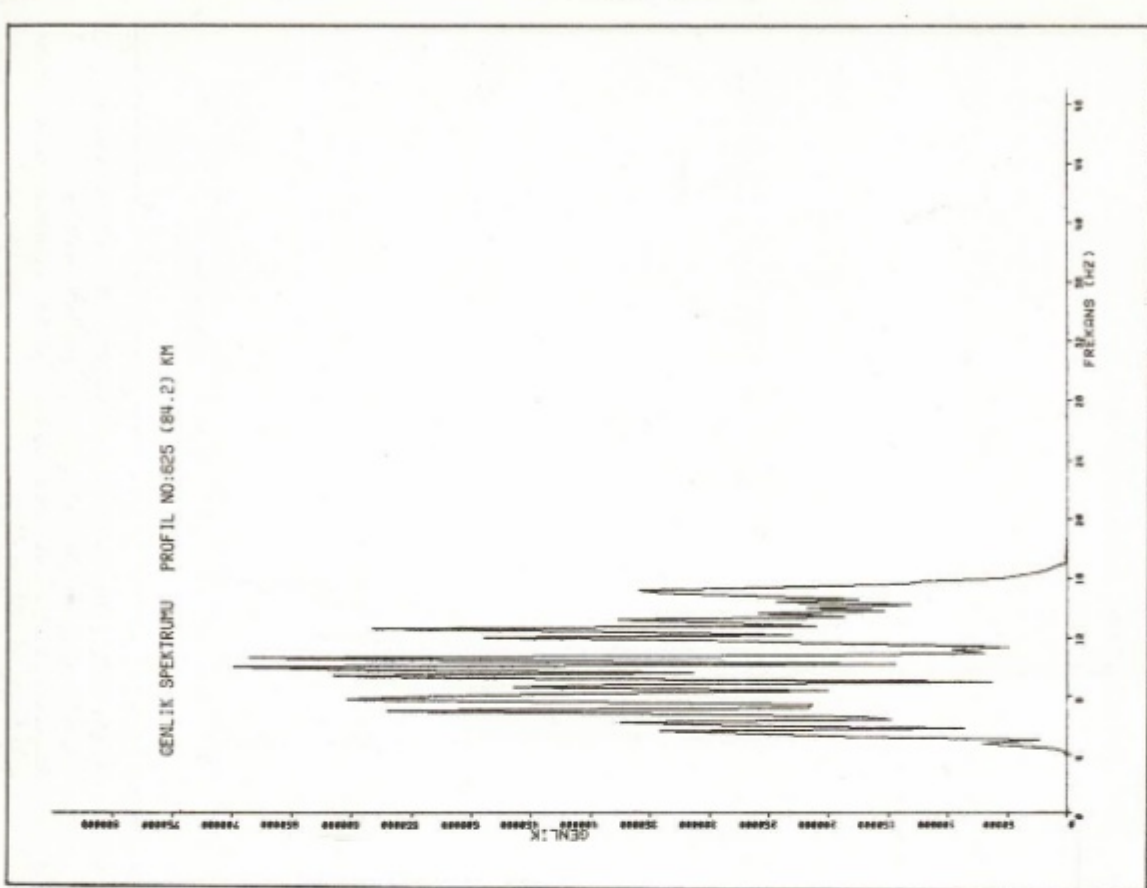
Fig. 29. Amplitude response of zero-phase shift elliptic lowpass filter.



Şekil 30. Gerçek arazi verilerinin sıfır fazlı sayısal Band Geçişli eliptik süzgeçten geçtikten sonra hesaplanan genlik spektrumu.
Fig. 30. Amplitude spectrum of observed data after the application of zero-phase shift bandpass elliptic filter.

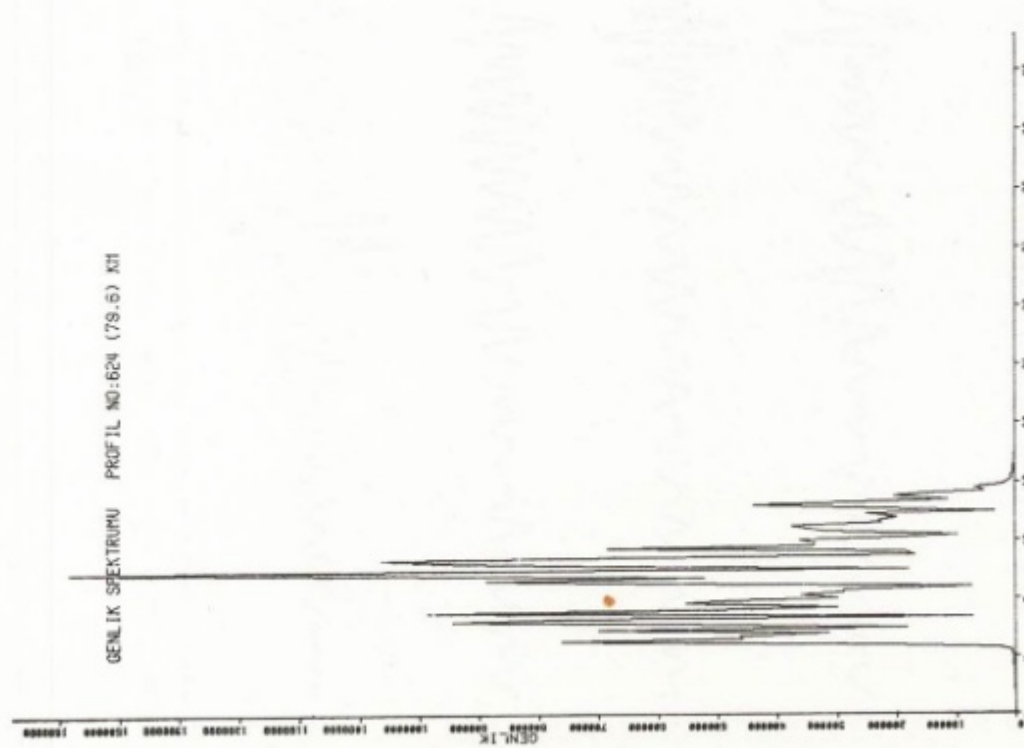


Şekil 31. Gerçek arazi verilerinin sıfır fazlı sayısal Band Geçişli eliptik süzgeçten geçtikten sonra hesaplanan genlik spektrumu.
Fig. 31. Amplitude spectrum of observed data after the application of zero-phase shift bandpass elliptic filter.

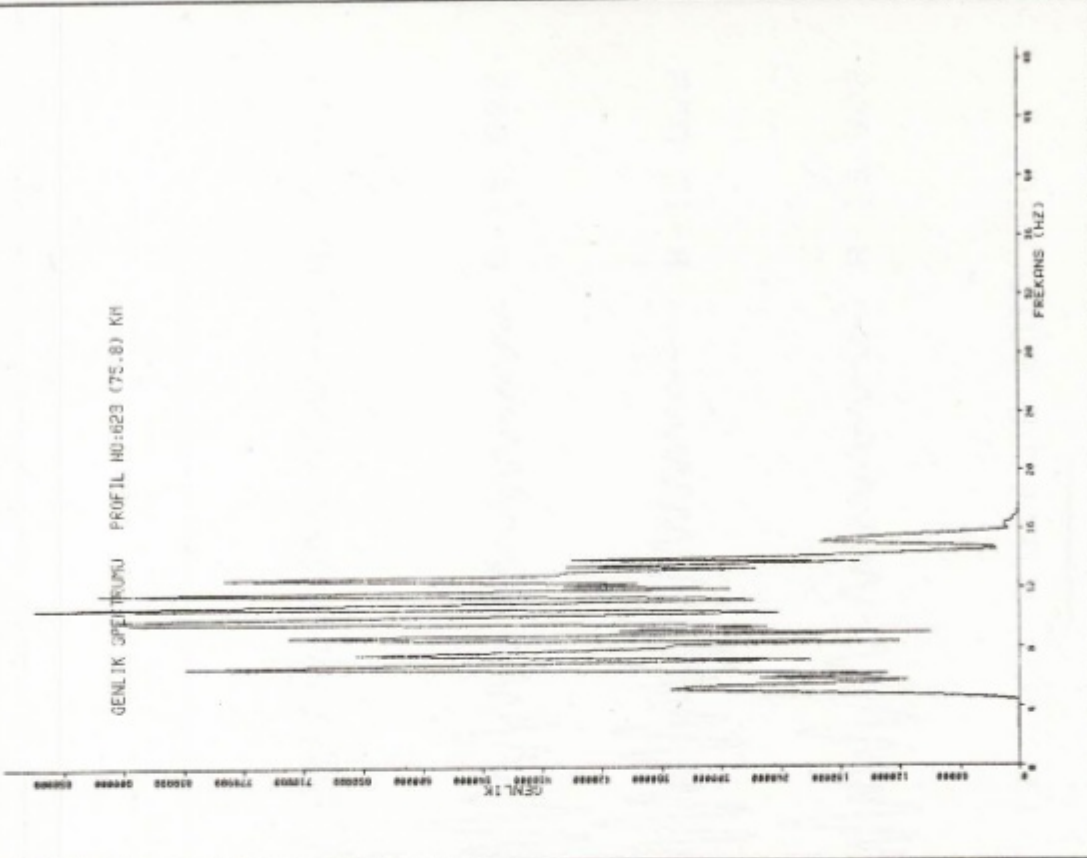


Şekil 32. Gerçek arazi verilerinin sıfır fazlı sayısal Band Geçişli elliptik süzeğinden geçtiğten sonra hesaplanan genlik spektrumu
Fig. 32. Amplitude spectrum of observed data after the application of zero-phase shift bandpass elliptic filter.

Şekil 33. Gerçek arazi verilerinin sıfır fazlı sayısal Band Geçişli elliptik süzeğinden geçtiğten sonra hesaplanan genlik spektrumu
Fig. 33. Amplitude spectrum of observed data after the application of zero-phase shift bandpass elliptic filter.

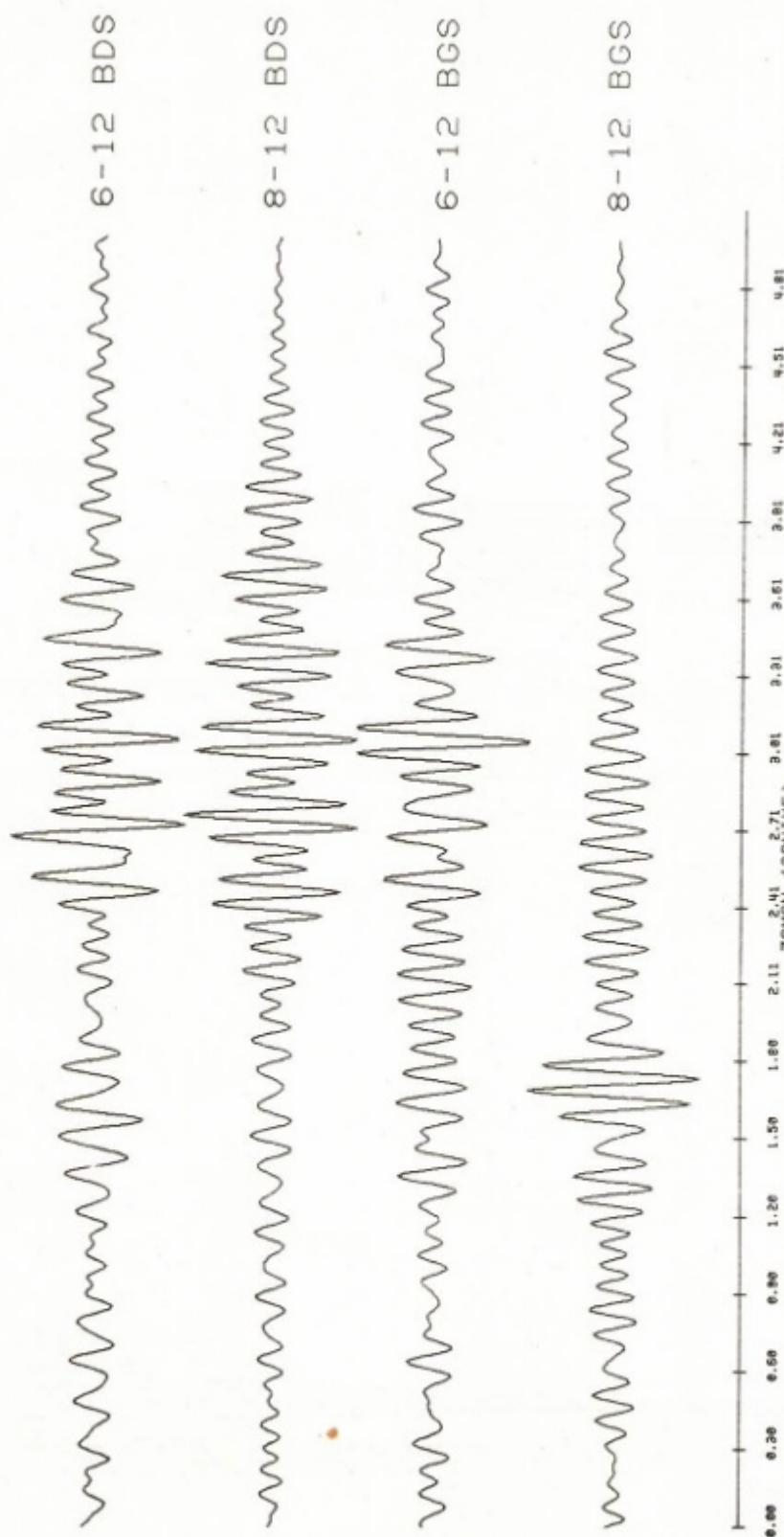


Şekil 34. Gerçek arazi verilerinin sıfır fazlı sayısal Band Geçişli eliptik süzgeçten geçenlikten sonra hesaplanan genlik spektrumu.
Fig. 34. Amplitude spectrum of observed data after the application of zero-phase shift bandpass elliptic filter.



Şekil 35. Gerçek arazi verilerinin sıfır fazlı sayısal Band Geçişli eliptik süzgeçten geçenlikten sonra hesaplanan genlik spektrumu.
Fig. 35. Amplitude spectrum of observed data after the application of zero-phase shift bandpass elliptic filter.

(BGS) BAND GECİSLİ SUZGECLERDEN CIKAN SİSMİK İZLERİN
YENİDEN BAND DURDURUCU (BDS=9-11 Hz) SUZGECLE SUZULMESİ



Şekil 36. Band Geçişli süzgeçlerden çıkan sismik izlerin yeniden Band Durdurucu (9 Hz - 11 Hz) süzgeçle süzülmesi.
Fig. 36. Refiltration of bandpass filtered seismic signals with the bandstop (9 Hz - 11 Hz) filter.

JEOFİZİK MODELLEMEDE SVD ANALİZİ

SVD Analysis in Geophysical Modelling

O. Metin İLKİŞİK*

1. ÖZET

Tekil değer ayırmayı (SVD) teknigi kullanılarak ters çözümlemeyin etkinliği araştırılmıştır. Duyarlık matrisine SVD ayırmayı uygulayarak yorumların istatistik açıdan değerlendirilmesinin, bazı belirli model değişkenlerinin önemini saptamakta yararlı olduğu ve ayrıca düşünülen bir araştırmayı planlamasında ön bilgiler sağladığını aşağıda gösterilmiştir.

Trakya'da TKH manyetotellürük ölçü noktası üzerinde önerilen yerkabuğu modeli (İlkışık 1980), SVD teknigi kullanılarak analiz edilmiştir. Jeoelektrik modelin doğasına bağlı olarak, elde edilen en duyarlı bilgilerin en üstteki tortul örtüye ve yerkabığının toplam kalınlığına ait olduğu gösterilmiştir. Düşünen modellerde 40-50 km derinliklerde iletkenliği yüksek bir üst manto katmanı yer almaktan ise de özgül iletkenliğin (veya direncin) gerçek değeri tam olarak saptanamamış olmalıdır.

1. ABSTRACT

The efficiency of inversion using the singular value decomposition (SVD) technique is investigated. It is shown that statistical evaluation of the sensitivity matrix can be helpful to define the importance of some particular model parameters and also provides a priori knowledge to plan a proposed survey.

The suggested earth's crust model on magnetotelluric site TKH in Thrace (İlkışık 1980) is analysed using SVD technique. Due to the nature of the geoelectrical model, it is shown that most precise information is obtained regarding uppermost sedimentary cover and the total thickness of the earth's crust. Although the proposed models include a highly conducting upper mantle layer within the depth of 40 to 50 kms, the exact value of the specific conductivity (so the resistivity) should be badly estimated.

GİRİŞ

Jeofizik araştırmalarda uygun yöntemler ile yeraltı yapısının bazı fiziksel özelliklerinin ve geometrisinin belirlenmesi istenir. Özelliklerin niceliğinin, yanal ve düşey yönde sürekli veya sürekli değişiminin saptanması "modelleme" işlemini oluşturur. Modelleme yalnızca jeofizik gözlemleri içeren ön-yaklaşımardan, analitik çözümlere veya olasılık hesaplarına dayanan ayrıntılı değerlendirmelere kadar birçok yolla yapılabilir. Önerilen bir yeraltı modelinin uygulanan jeofizik yönteme tepkisinin hesaplanması "düz modelleme", ölçülen jeofizik verilerden yeraltı yapısının belirlenmesi ise "ters modelleme" olarak bilinir. Ters modelleme veya bizim kullanacağımız deyiği ile "ters çözümleme" yöntemlerinin çoğunda model değişkenlerinin doğrudan belirlenmesi yerine, başlangıç için seçilen yaklaşık bir modelin değişkenleri, jeofizik gözlemleri ile en iyi uyumu sağlayacak biçimde düzelttilir.

Model değişkenleri saptanırken birbirleri ile göreceili ilişkilerde dikkatle incelenmelidir. Bu, değişkenler ile gözlemler arasındaki bağı belirliyen sistem matrisine

tekil değer ayırmayı uygulayarak, ters çözümleme işlemi sırasında yapılabilir.

Örnek olarak, Trakya'da yapılan bir manyetotellürük araştırmada (İlkışık 1980, TKH ölçü noktası) saptanmış yerkabuğu modeli ele alınarak, ileri sürülen model değişkenlerinin ne derece geçerli olabileceği irdelemiştir.

Bu tür bir yaklaşımla bütün jeofizik yöntemler için eldeki verilere dayanarak önerilen model değişkenlerinin iç yapısı ve dolayısı ile gerçek jeolojik yapı daha iyi anlaşılabılır. Ayrıca belli bir araştırmayı planlaması aşamasında, hangi değişkenlerin "nasıl ve ne kadar" saptanabileceğinin bilinmesi önemli yarar sağlar.

İLKELER

Bir yer modelinin p_j ($j=1, m$) değişkenleri ile d_i ($i=1, n$) jeofizik gözlemler arasında doğrusal bir ilişki varsa

$$d_i = \Delta_{ij} \cdot p_j \quad (1)$$

matris eşitliği yazılabilir. Burada Δ_{ij} (p_j) sistem tepkisi olup, eğer doğrusal değilse belirli bir p_j^* başlangıç değeri

* İ.O. Müh. Fak., Jeofizik Mühendisliği Bölümü, 34459 Vezneciler

etrafında Taylor serisine açıp, birinciden sonraki türevleri atarak

$$\Delta \mathbf{d}_i = \mathbf{A}_i(p_j^*) + (\partial \mathbf{A}_i / \partial p_j^*) p_j^* \cdot \Delta p_j$$

yazılabilir. İlk modelin hesaplanan tepkisi $\mathbf{A}_i(p_j^*)$ yerine \mathbf{c}_i ve $(\partial \mathbf{A}_i / \partial p_j) p_j^*$ yerine \mathbf{A}_{ij} dersek ilişki

$$\Delta \mathbf{d}_i = \mathbf{d}_i - \mathbf{c}_i = \mathbf{A}_{ij} \cdot \Delta p_j \quad (2)$$

biçiminde doğrusallaştırılabilir. \mathbf{A}_{ij} matrisi ters çözümlemede Jacobian veya "duyarlık matrisi" olarak da bilinir. Model değişkenlerindeki Δp_j değişimleri Gauss--Newton yaklaşımı ile

$$\Delta p_j = (\mathbf{A}^T \mathbf{A})^{-1} \mathbf{A}^T \cdot \Delta \mathbf{d} \quad (3)$$

genelleştirilmiş ters çözümden bulunur. Gerçekte, aranan model değişkenleri ($p_j^* = p_j + \Delta p_j$) olup birkaç yinelemeden sonra saptanacaktır. m bilinmeyenli n doğrusal denklem sistemini gösteren (1) eşitliğinin jeofizik değerlendirmelere ilişkin ilk çözümleri Lanczos (1961), Wiggins (1972) ve Jackson (1972) tarafından verilmiştir.

Jeofizik uygulamalarda en yaygın görülen biçimde, eğer değişken sayısından çok veri varsa ve eğer (1) içindeki k bağımsız eşitlik sayısı (yani Δ nin derecesi) $k < m < n$ koşulunu sağlıyorsa (3) de geçen $(\mathbf{A}^T \mathbf{A})^{-1}$ kolay hesaplanamaz (Pedersen 1979). Ters çözümlemede bu sorunu çözen birçok yaklaşımlar geliştirilmiştir (bak. Menke 1984). Ancak bunlardan "tekil değer ayırmı" (singular value decomposition -SVD) en kullanışlı olanıdır. Δ duyarlık matrisi, üç ayrı matrisin çarpımı olarak

$$\Delta = \mathbf{U} \cdot \frac{\Lambda}{k} \cdot \mathbf{V}^T \quad (4)$$

biçiminde yazılabilir (Lanczos 1961, Golub ve Reinsch 1970). Burada Δ köşegen matrisin elemanları Δ_{ij} ($i = 1, 2, \dots, m$; $j = 1, 2, \dots, k$) Δ nin özdeğerlerinin (eigenvalues) + karaköküne eşit olup tekil değerler (singular values) olarak bilinir. k adet sıfırdan λ_j tekil değer büyükten küçüğe sıralanmıştır. \mathbf{U} içinde k adet n uzunluğunda veri özvektörü (data eigenvector), \mathbf{V} içinde ise k adet m uzunluğunda değişken özvektörü (parameter eigenvector) vardır.

Ele alınan model değişkenlerinden kaçının saptanabileceğini gösteren k serbestlik derecesini Wiggins (1970)

$$k = \sum_{j=1}^m \frac{\lambda_j^2}{\lambda_j^2 + \sigma_0^2} \quad (5)$$

olarak vermektedir. Burada σ_0^2 model ile gözlemler arasındaki uyumsuzluğu tanımır ve

$$\sigma_0^2 = \frac{(\Delta \mathbf{d})^T \cdot (\mathbf{I} - \mathbf{U} \cdot \mathbf{U}^T) \cdot \Delta \mathbf{d}}{n - m} \quad (6)$$

bağıntısından bulunabilir (Lawson ve Hanson 1974). Konuya ilişkin daha ayrıntılı bilgiler İlkişik ve Jones (1984) tarafından verilmiştir.

(1) veya (2) bağıntısında sıfır bölmeler nedeni ile Δ^{-1} , daha doğrusu $(\mathbf{A}^T \mathbf{A})^{-1}$ hesaplanamazsa tekil değer ayırmı -veya SVD- yaptıktan sonra (4) bağıntısı (2) de yerine konarak model değişkenleri

$$\Delta p_j = \mathbf{V} \cdot \frac{\Lambda}{k}^{-1} \cdot \mathbf{U}^T \cdot \Delta \mathbf{d} \quad (7)$$

eşitliğinden elde edilir. Ters çözümlemede çok kullanılan tekil değer ayırmı, model değişkenlerinin birbirleri ile ilişkileri açısından da çok önemli bilgiler sağlar.

BİR MANYETOTELÜRK UYGULAMA

Herhangi bir jeofizik yöntem için Δ matrisine SVD uygulayarak herhangi bir modelin değişkenlerinin analizi yapılabilir. Bu çalışmada örnek olarak İlkişik (1980) tarafından Trakya'da, Kırklareli'nin 3 km kadar güneyinde TKH noktasında ölçülmüş manyetotelürk veriler ele alınmıştır. Bu noktada birbirine dik doğrultularda (kuzey-güney ve doğu-batı) ölçülen görünür özdirenç değerleri Şekil 1 de verilmiştir. Ölçümlerde gözlenen % 20-25 civarındaki hata, manyetotelürk yöntem için normal bir düzeydir. Eğriler yüksek freksnlarda (sig) düşük özdirençli bir katmana, orta freksnlarda (orta derinlik-yerkabuğu) oldukça yüksek bir özdirenç ve alçak freksnlarda ise (yerkabığının tabanı - üst manto sınırı) iletken bir katmanın varlığına işaret etmektedir. Anizotropi katsayısi ($\log \lambda = 0.5 \log \rho_{s, NS} - 0.5 \log \rho_{s, EW}$) görünür özdirençin hemen bütün freksnlarda doğu-batı yönünde (EW) daha az olduğunu göstermektedir. Bu, ölçü noktası altında güneye doğru kalınlaştiği bilinen Trakya tortul havzasının iki boyutlu etkisi olarak yorumlanabilir. Eldeki jeofizik bilgilere dayanarak ve deneme-sınama yöntemi ile yazarın her iki doğrultu için saptadığı yerkabuğu modeli Çizelge 1 de verilmiştir.

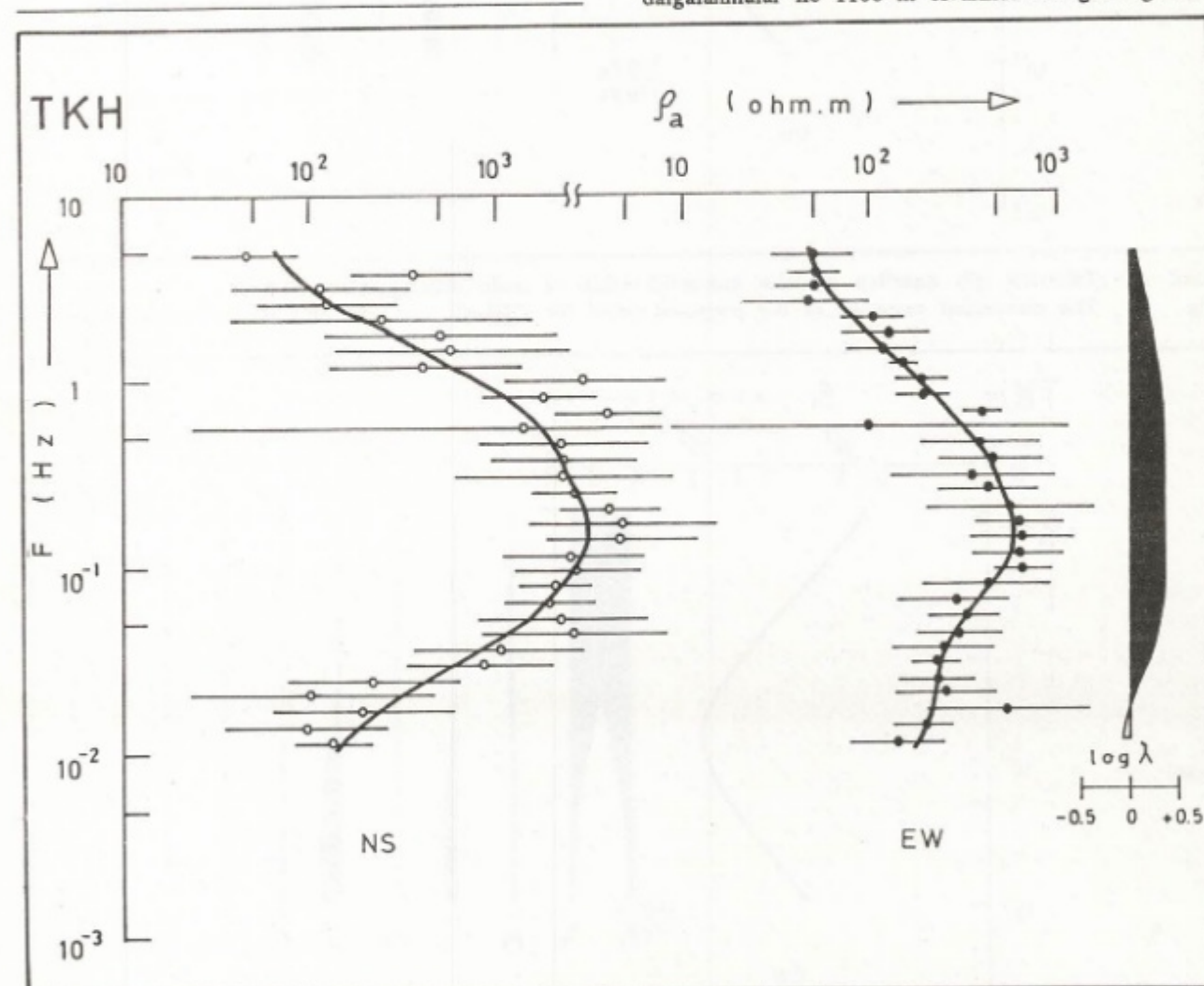
Şekil 2 ve 3 de ise bu modellerin manyetotelürk tepkisi ve yanında Δ matrisinin çizilmiş biçimde süntenleri görülmektedir. Ters çözümlemede "eksi" değişkenler hesaplamamak için ve özellikle özdirenç ölçümlemeinde doğal ölçek logaritmik olduğundan değişkenler ($\rho_j = \log \rho_j$ ve $t_j = \log t_j$) alınmıştır. Bu matris ölçülen -veya ölçülmesi beklenen- görünür özdirenç değerinin herbir değişkene ne kadar duyarlı olduğunu göstermektedir.

Görünün özdirenç değerlerine dayanan Δ duyarlık matrisine tekil değer ayırmı (SVD) uygulandıktan sonra elde edilen λ_j ($j = 1, m$) tekil değerler ve bunlara karşı gelen \mathbf{V}_j değişken özvektörleri kuzey-güney yönlü ölçümler için Şekil 4 te ve doğu-batı yönlü ölçümler için Şekil 5 te verilmektedir. Şekil 4 de görülen ilk vektörün değerleri en büyük tekil değer ($\lambda_1 = 29$) için değişken uzayında yönelimin hangi model değişkenlerine bağlı olduğunu belirtir. Yani en iyi saptanabilecek karmaşık değişken

Çizelge 1. Trakya'da TKH noktasında yapılan manyetotelürik ölçüm'lere dayanarak saptanan yerkabuğu modelli (İlkışık, 1980'den)

Table 1. The earth's crust model which is based on the magnetotelluric measurements on site TKH, Thrace (after İlkışık 1980).

TKH-NS ρ (ohm-m)	(kuzeygüney) t(km)	TKH-EW ρ (ohm-m)	(doğu-batı) t(km)
180	1	60	1.2
9000	20	4000	15
15000	28	10000	24
2	2	1.1	0.5
20		10	

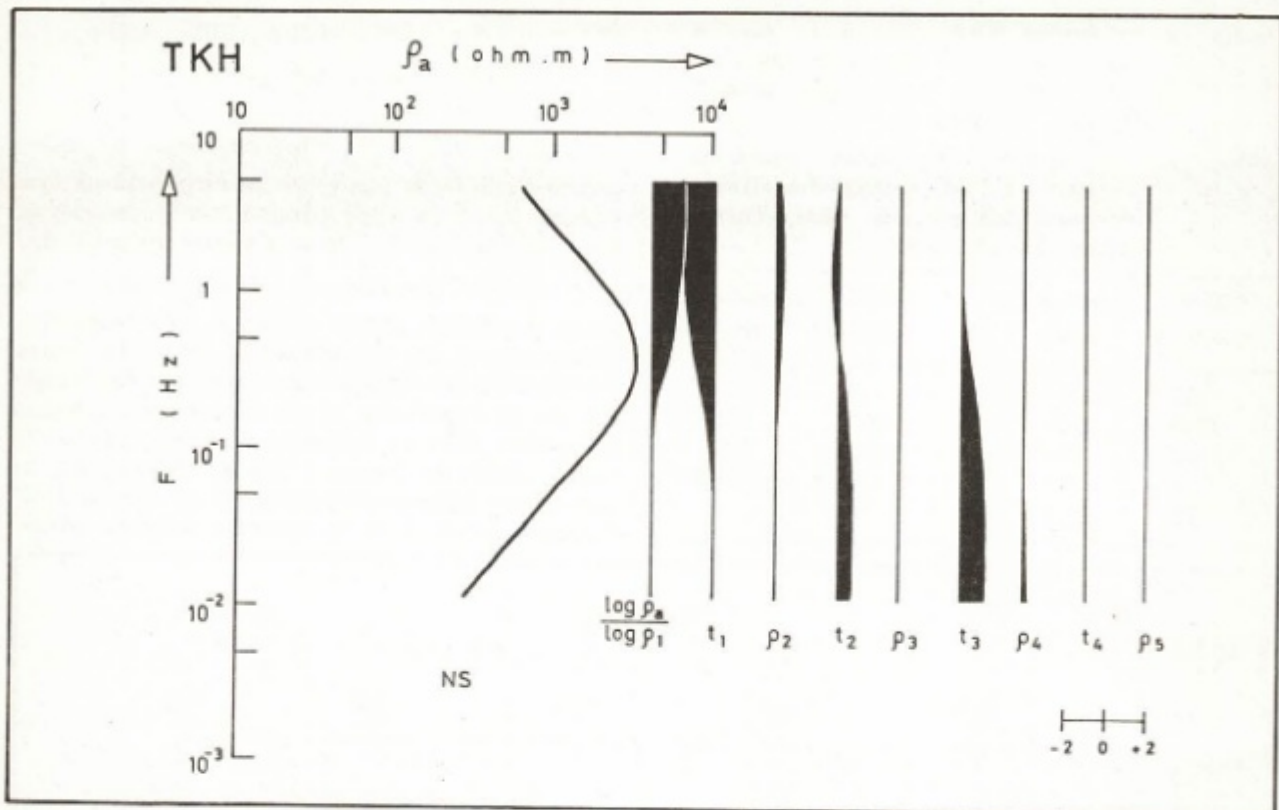


Şekil 1. Trakya'da TKH noktasında manyetotelürik yöntemle ölçülen görünür özdirenç verileri (NS, Kuzey-güney; EW, doğu-batı). Artan frekanslar daha sık bilgiler verir. Verilerin standart sapması çubukları ile gösterilmiştir.

Fig. 1. The measured apparent resistivity data by magnetotelluric method in TKH site, Thrace (NS, north-south; EW, east-west). Increasing frequencies gives shallower information. The standart deviation of data are illustrated by solid lines.

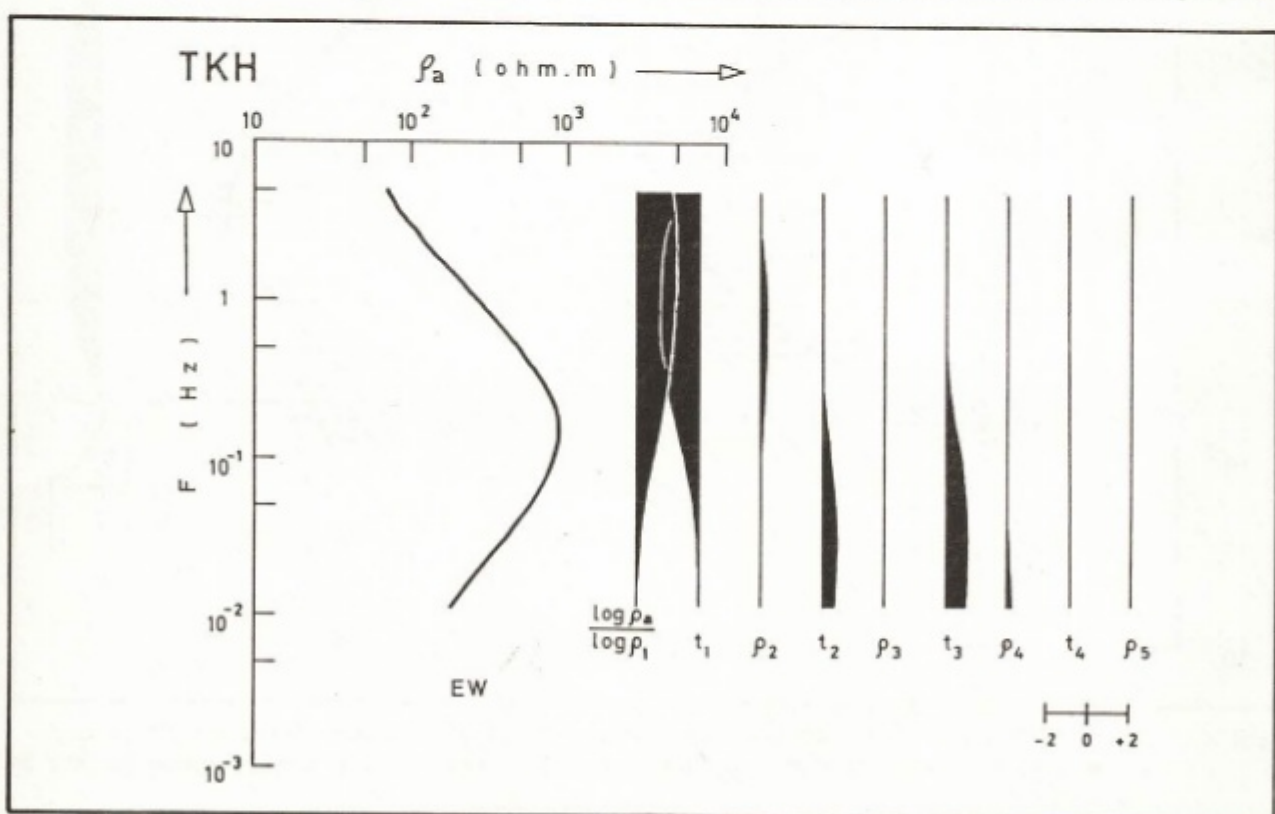
$$\begin{aligned}\rho^* \cdot 1 &= -0.75 \rho_1 + 0.65 t_1 - 0.10 \rho_2 - 0.01 t_2 - 0.01 \rho_3 \\ &\quad - 0.03 t_3 - 0.00 \rho_4 + 0.00 t_4 - 0.00 \rho_5\end{aligned}$$

olup büyük orada ρ_1 ve t_1 e bağlıdır. Benzeri bir gözlem Şekil 5 üzerinde de yapılabılır. Bunların yaklaşık aynı şiddette ancak ters yönde etkimesi önerilen modelin en önemli değişkeninin üst katmanın toplam iletkenliği (t_1 / ρ_1) olduğunu göstermektedir. Birbirine dik yönlerde yüksek frekanslarda görünür özdirençin fazla değişmediği dikkate alırsak, iki ayrı modelde 1 ve 1.2 km olarak önerilen kalınlığın oldukça doğru olması gereklidir. Aradaki 0.2 km lik küçük fark büyük olasılıkla üst katmanın tabanındaki eğimden kaynaklanmaktadır. Yakınlarındaki sondaj verileri üst katmanın ince bir Oligosen kili ile altta Eosen kalkerinden oluştuğunu ve tabanın hafif dalgalanmalar ile 1100 m civarında olduğunu göster-



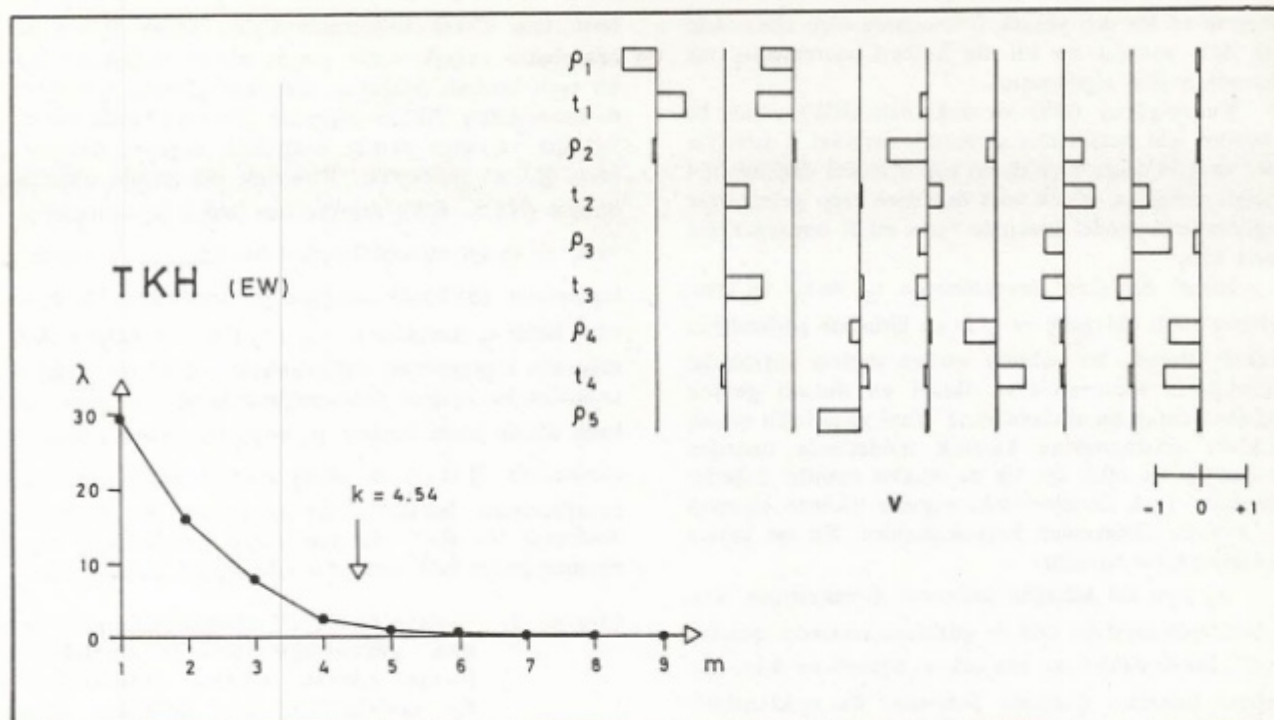
Şekil 2. TKH-NS için önerilen modelin kuramsal tepkisi ve model değişkenlerinin etkileri.

Fig. 2. The theoretical response of the proposed model for TKH-NS case and the effects of model parameters.



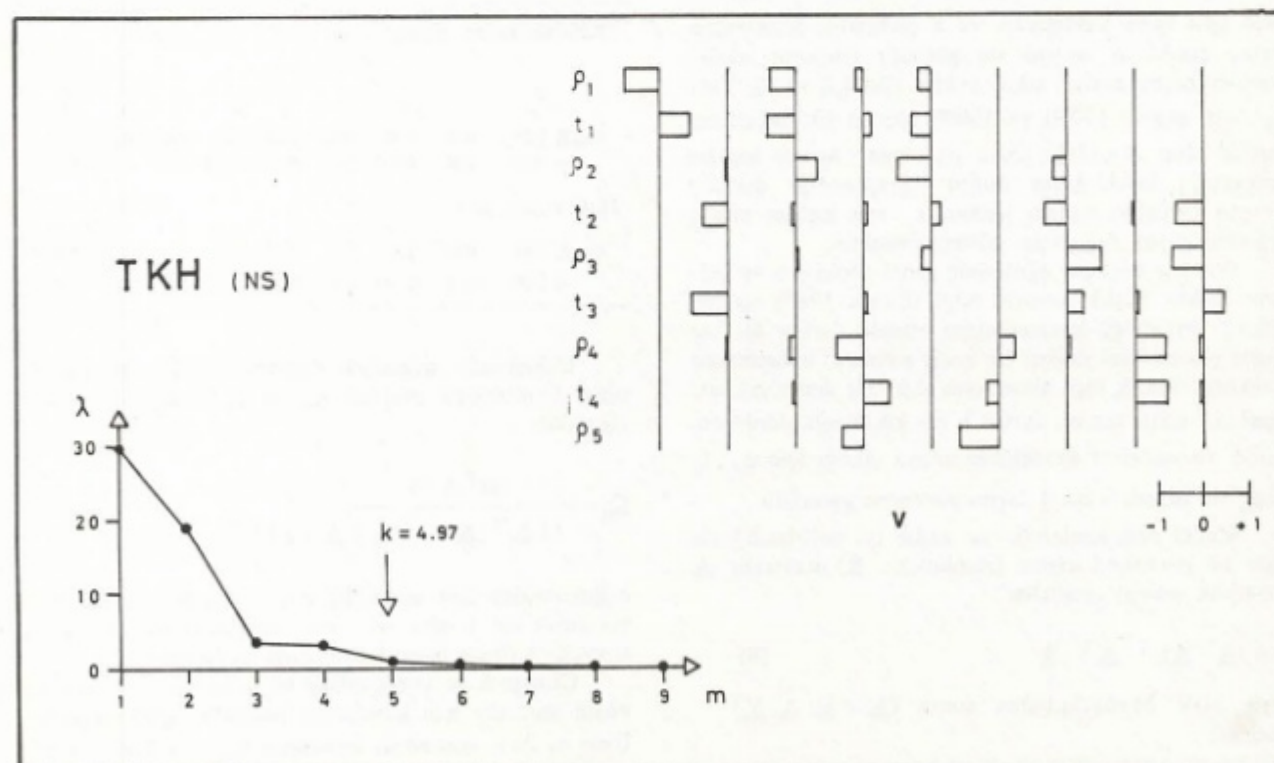
Şekil 3. TKH-EW için önerilen modelin kuramsal tepkisi ve model değişkenlerinin etkileri.

Fig. 3. The theoretical response of the proposed model for TKH-EW case and the effects of model parameters.



Şekil 4. TKH-NS için tekil değer ayırmı -SVD analizi sonuçları. Değişken özvektörleri (V - açık dikdörtgenler), tekil değerlerin azalma sırasıyla verilmiştir, k serbestlik derecesi sayısıdır, (daha fazla açıklama için metne bakınız).

Fig. 4. The result of singular value decomposition - SVD analysis of case TKH-NS. The parameter eigenvectors (V - open rectangles) are given in decreasing singular value λ_j order, k is the number of degrees of freedom, (see the text for more explanation).



Şekil 5. TKH-EW için tekil değer ayırmı - SVD analizi sonuçları (açıklama için Şekil 4'e bakınız).

Fig. 5. The result of singular value decomposition - SVD analysis of case TKH-EW (see figure 4 for explanation).

mektedir (5 Hz den yüksek frekanslarda ölçü alınmadığı için MT yöntem bu kıl ile kalkeri ayıramamış tek katmanmış gibi algılamıştır).

Kuzey-güney (NS) ve doğu-batı (EW) yönlü bu modeller için hesaplanan serbestlik derecesi k sırasıyla 4.97 ve 4.54 olup, 4 ya da en çok 5 model değişkeninin önemli olduğuna, küçük tekil değerlerle karşı gelen diğer değişkenlerin model üzerinde fazla etkili olmayacağına işaret eder.

İkinci değişken özvektöründe t_2 ve t_3 ün aynı şiddette etkili olduğunu ve t_1 in de birincide gözlemediğini dikkate alırsak, bu noktada verilen toplam yerkabuğu kalınlığının saptanabilecek ikinci en önemli gerçek değişken olduğunu söyleyebiliriz. Yani yöne bağlı olarak farklılık göstermesine karşılık modellerde önerilen toplam 49 ve 40.2 km lik derinlikler inanılır değerler olmalıdır. Fark derinlerindeki yapının tekdüze olmayıp iki boyutlu olmasından kaynaklanabilir. Bu ise ayrıca incelenenek bir konudur.

ρ_2 yani üst kabuğun özdirenci Δ matrisinde orta frekanslarda zayıf bir etki ile gözlenemektedir (Şekil 2 ve 3). Bu özellikler ρ_2 nin çok az üçüncü ve daha çok beşinci özvektör üzerinde belirmesi ile açıklanabilir (Şekil 4 ve 5). Çünkü tekil değerler artık çok küçülmüş sıfır doğru yaklaşmaktadır. Bunun fiziksel anlamı ise giriş modelinde sırasıyla 9000 ve 4000 ohm-m olarak verilen üstkabuğun özdirenci yaklaşık olarak doğrudur.

Buna karşın modeller alt kabuğa ilişkin olarak önerilen ρ_3 ancak yedinci, sekizinci ve dokuzuncu özvektörlerde (Şekil 4 ve 5) yer almaktadır ki, ilgili λ_j değerlerinin sıfır iyice yaklaşması ve k serbestlik derecesinin dışına çıkılması nedeni ile görünür özdirenç eğrisi üzerinde hiçbir önemli etkisi yoktur (Şekil 2 ve 3). Yani ρ_3 için atanın 15000 ve 10000 ohm-m lik değerlerin gerçek olup olmadığı iddia edilemez. Ancak toplam yerkabuğu kalınlığının doğru hesaplandığı dikkate alınırsa modelde toplam iletkenlik veya toplam direnç değerleri büyük değişimler göstermeyecektir.

Görünür özdirenç eğrilerinin genel görüntümü ve bölgeye ilişkin birçok jeolojik bilgi (İlkışık 1980) direnci yüksek yerkabuğu katmanlarının altında iletken bir üst manto (en azından iletken bir geçiş katmanı) bulunmasını gerektirir. Ancak ölçü alınamayan 0.01 Hz den alçak frekanslarda etkili olması, ayrıca λ nin küçüldüğü dördüncü, altıncı ve sekizinci özvektörde ortaya çıktıığı için ρ_4 , t_4 ve ρ_5 in değerleri ancak biçim yönünden geçerlidir.

Model değişkenlerinin ne kadar iyi belirlendiğinin diğer bir göstergesi ayırım (resolution - R) matrisidir. Δ duyarlılık matrisi cinsinden

$$R = (\Delta^T \Delta)^{-1} \cdot \Delta^T \cdot \Delta \quad (8)$$

veya SDV dönüşümünden sonra ($\Delta = U \Delta' V^T$ yazarak)

$$R = V \cdot V^T \quad (9)$$

olarak tarif edilen bu matris $R = I$ durumunda değişken-

lerin tam olarak belirlenebildiğini, ancak $R \neq I$ ise hesaplanan değişkenlerin gerçek model değişkenlerinin bir çeşit ağırlıklı ortalaması olduğunu gösterir. Çizelge 2 de kuzey-güney (NS) ve doğu-batı (EW) yönlündeki modeller için saptanan ayırım matrisinin köşegen değerleri (diag R) görülmektedir. Birbirine dik yönde olmakla birlikte (NS ve EW), değişkenlere ilişkin bu sonuçlar ρ_1 ve t_1 in en iyi bulunabileceğini özellikle ρ_1 in standart sapmanın (σ) küçük olduğunu göstermektedir. Bir dereceye kadar t_3 (gerçekte $t_1 + t_2 + t_3$) ρ_2 ile birlikte orta derecede saptanabilen değişkenlerdir. Bunların standart sapmaları ise aşağıda deagineceğimiz korelasyon matrisine bağlı olarak önem kazanır. ρ_3 ve ρ_4 ise hiçe iyi belirlenmemiştir. $R(\rho_5)$ in yüksek çıkması nedeniyle doğru hesaplanması beklenen üst mantonun üst kısmının özdirenci ise 0.01 Hz den alçak frekanslarda ölçü alınmadığından belli sınırlar içinde şüpheli bir değerdir.

Çizelge 2. Trakya'da TKH noktasında saptanan yerkabuğu modeli değişkenlerine ilişkin ayırım (resolution-R) matrisi ve her değişken için hesaplanan standart sapmalar (σ).

Table 2. The resolution matrix which is related to the parameters of the earth's crust model on site TKH, Thrace; and the calculated standart deviations (σ) for each variable.

TKH-NS (kuzey-güney)

	ρ_1	t_1	ρ_2	t_2	ρ_3	t_3	ρ_4	t_4	ρ_5
diag R	0.95	0.91	0.68	0.38	0.06	0.68	0.45	0.36	0.51
σ	0.001	0.24	0.003	0.05	0.07	0.003	0.08	0.001	0.21

TKH-EW (doğu-batı)

	ρ_1	t_1	ρ_2	t_2	ρ_3	t_3	ρ_4	t_4	ρ_5
diag R	0.99	0.98	0.37	0.34	0.02	0.74	0.16	0.14	0.80
σ	0.001	0.18	0.004	0.01	0.02	10^{-4}	0.12	10^{-5}	0.25

Değişkenler arasındaki doğrusal ilişkinin bir ölçüsü olan korelasyon matrisi C ise Δ duyarlılık matrisi cinsinden

$$C_{ij} = \frac{(\Delta^T \Delta)_{ij}}{\sqrt{(\Delta^T \Delta)_{ii} (\Delta^T \Delta)_{jj}}} \quad (10)$$

bağıntısından elde edilir. Eğer C ij nin bir elamanı ± 1 civarında ise i inci ve j inci değişkenlerin birbiri ile kuvvetli biçimde bağımlı olduğunu gösterir.

Çizelge 3 de kuzey-güney ve doğu-batı (NS ve EW) yönlü modeller için korelasyon matrisleri görülmektedir. Üstte ρ_1 ile t_1 arasındaki katsayının $C_{61} = + 0.96$ çıkması bu model için t_1/ρ_1 yani toplam iletkenliğin en önemli olduğunu göstermektedir. ρ_3 ile t_3 arasındaki katsayı ise

$C_{33} = -0.75$ alt kabuğun modellenmesi açısından sadece $P_3 t_3$ yani toplam direncin önemli olduğunu belirtir.

Değişkenlerin korelasyonları ve değişkenlerin standart hataları arasında da bazı ilişkiler vardır (Inman 1975). Eğer Σ_{ij} nin elemanları küçükse hesaplanan hatalara inanılabilir. Yok eğer iki değişken yüksek bir korelasyon katsayısı gösteriyorsa ($\approx \pm 1$) gerçek hata sınırları hesaplanandan daha büyük olabilir.

Çizelge 3. Korelasyon Matrisleri

Table 3. The correlations matrices.

TKH - NS (Kuzey-güney yönlü veriler için)

	P_1	P_2	P_3	P_4	P_5	t_1	t_2	t_3	t_4
P_1	1.00								
P_2	0.70	1.00							
P_3	-0.26	-0.83	1.00						
P_4	0.25	0.83	-0.99	1.00					
P_5	-0.21	-0.64	0.80	-0.80	1.00				
t_1	0.96	0.82	-0.44	0.43	-0.35	1.00			
t_2	0.16	0.19	-0.16	0.17	-0.21	0.21	1.00		
t_3	0.54	0.87	-0.75	0.75	-0.54	0.63	-0.20	1.00	
t_4	-0.08	-0.16	0.40	-0.36	0.38	-0.12	-0.20	-0.07	1.00

TKH - EW (Doğu-batı yönlü veriler için)

	P_1								
P_2	0.24	1.00							
P_3	-0.15	-0.96	1.00						
P_4	0.13	0.99	-0.96	1.00					
P_5	-0.13	-0.98	0.95	-0.99	1.00				
t_1	0.50	0.64	-0.61	0.58	-0.57	1.00			
t_2	-0.02	0.65	-0.67	0.65	-0.64	0.67	1.00		
t_3	0.14	-0.25	0.29	-0.25	0.24	-0.62	-0.84	1.00	
t_4	-0.05	-0.52	0.44	-0.55	0.51	-0.34	-0.40	0.19	1.00

SONUÇLAR

Jeofizikte ters çözümleme sonuçları gerçekte aranan modeli değil, değişkenlerin başlangıçta önerilen modele etkisini saptar. Değişkenler ile gözlemler arasındaki ilişkileri belirliyen duyarlık matrisine tekil değer ayırmayı

(SVD) uygulanması, değişkenlerarası bağımlılık açısından önemli bilgiler sağlar. Bu analiz ölçülmüş, verilerden bir modelin sağlıklı saptanması için yapılabileceği gibi, planlanan araştırmalarda hangi sınırlar içinde hangi bilgilerin elde edilebileceğini hesaplamasına da yarar.

Bir örnek olarak, Traya'da TKH noktasında manyetotellürık yönteme saptanan yerkabuğu modelinin değişkenlerinin ne derece geçerli olabileceği bu yöntemle irdelenmiştir. Buna göre üstteki tortul katmana ait özdirenç ve kalınlık değerleri, ayrıca yerkabığının toplam kalınlığına ilişkin değerler doğru olmalıdır. Yerkabığını oluşturan yüksek dirençli kayaçlara ait özdireç değerleri ise biraz hatalı olabilir. Kabuk tabanında varlığı görünür özdirenç eğrisinden gözlenen katman(lar) için önerilen özdirenç ve kalınlık değerleri ise yüksek bir belirsizlik taşımaktadır.

Jeofizikte, özellikle jeoelektrik uygulamalarda model değişkenleri arasında kuvvetli bağımlılık gözlenen durumlarda verilere kabaca uyan bir model geometrisini vermek yerine (örneğin Schlumberger yöntemi ile ölçülmüş verilerin bir dizi grafik yardımcı ile modellenmesi gibi), model değişkenleri arasındaki ilişkinin de açıkça belirlenmesi yorumcuya -gerçek jeolojik olay açısından- yeni görüşler kazandıracaktır.

KAYNAKLAR

- Golub, G.H. and Reinsch, C. 1970, Singular value decomposition and Least squares solutions, Numerical Mathematics 13, 403-420.
- Inman, J.R. 1975, resistivity Inversion with ridge regression, Geophysics 40, 798-817.
- Ilkışık, O.M. 1980, Trakya'da yerkabığının manyetotellürİK yönteme incelenmesi, Doktora Tezi, İ.T.U. Maden Fak., İstanbul.
- Ilkışık, O.M. and Jones, A.G. 1984, Statical evaluation of MT and AMT methods applied to a basalt-covered area in Southeastern Anatolia, Turkey. Geophysical Prospecting 32, 706-724.
- Jackson, D.D. 1972, Interpretation of inaccurate, insufficient and inconsistent data, Geophys. J. Roy. Astron. Soc. 28, 97-110.
- Lanczos, C. 1961, Linear Differential Operators. Van Nostrand-Reinhold, Princeton, New Jersey.
- Lawson, C.L. and Hanson, R.J. 1974, Solving Least Squares Problems, Prentice-Hall Inc., New Jersey.
- Menke, W. 1984, Geophysical Data Analysis: Discrete Inverse Theory, Academic Press, Inc., London.
- Pedersen, J. 1979, Least squares inversion of one dimensional magnetotelluric data; an assessment of procedures employed by Brown University, Tech. Rep. Dept. of Geol. Sci., Brown University, Rhode Island.
- Wiggins, R.A. 1972, The general linear inverse problem. Implication of surface waves and free oscillations for Earth structure, Rev. Geophys. Space Phys. 10, 251-285.

DOĞRULTUSU BOYUNCA SONSUZA UZANAN EĞİMLİ BİR LEVHA (DAMAR) TİPİ YATAĞIN DOĞAL GERİLİM BELİRTİSİNİN EĞRİLER TAKIMI (NOMOGRAM) VE GRAFİKSEL BİR YÖNTEMLE DEĞERLENDİRİLMESİ

Interpretation of the Self-Potential Anomaly Over an Inclined Sheet-like Body of Infinite Extension by Using the Nomogram and a Graphical Method

İbrahim ONUR*

ÖZET

Bu çalışmada, Sürmene-Kutlular (Trabzon) bakır madeni alanında gözlenen doğal gerilim eğrisi (YG) sayısal kayan ortalama yöntemi ile düzgünlenmiştir. Kutlular alanındaki mineralizasyonun yataya yakın uzanumda pirit ve kalkopirit damarları ile karakterize olduğu gözönüne alınarak, düzgünlenmiş YG belirtisinin değerlendirilmesi için sonsuz yatay uzanımlı eğimli bir levha (damar) modeli seçilmiştir.

Iki-boyutlu damar tipi yapıların doğal gerilim belirtilerinin değerlendirilmesi için sunulan eğri takımlarından (nomogram) ve matematiksel bağıntılarından yararlanarak model parametreleri (damarın derinliği, uçlaşma açısı ve genişliği) saptanmıştır. Bu parametreler ayrıca grafiksel bir yöntem kullanarak da hesaplanmış ve tüm sonuçlar karşılaştırılmıştır.

ABSTRACT

In this study, the Self-Potential (SP) curve observed at the site of a copper mine in Sürmene-Kutlular (Trabzon) area has been smoothed by using the numerical solving average value method. In order to evaluate the smoothed SP anomaly, an inclined sheet model of infinite horizontal extent has been selected since the mineralization in Kutlular area is characterized by the vein-type sulphide bodies having near-horizontal range.

The model parameters (depth, polarization angle and width of the sheet) have been estimated by using the curve sets (nomogram) and the mathematical formulas which are presented for interpreting SP anomalies over two-dimensional ore deposits such as an inclined sheet. In addition, this model parameters have also been determined by employing an graphical method and, finally, all the results have been compared.

GİRİŞ

Iki-boyutlu yapılar üzerinde gözlenen doğal gerilim belirtilerinin değerlendirilmesinde genellikle doğrultusu boyunca sonsuza uzanlığı kabul edilen levha (damar) veya silindir biçimli modeller gözönüne alınır. Bu tip modeller üzerindeki doğal gerilim belirtilerinin değerlendirilmesi için ayrı yazarlar tarafından çeşitli çözüm teknikleri önerilmiştir (Weisser 1962, Paul 1965, Bhattacharya ve Roy 1981, Rao ve Babu 1983, Murty ve Haricharan 1985, Babu ve Rao 1988).

Çalışmada, iki boyutlu ve eğimli damar tipi yapıların konumunun kolay ve hızlı bir şekilde saptanmasını sağlayan eğriler takımı (nomogram) yöntemi (Murty ve Haricharan 1985) ile grafiksel bir yöntem (Babu ve Rao 1988) esas alınmıştır. Bu yöntemler Sürmene-Kutlular (Trabzon) bakır madeni alanında gözlenen doğal gerilim belirtisine uygulanarak seçilen sonsuz yatay uzanımlı damar tipi modelin derinliğinin, genişliğinin ve uçlaşma açısının elde edilmesine çalışılmıştır.

Yöntemlerin gözönüne alınan modele uygulanabilmesi için yığınsal gerilim (YG) eğrisinin bir maksimum

* H.Ü., Zonguldak Müh. Fak., Maden Müh. Böl.- Zonguldak

ve minimum yapması gerekmektedir. Ideal YG eğrisinde, maksimum ve minimum noktalarının yatay eksen üzerindeki izdüşüm noktaları sıfır gerilim noktasına göre eşit uzaklıktadır. Ancak, arazide gözlenen YG eğrisi, sığ ve derindeki doğal gerilim yaratabilen kaynakların etkilerini içерdiğinden genellikle ideal koşulu taşımaz. Bu nedenle, YG eğrisinin düzgünlenerek bozucu etkilerden arındırılması ve yeni bir sıfır gerilim düzeyinin belirlenmesi gereklidir (Murty ve Haricharan 1985). Türev (T) eğrisi, doğal gerilim ölçülerinin yiğildiği başlangıç parçasında önce bir çukurluk ya da bir tepecik yapar. Başlangıç parçasındaki sonuçlar tam anlamıyla tümlemeye (integration) yaklaşmadığından belli bir yanılılığı içereceği kuşkusuzdur. Bu nedenle, türev eğrisinin ilk çukur ya da ilk tepeye ulaşıcaya kadar olan parçasına önem verilmemeli ve sıfır gerilim düzeyi olarak ilk çukurun dibi ya da ilk tepenin doruğu alınmalıdır (Ercan 1982).

EĞRİLER TAKIMI (NOMOGRAM) YÖNTEMİ VE SONUÇLARI

Yöntemin kullanımı için öncelikle doğal gerilim eğrisi düzgünlenir. Çalışmada, Tanış (1986) çalışmasında alınan doğal gerilim eğrisi kayan ortalama ile yuvarlatıl-

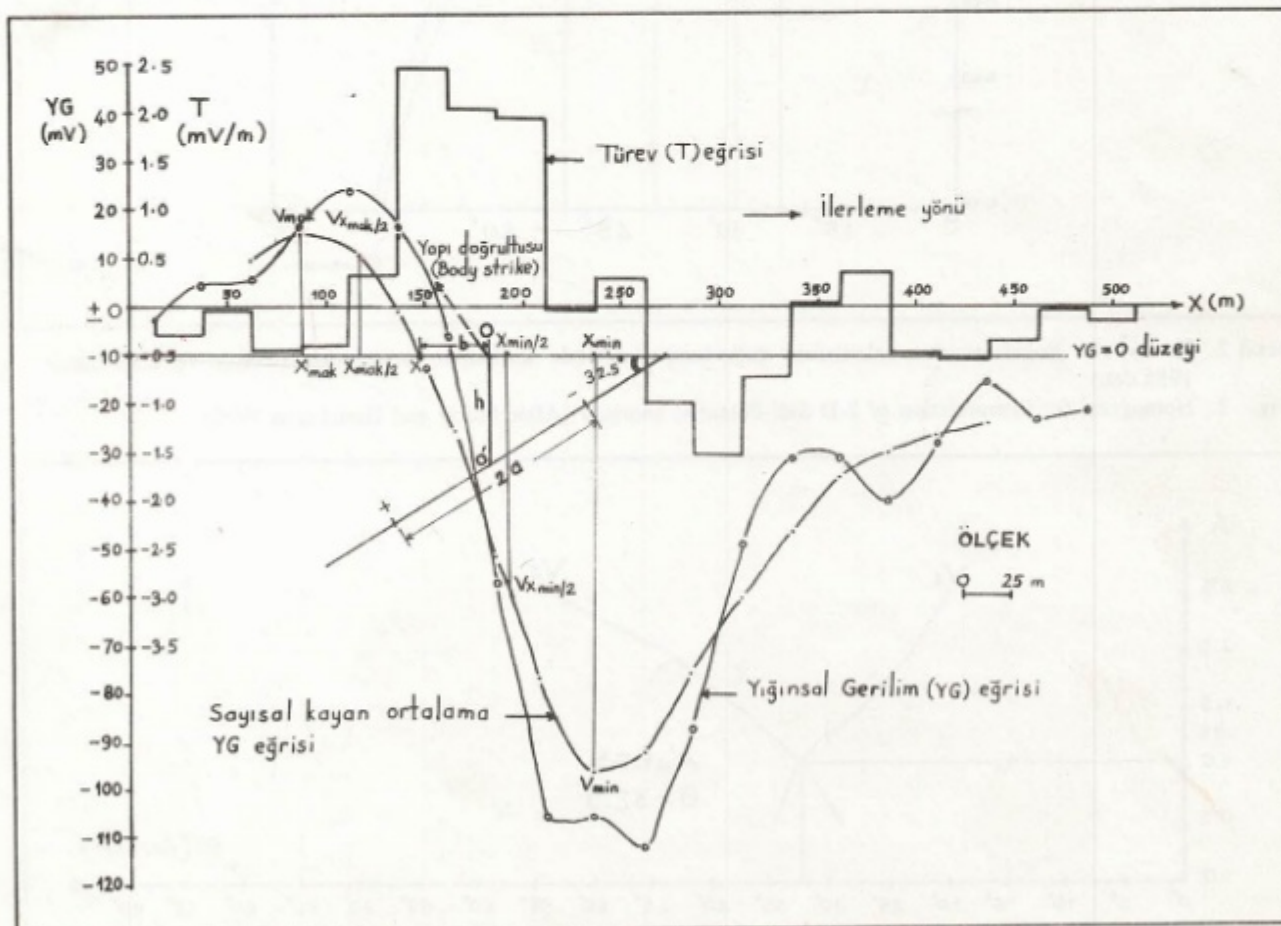
mıştır. Sonra, sıfır gerilim düzeyi ($YG = 0$) çizilerek düzgünlenmiş YG eğrisi kestirilir. Kesim noktası X_0 ve diğer karakteristik noktalar X_{mak} , $X_{\text{mak}/2}$, X_{min} ve $X_{\text{min}/2}$ belirlenir (Şekil 1). Bu noktalara karşılık gelen V_{mak} , $V_{\text{mak}/2}$, V_{min} ve $V_{\text{min}/2}$ gerilim değerleri $YG = 0$ düzeyi esas alılarak düzgünlenmiş YG eğrisinden okunur. $V_1 = |V_{\text{mak}}| / V_{\text{min}}$ ve $V_2 = |V_{\text{mak}/2}| / V_{\text{min}/2}|$ oran değerleri saptanır. Şekil 2'de gösterilen V_1 ve V_2 eğri takımları (nomogram) saptanan V_1 ve V_2 değerlerine göre kestirilir. Kesim noktalarına ($A = a/h$) karşılık gelen uçaşma açıları (θ) nomogramdan okunur. A değerleri düşey eksen, θ değerleri yatay eksen üzerinde olmak üzere V_1 ve V_2 grafikleri çizilir (Şekil 3). Bu iki eğrinin kesim noktasından A ve modelin uçaşma açısı θ saptanır.

Modelin merkezine olan derinlik, modelin yarı genişliği ve X_0 noktasından merkeze yatay uzaklığı sırasıyla,

$$h = (|X_{\text{min}} - X_0|) / (1/\cos^2\theta + A^2)^{1/2} \quad (1)$$

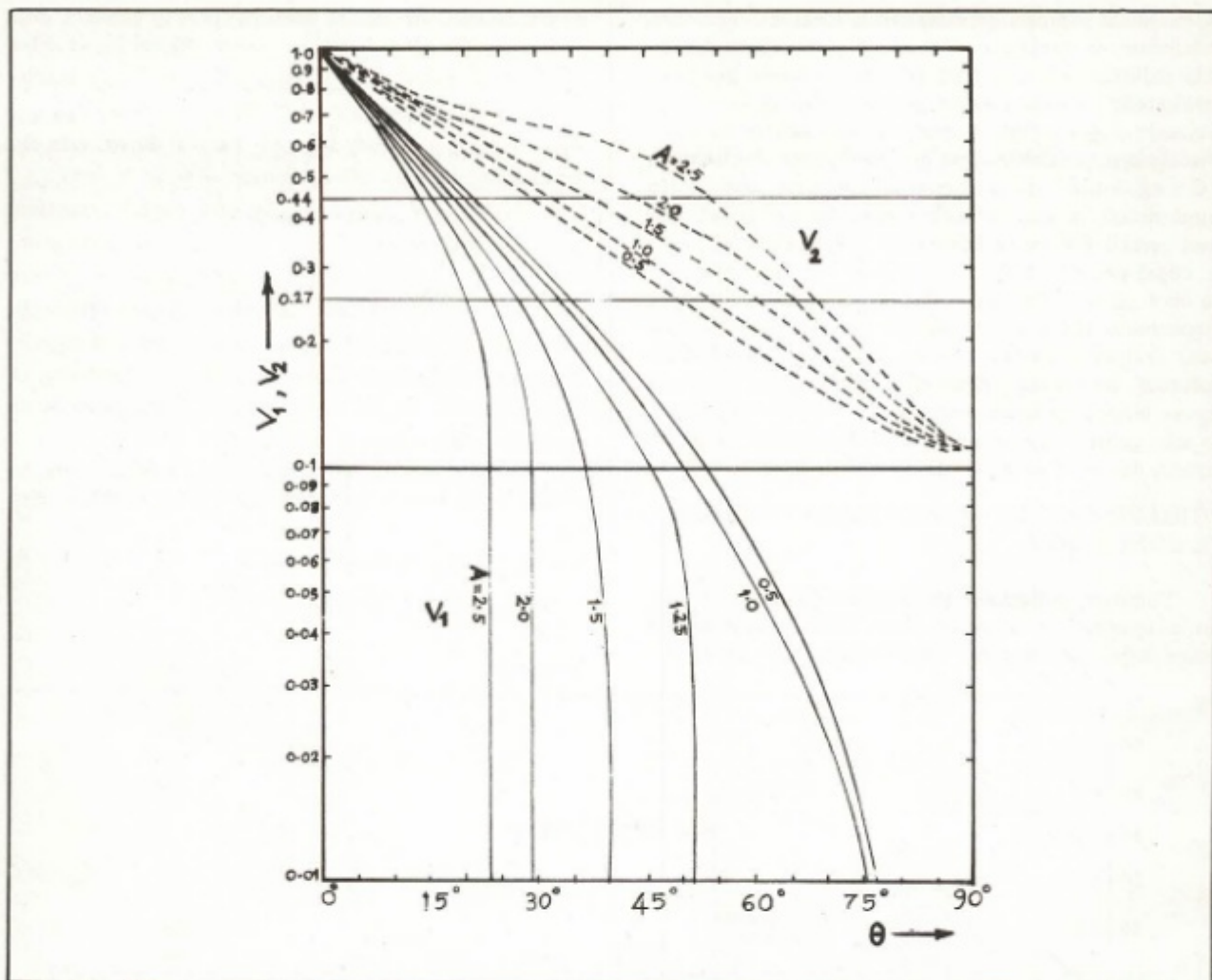
$$= (|X_{\text{mak}} - X_0|) / (1/\cos^2\theta + A^2)^{1/2} \quad (2)$$

$$a = Ah \quad (3)$$



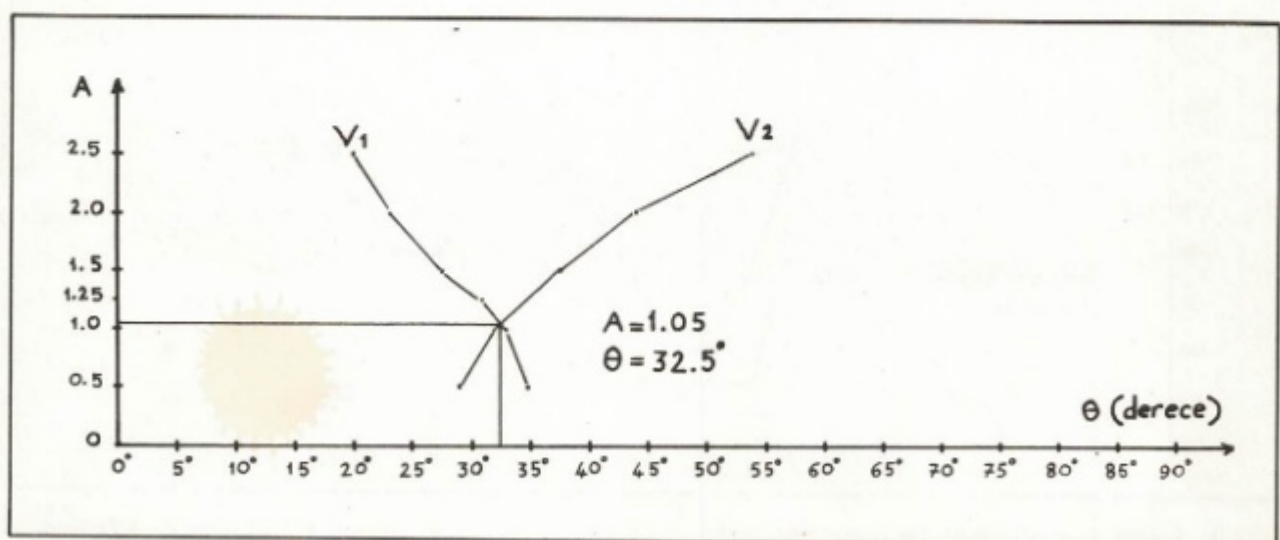
Şekil 1. Sonsuz uzanımlı eğimli bir damar tipi yapının doğal gerilim belirtisi ve nomogram kullanımı ile değerlendirilmesi.

Fig. 1. Self-Potential anomaly over an inclined sheet-like body of infinite extent and its interpretation using the nomogram.



Şekil 2. İki-boyutlu doğal gerilim belirtisinin değerlendirilmesinde kullanılan nomogram (Murty ve Haricharan 1985'den).

Fig. 2. Nomogram for interpretation of 2-D Self-Potential anomaly (After Murty and Haricharan 1985).



Şekil 3. Uçlaşma açısı θ ve A'nın saptanması.

Fig. 3. Determination of the polarization angle θ and A.

eşitliklerinden bulunur (Murty ve Haricharan 1985).

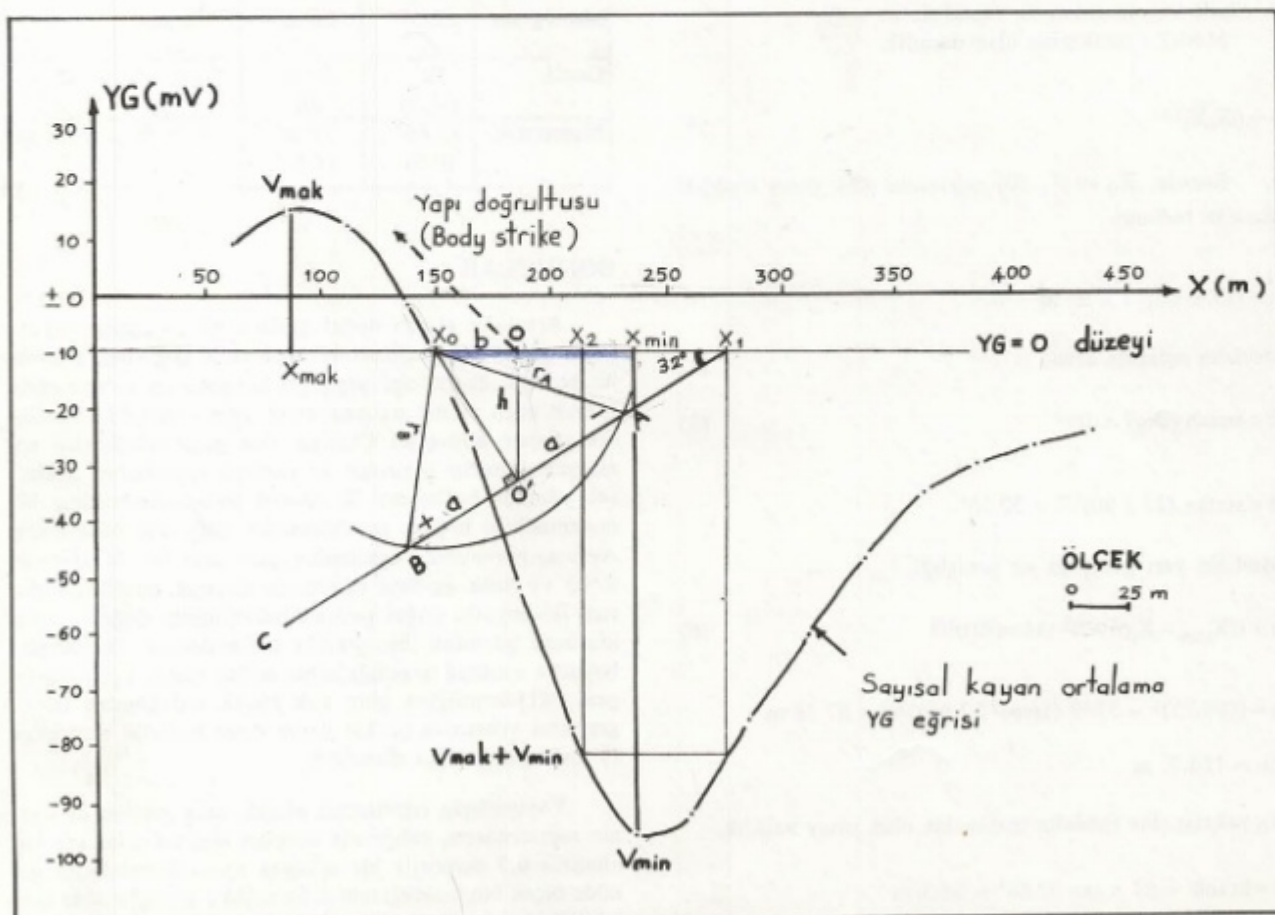
(0) noktası, X_0 'dan en büyük pike doğru alınan b_{yatay} uzaklıguna göre işaretlenir. (0) noktasından inilen dikmenin h derinliğindeki yeri modelin merkezini (0' noktasını) verir (Şekil 1). Elde edilen parametrelere göre, model Şekil 1'de görüldüğü gibi yerleştirilir. Yükselik gerilim eğrisinin Şekil 1'de görülenin tersine olması durumunda u_çlaşma açısının X_0 'ın diğer yanından alınması gerektiğini belirtelim. Aşağıda yöntemin uygulama sonuçları verilmiştir.

Şekil 3'te görüldüğü gibi A = 1.05 ve $\theta = 32.5^\circ$, model merkezine olan derinlik, $h = 88.75 / (1/0.7113 + 1.1025)^{1/2} = 56$ m modelin yarı genişliği ve genişliği, $a = 1.05 \times 56 = 58$ m ve $2a = 116$ m X_0 noktasından modelin merkezine olan yatay uzaklık, $b = 56 \times \tan 32.5^\circ = 35.6$ m olarak bulunur.

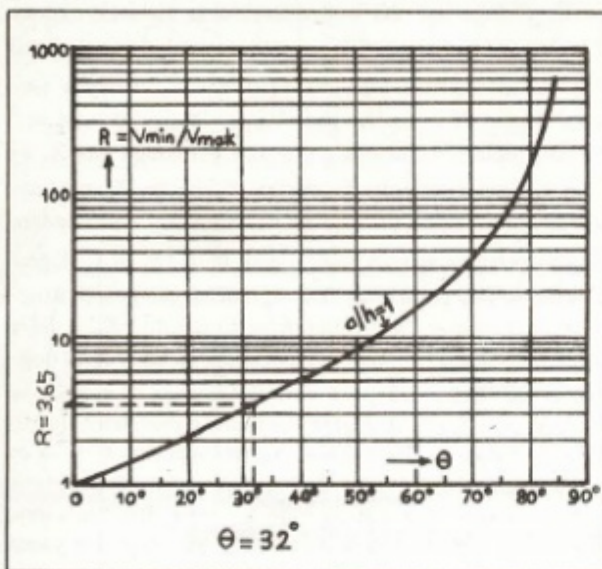
GRAFİKSEL YÖNTEM VE SONUÇLARI

Yöntemin kullanımı için Şekil 1'de verilen düzgünlenmiş YG eğrisi gözönüne alınmıştır. Bu yöntemde de eğriler takımı (nomogram) yönteminde olduğu gibi YG = 0 düzeyi düzgünlenmiş YG eğrisini kestirilerek X_0 , X_{mak} ve X_{min} noktaları belirlenir (Şekil 4). Önce, V_{mak}

ve V_{min} değerleri $YG = 0$ düzeyi esas alınarak okunur. $R = |V_{\text{min}} / V_{\text{mak}}| (84/23 = 3.65)$ oranı bulunarak Şekil 5'te verilen eğriden u_çlaşma açısı $\theta (32^\circ)$ kolayca saptanır. Sonra, X ekseni_{ne} göre $V_{\text{mak}} + V_{\text{min}}$ ($13 - 94 = -81$ mV) toplamı bulunarak Şekil 4'de görüldüğü gibi X_1 ve X_2 noktaları işaretlenir. X_2 noktası X_1 'e göre, X_0 noktasına her zaman daha yakın olan noktadır. X_1 noktasından, okunan u_çlaşma açısına bağlı olarak ($\theta = 32^\circ$) X_1C doğrusu çizilir. Düzgünlenmiş YG eğrisinin çalışmada sunulanın tersi olması durumunda u_çlaşma açısının X_0 'nın diğer yanından alınacağını belirtelim X_0 noktasından X_1C doğrusuna bir dikme çizilerek modelin merkez 0' noktası ve bu noktanın $YG = 0$ düzeyi üzerindeki izdüşümü ile (0) noktası bulunur. (0) noktası X_0 noktasından $b = 35$ m yatay uzaklıktadır. 0'0 dikmesinin boyu doğrudan madelenin merkezine olan derinliği ($h = 56$ m) verir. Bundan sonra, X_0 noktası merkez olmak üzere X_{min} yarı çaplı bir yarı daire çizilir. Çizilen daire X_1C doğrusunu modelin kenarları olan A ve B noktalarında keser. A ve B noktaları arasındaki uzaklıktan modelin genişliği ($2a = 112.5$ m ve $a = 56.25$ m) kolayca bulunur. Şekil 4'den görüldüğü gibi A ve B noktalarını X_0 'a birleştiren doğrular r_A ve r_B birbirine eşit olur.



Şekil 4. Doğal gerilim belirtisinin grafiksel bir yöntem kullanılarak değerlendirilmesi.
Fig. 4. Interpretation of the Self-Potential anomaly using a graphical method.



Şekil 5. R nin θ ile değişimi (Babo ve Rao 1988'den).

Fig. 5. The variation of R with θ (After Babu and Rao 1988).

Grafiksel olarak doğrudan bulunan model parametreleri, ayrıca Babu ve Rao (1988) tarafından verilen matematiksel bağıntılardan da saptanabilir.

Modelin merkezine olan derinlik,

$$h = (|X_0 - X_1|)^{1/2} \quad (4)$$

Burada, X_0 ve X_1 (0) noktasına göre yatay uzaklık alınarak bulunur.

$$h = (37 \times 90)^{1/2} = 57 \text{ m}$$

Modelin uçlaşma açısı,

$$\theta = \arctan (|X_0 / X_1|)^{1/2} \quad (5)$$

$$\theta = \arctan (37 / 90)^{1/2} = 32.66^\circ$$

Modelin yarı genişliği ve genişliği,

$$a = ((X_{\min} - X_0)^2 - h^2 (1/\cos^2 \theta))^{1/2} \quad (6)$$

$$a = ((88.75)^2 - 3249 (1/\cos^2 32.66))^{1/2} = 57.38 \text{ m}$$

$$2a = 114.7 \text{ m}$$

X_0 noktasından modelin merkezine olan yatay uzaklık,

$$b = htan\theta = 57 \times \tan 32.66^\circ = 36.5 \text{ m}$$

olarak bulunur. Grafiksel ve matematiksel yoldan elde edilen parametre değerleri yaklaşık uyum içindedir.

SONUÇLARIN KARŞILAŞTIRILMASI

Eğriler takımı (nomogram) ve grafiksel yöntemlerin kullanımı ile tayin edilen model parametrelerinin karşılaştırılabilmesi amacıyla Çizelge 1 düzenlenmiştir.

Nomogram yöntemi sonuçları esas alınarak saptanan maksimum yüzde hataları Çizelge 1'de parantez içinde gösterilmiştir. Grafiksel yöntemin kullanımıyla ve matematiksel yoldan elde edilen sonuçların maksimum yüzde hatasının $\pm 3\%$ ve daha az olduğu bulunmuştur. Bu sonuca göre, saptanan model parametre değerlerinin birbirleriyle yaklaşık uyum içinde olduğu söylenebilir.

Çizelge 1. Nomogram ve grafiksel yöntemlerin kullanımı ile bulunan model parametrelerinin karşılaştırılması

Table 1. Comparison of the model parameters obtained by using the nomogram and the graphical method.

Yöntem	Uçlaşma açısı (θ)	Derinlik (h)	Yarı genişlik (a)	Yatay uzaklık (b)
Monogram	32.5°	56 m	58 m	35.6 m
Grafik	32° (-1.5)	56 m (0)	56.25 m (-3)	35 m (-1.7)
Matematik	32.66° (0.5)	57 m (1.8)	57.38 m (-1.1)	36.5 m (2.5)

SONUÇLAR

Araziden alınan doğal gerilim eğrisi eğriler takımı (nomogram) ve grafiksel bir yöntemle değerlendirilerek, iki boyutlu damar tipi yapıların komununun bulunmasına hizmet eden model parametreleri tayin edilmiştir. Grafiksel yöntem sonuçları Çizelge 1'de gösterildiği gibi nomogram yöntemi sonuçları ile yaklaşık uyumludur. Grafiksel yöntem kullanımı ile model parametreleri hiç bir matematiksel bağıntı gerektirmeden doğrudan bulunabilir. Ayrıca, nomogram yöntemine göre hızlıdır. Maksimum $\pm 3\%$ ve daha az hata gözönünde alınarak, grafiksel yöntem iki-boyutlu doğal gerilim belirtilerinin değerlendirilmesinde güvenilir bir şekilde kullanılabilir. Doğrultusu boyunca sonsuza uzandığı kabul edilen damar tipi modelin genişliği derinliğine göre çok küçük olduğundan ($a \ll h$), grafiksel yöntemde çizilen yarı daire modelin merkezine (0' noktasına) teget olacaktır.

Yöntemlerin sınırlaması olarak, sıfır gerilim düzeyinin saptanmasını, çalışmada sunulan eğri takımlarında hiç olmazsa 0.5 derecelik bir uçlaşma açısı okunabilecek şekilde ölçek büyütüldüğünde daha sağlam sonuçlar elde edilebileceğini, değerlendirme için sık aralıklarla ölçülmüş belirli bir doğal gerilim belirtisinin elde edilmiş olması gerektiğini söyleyebiliriz.

KAYNAKLAR

- Babu H.V. and Rao, D. 1988, A rapid graphical method for the interpretation of the self-potential anomaly over a two-dimensional inclined sheet of finite depth extent, *Geophysics* 53, 1126-1128.
- Bhattacharya, B.B. and Roy, N. 1981, A note on the use of a nomogram for self potential anomalies, *Geophysical Prospecting* 29, 102-107.
- Ercan, A. 1982, *Doğal Uçlaşma Yöntemi*, ITÜ Maden Fakültesi, İstanbul.
- Meiser, P. 1962, A method of quantitative interpretation of self-potential measurements, *Geophysical Prospecting* 10, 203-218.
- Murty, B.V.S. and Haricharan, P. 1985, Nomogram for the complete interpretation of spontaneous potential profiles over sheet-like and cylindrical two-dimensional sources, *Geophysics* 50, 1127-1135.
- Paul, M.K. 1965, Direct interpretation of self-potential anomalies caused by inclined sheets of infinite extension, *Geophysics* 30, 418, 423.
- Rao, D. and Babu, H.V. 1983, Quantitative interpretation of self-potential anomalies due to two-dimensional sheet-like bodies, *Geophysics* 48, 1659-1664.
- Tanış, T. 1986 *Sürmene Kutular bakır sahasının Elektrik, Elektromagnetik etüdü*, Karadeniz Teknik Üniv., bitirme ödevi (yayınlanmamış).

BATI ANADOLU DEPREMSELLİĞİNİN MARKOV YÖNTEMİ İLE ARAŞTIRILMASI

The Investigation of Western Anatolia Seismicity by the Markov Method

Rahmi PINAR*, Zafer AKÇİĞ*, Filiz DEMİREL*

ÖZET

Bu çalışmada, 1920-1986 yılları arasındaki deprem verilerinden yararlanılarak, 25°-31° Doğu ve 36°-41° Kuzey enlemleri arasında kalan Ege Bölgesinin depremselliği (deprem riski), mevsimlere bağlı olarak incelenmiştir. Bunun için manyitüdü (magnitude) $m \geq 5.0$ olan depremler taramıştır. Depremlerin mevsimlere bağlı olarak gelecekte olma olasılıkları ise Markov modeli kullanılarak hesaplanmıştır. Bu yöntem yardımı ile elde edilen bulgularдан yararlanılarak, deprem olma olasılıklarının ilkbahar ve sonbahar mevsimlerinde yüksek olduğu saptanmıştır.

ABSTRACT

Seismicity (seismic risk) of the Aegean Region between the coordinates of 25°-31° East and 36°-41° North, was investigated using the earthquake data for the years 1920-1986 according to the seasonal variations. Seismological data were scrutinized for the earthquakes having the magnitudes $M \geq 5.0$ for this purpose. Seasonal earthquake future occurrence probabilities were calculated according to the Markov models. In accordance with the findings obtained through this method, the earthquake risk probability was found to be higher during seasons of spring and autumn.

GİRİŞ

Bağımsız deneyler durumunda, özel bir deneyin sonucuna verilen olasılığın, ondan önceki deneylere ait bilgilerle değişimeyeceği Poisson modelinde varsayılmaktadır. Verilen bir deney sonucunun olasılığının, ondan önceki deney sonuçlarına bağlı olduğu kabul edilmektedir.

Yukarıda anlatılan nedenden dolayı Markov modeli, 1906 San Fransisco depreminden sonra geliştirilen geri tepme (elastic rebound) kuramına uymaktadır. Böylece gelecekteki deprem olayı geçmiş depremlere bağımlı olmaktadır.

Sismik olaylar arasındaki bağımlılık nedeniyle, Markov yönteminin depremsellik çalışmalarında kullanılması önerilmektedir (Vanmercke ve diğ. 1973). Markov modelini, Hagivara (1975) şekil değiştirme enerjisinin açığa çıkma mekanizmasında, Kiremidjian ve Anagnos (1980) ile Grivas ve diğ. (1980) de deprem oluşumuyla ilgili olarak kullanmışlardır.

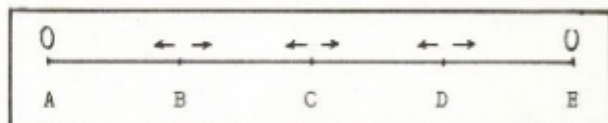
MARKOV MODELİ KURAMI

Markov Zinciri

Markov zinciri aşağıda örnekte olduğu gibi basitçe açıklanabilir.

* DEÜ, Müh-Mim. Fak, Jeoloji Müh. Böl., Bornava, İzmir

Bir tren makinisti 5 istasyon boyunca hareket etmektedir (Şekil 1). Ancak makinist her istasyona geldiğinde yazı, tura atmaktadır. Yazı gelirse bir sonraki, tura gelirse bir önceki istasyon yönünde gidecektir. Tren bu şekilde A veya E istasyonuna geldiğinde hareketsiz olarak kalmaktadır. Her istasyonda makinisten attığı yazı ve turadaki şanslar eşit olduğundan



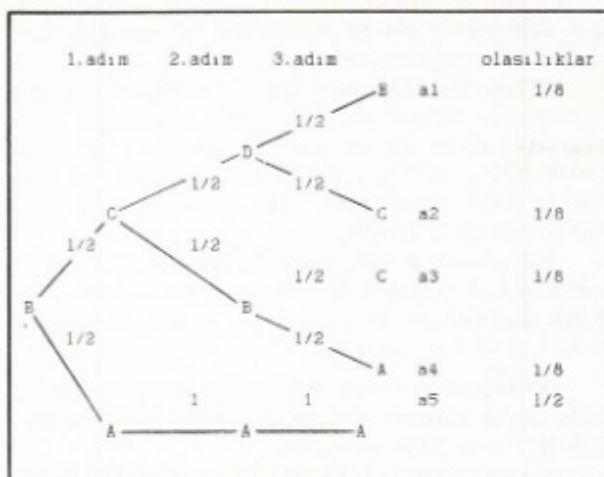
Şekil 1. Trenin hareket yönü.

Fig. 1. The movement direction of the train.

trenin bir sonraki veya bir önceki istasyon yönünde hareket etme olasılıkları birbirlerine eşit ve $1/2$ dir. Buna göre geçiş olasılık dizeyi (transition probability matrix),

$$P = \begin{bmatrix} 1 & 0 & 0 & 0 & 0 \\ 1/2 & 0 & 1/2 & 0 & 0 \\ 0 & 1/2 & 0 & 1/2 & 0 \\ 0 & 0 & 1/2 & 0 & 1/2 \\ 0 & 0 & 0 & 0 & 1 \end{bmatrix}$$

olarak yazılabilir (Geçiş olasılık dizeyinin ayrıntılı açıklaması bir sonraki bölümde verilmektedir). Örneğin trenin 3 adım sonra "mutlaka hareket halinde" bulunabilmesi olasılığını araştırmak için "Markov zincirleri" hazırlanır (Şekil 2). Trenin kesinlikle her türlü yazı-tura atumuna karşı hareket edebilmesi olasılığına sahip olması deyimi a_2 ve a_3 yolları için doğrudur. Trenin bu yolları izleyerek "C" istasyonunda bulunması için gerekli olasılık $1/8$ dir. Hem a_2 hem de a_3 yollarından aynı sonuca ulaşabileceğine göre aranan olasılık $1/4$ dür.



Şekil 2. Üç adım sonra, trenin hareket halinde olma olasılıklarını gösteren Markov zinciri.

Fig. 2. Markov chain, showing the probabilities that the train is in action after three steps.

5 istasyonda gösterilen bu basit durum istasyon sayısı arttırıldığında veya daha değişik fiziksel olaylarda (örneğin deprem konusunda olduğu gibi) veri sayısı çok olduğunda basit Markov zincirleri ile gösterilemeyeceği açıkta. Bu nedenle Markov zincirlerine ait genel kuram kurulmuştur.

Geçiş Olasılık Dizeyi ve Mutlak Olasılıklar

Bir düzeneğin e_1, e_2, \dots, e_j gibi bağımsız, ardışık olaylardan oluştuğunu varsayılmı. Olayların sayısı sonlu veya sonsuz olabilir. Her denemenin sonucu, e_j ($j = 1, 2, \dots$) olayların oluşumu açısından ele alındığında, E_n her bir " e_j " olayın olma olasılığı olarak tanımlanır. Burada n denemenin sonucu $E_n = j$ dir ($n = 0, 1, 2, \dots$).

Olasılık kurallarına göre, denemelerin bağımsız olması halinde, bütün " n " değerleri ve gelişigüzel değişkenlerin alabilecekleri tüm değerler için Markov zinciri

$$\Pr(E_n = j | E_0 = i_0, E_1 = i_1, \dots, E_{n-1} = i_{n-1}) = \Pr(E_n = j) \quad (1)$$

bağıntısı ile verilir (Takacs 1966). (1) denkleminden hareketle, her yeni denemenin sonucunun kendisinden bir önceki olayın sonucuna bağlı olduğu ve daha önceki denemenin sonuçlarından bağımsız olduğu varsayılarak, Markov zinciri kuramı ortaya çıkmaktadır. Başka bir deyişle, bütün " n " ($n = 0, 1, 2, \dots$) değerleri ve gelişigüzel değişkenlerin alabilecekleri tüm değerler için E_n

$$(n = 0, 1, 2, \dots)$$

$$\begin{aligned} \Pr(E_n = j | E_0 = i_0, E_1 = i_1, \dots, E_{n-1} = i_{n-1}) &= \\ \Pr(E_n = j | E_{n-1} = i_{n-1}) & \end{aligned} \quad (2)$$

geçerli olması halinde, ardışık olaylar veya ilgili gelişigüzel değişkenler için bir Markov zincirini oluştururlar. Buna göre (2) bağıntısı 1. dereceden Markov zincirini göstermektedir. Eğer herhangi bir olay dizisinde, her bir denemenin sonucu kendisinden bir önce gelen " k " kadar olayın sonucuna bağlı olması halinde, " k "inci dereceden Markov zinciri söz konusu olmaktadır.

Yukarıda belirtilen $\Pr(E_0 = j) = j(0)$, $j = 1, 2, \dots, E_0$ gelişigüzel değişkeninin bir olasılık dağılımıdır. Başka bir deyişle başlangıç durumlarının olasılık dağılımı veya kısaca başlangıç dağılımı olarak tanımlanabilir. $\Pr(E_n = j | E_{n-1} = i)$ koşullu olasılıkları, sistemin $n-1$ anında " i " durumunda olma koşulundan, sistemin " n " anında " j " durumunda olması için, tanımlanan dizey geçiş olasılık dizeyidir. Bu tanıma göre sistem " n " adında " e_i " konumundan " e_j " konumuna geçiş yapmaktadır.

Markov zincirleri tek düzeye (tek adım bellekli) ve tek düzeye olmayan (çok adım bellekli) zincirler olmak üzere iki gruba ayrırlar. Zamandan bağımsız olması durumunda, başka bir deyişle " n " den bağımsız olması durumunda, (1) bağıntısından yararlanılarak, tek düzeye Markov zincirinin geçiş olasılık dizeyi,

$$\Pr(E_n = j | E_{n-1} = i) = p_{ij} \quad i, j = 1, 2, \dots \quad (3)$$

bağıntısı ile verilmektedir. Tek düzeye olmayan Markov zincirinde ise bu olasılıklar $p_{ij}(n)$ olarak tanımlanmaktadır. (Benjamin ve Cornell 1970).

Markov zincirlerinin $p_{ij}(n)$ geçiş olasılıkları, tek düzeye olmayan zincirlerde " $W(n)$ ", tek düzeye olanlarda ise " W " olarak adlandırılan bir dizey ile gösterilir. 1. dereceden tek düzeye bir Markov zincirinin,

$$p_{ij} = \Pr(E_n = j | E_{n-1} = i) \quad i, j = 1, 2, \dots, N \quad (4)$$

geçiş olasılıkları dizeyi,

$$P = \begin{bmatrix} P_{11} & P_{12} & - & - & - & - & P_{1N} \\ P_{21} & P_{22} & - & - & - & - & P_{2N} \\ - & - & - & - & - & - & - \\ - & - & - & - & - & - & - \\ P_{N1} & P_{N2} & - & - & - & - & P_{NN} \end{bmatrix} \quad (5)$$

olarak tanımlanır. Bir kare dizeye stokastik dizey de denir.

Deprem oluşumlarında iki durumlu Markov modeli uygulanmaktadır. Depremlerin gösteriminde "deprem olur" olayını göstermek için "1", deprem olmaz olayını göstermek için de "0" simgeleri kullanılır. İki durumlu Markov zinciri için "1" adımlık geçiş olasılık dizeyi yazıldığında, (5) dizeyi

$$W = \begin{bmatrix} 1-p & p \\ q & 1-q \end{bmatrix} \quad (6)$$

konumunu alır (Yüceman 1982). Bu bağıntıda:

$$p = \Pr[x(t) = 1 | x(t-1) = 0]$$

bir önceki zaman biriminde bir deprem olmadığı bilindiğine göre, şu andaki zaman birimi içinde deprem olma olasılığı

$$q = \Pr[x(t) = 0 | x(t-1) = 1]$$

bir önceki zaman biriminde bir deprem olduğu bilindiğine göre şu andaki zaman birimi içinde deprem olmama olasılığıdır.

"W" dizeyinin tüm elemanları pozitif ve her satır elemanlar toplamı "1"e eşittir.

$$\sum_{j=1}^N p_{ij} = 1 \quad i = 1, 2, \dots, N \quad 0 \leq p_{ij} \leq 1 \quad (7)$$

Bu özellik, Markov zincirinin her adımda ya bulunduğu durumda beklemesi veya başka duruma geçmesi nedeniyle birbirlerinden bağımsız çift seçenekli bir olay olduğunu göstermektedir. "W" dizeyi ve başlangıç dağılımı olan " $p_i(0)$ " in belirlenmesi durumunda, Markov zincirinin gelişigüzel davranışını tanımlanabilir.

En gelişigüzel değişkeninin başlangıçtaki dağılımı " $p_j(0)$ " olarak tanımlandığında, sürecin herhangi bir "n" zamanında, "j" durumunda bulunmasının koşulsuz olasılığı veya başka bir deyişle, mutlak olasılığı (absolute probability) olan $\Pr(E_n = j) = p_j^{(n)}$ kolaylıkla bulunabilir. Bunun için de $p_j^{(n)} = \Pr(E_{m+n} = j | E_m = i)$ olarak verilen "n" adım geçiş olasılıklarının bilinmesi gereklidir. Bu olasılıklar "m" zamanında sistemin "i" durumunda bulunması koşulu ile, "n" adım sonra "j" durumunu alması koşullu olasılığını tanımlamaktadır. Dolayısıyla daha önce sözü edilen " p_{ij} " olasılıkları bu tanımı göre $n = 1$ adım geçiş olasılıklarıdır. Öyleyse " $p_j^{(n)}$ " mutlak olasılıkları, toplam olasılık kuramından yararlanarak, " $p_i(0)$ " başlangıç olasılıkları ve " $p_{ij}^{(n)}$ " "n" adım geçiş olasılıkları bilinmesi durumunda,

$$p_j^{(n)} = \sum_{i=0}^n p_i \cdot p_{ij} \quad j = 0, 1 \quad (8)$$

olarak verilir. Bu denklemde $n_h = 1$ ise bir adımlık geçiş olasılık dizeyidir. $j = 0$ ve $j = 1$ olayları için sırasıyla mutlak olmama ve olma olasılıkları elde edilir. Aynı olasılıklar, başlangıç koşulları ve geçiş olasılık dizeyi kullanılarak da dizey çarpımlarından elde edilebilir (Bkz. Uygulama).

MARKOV MODELİ UYGULAMASI

Bu çalışmada uygulanan Markov modelinin 1920-1986 tarihleri arasındaki Ege bölgesi deprem verilerinin (Alsan ve diğ. 1976) mevsimlere bağlı olarak gelecekte olma olasılığının hesaplanması aşağıda, sıra ile verilmiştir.

a) Öncelikle 0.5 adımlarla seçilmiş manyitüdler yukarıda verilen tarihler arasındaki mevsimlerde taranarak sayılmış ve sınıflandırılmıştır. Çizelge 1, 2, 3, 4, 5).

b) Seçilen zaman birimi (mevsim) ve manyitüde göre depremlerin olduğu mevsimlere "1" olmadığı mevsimlere "0" simgeleri verilmiştir.

c) Tüm Ege bölgesinde, beş ayrı manyitüd aralığında depremlerin olması göz önünde bulundurularak, geçiş olasılıkları dizeyi kurulmuştur. Bu dizeyedeki bir önceki zaman birimi 1919 yılı kiş mevsimi alınarak, bu tarihi izleyen 1986 yılına kadar olan mevsimlere ait geçiş olasılık dizeyleri hesaplanmıştır.

Batu Anadolu bölgesinde $5.0 \leq M \leq 5.4$, $5.5 \leq M \leq 5.9$, $6.0 \leq M \leq 6.4$, $6.5 \leq M \leq 6.9$, $M \geq 7.0$ depremlerin olma ve olmama olasılıklarına ait çizelgeler 6, 7, 8, 9, 10 ve Şekil 3, 4, 5, 6 ve 7'de verilmiştir.

(8) bağıntısı kullanılarak seçilen manyitüd adımlarında mutlak olma ve olmama olasılıkları sırası ile Şekil 8, 9, 10, 11 ve 12'de verilmiştir.

Aşağıda örnek olarak $M \geq 7.0$ manyitüdündeki bir depremin kiş mevsiminde olma ve olmama olasılıklarının hesaplanması sıra ile verilmektedir.

1) Kişi mevsiminden (1. mevsim) bir önceki zaman birimi olarak sonbahar mevsimi (4. mevsim) kabul edilir. 1920 yılından 1986 yılına kadar 1. ve 4. mevsimde olan $M \geq 7.0$ depremler taranır. Depremlerin olduğu mevsimlere "1", olmadığı mevsimlere de "0" simgesi verilir. Tarama sonucu 1. ve 4. mevsimlerde $M \geq 7.0$ olan 5 adet depreme rastlanmıştır. Bunlar 1928 (yıl), 1. (mevsim) -1944, 4-1953, 1-1964, 4-1970, 1 dir.

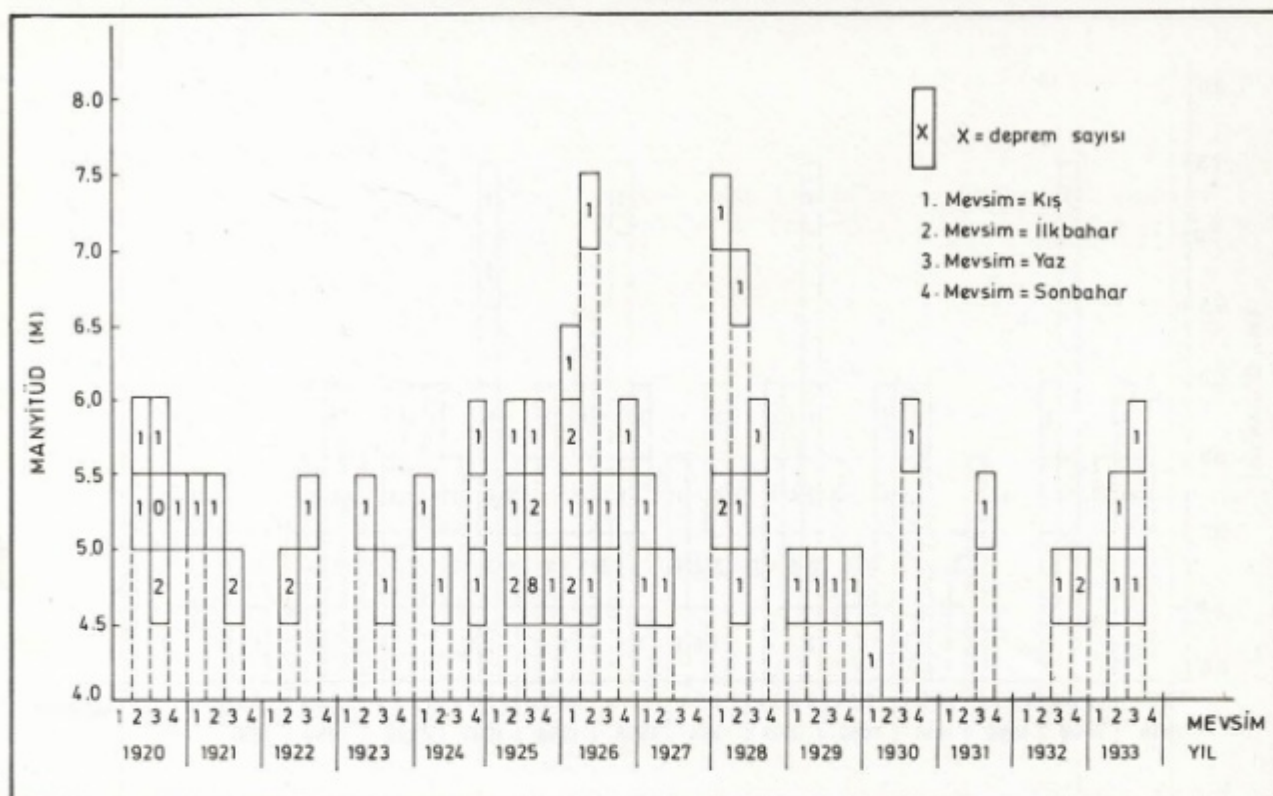
Kuşkusuz ki incelenen 67 yıllık (1920-1986) sürede, sonbahar (4) ve kiş (1) mevsimlerinde manyitüd 7 den küçük ($M < 7$) 129 adet deprem vardır. Dolayısı ile 67 yıl içinde sonbahar ve kiş mevsimlerinde toplam 134 adet deprem olayı vardır.

2) Olasılık tablosu aşağıdaki gibi oluşturulur.

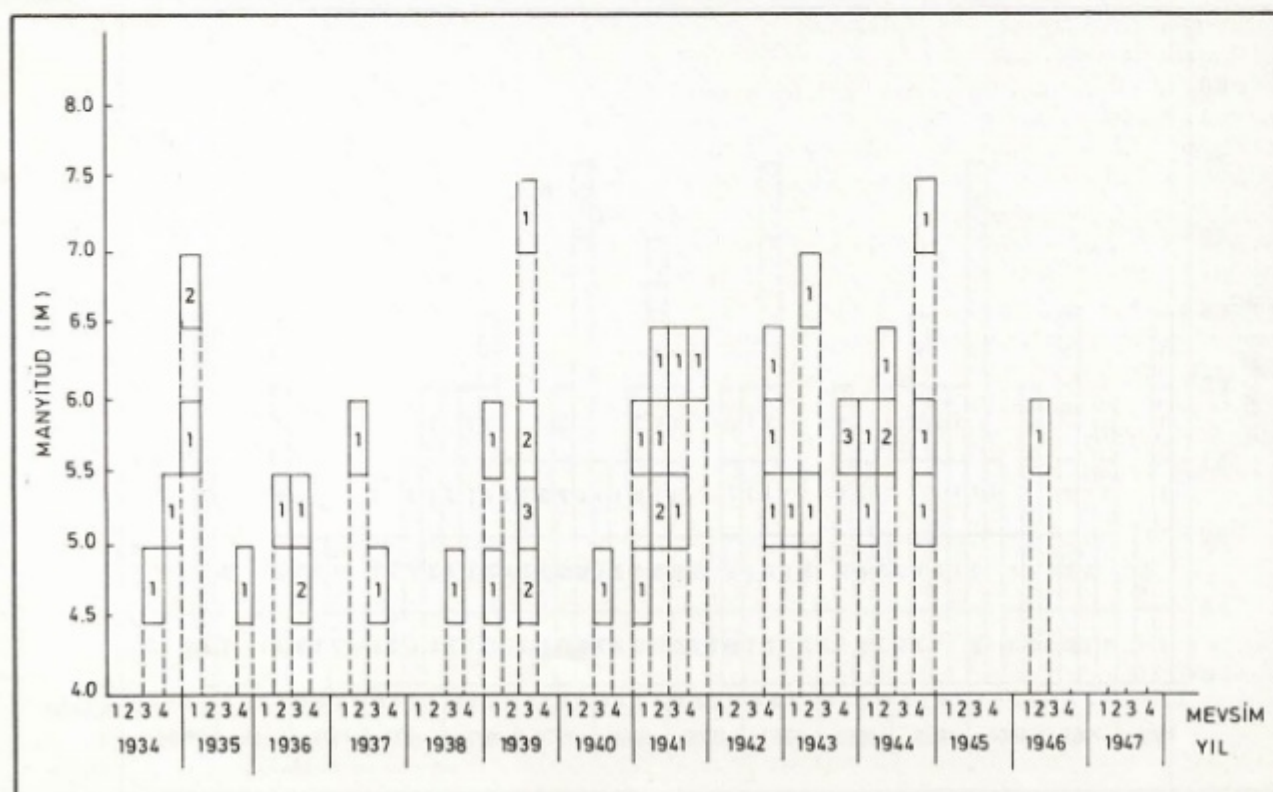
		0	1	
		$M < 7$	$M \geq 7$	
0	$M < 7$	Sı. da $M < 7$ deprem olup, onu kiş $M < 7$ olarak izleyen deprem sayısı 129. Bu koşulda $M < 7$ deprem olma olasılığı: 129/134.	Sı. da $M \geq 7$ deprem olup, onu kiş $M \geq 7$ olarak izleyen deprem sayısı 2. Bu koşulda $M \geq 7$ deprem olma olasılığı: 2/134.	$\frac{131}{134}$
	$M \geq 7$	Sı. da $M < 7$ deprem olup, onu kiş $M \geq 7$ olarak izleyen deprem sayısı 3. Bu koşulda $M \geq 7$ deprem olma olasılığı: 3/134.	Sı. da $M \geq 7$ deprem olup, onu kiş $M \geq 7$ olarak izleyen deprem sayısı 0. Bu koşulda $M \geq 7$ deprem olma olasılığı: 0/134.	$\frac{3}{134}$
		$\frac{132}{134}$	$\frac{2}{134}$	1

3) Elemanları (4) bağıntısından hesaplanarak, (5) bağıntısında verilen bir adım Markov geçiş olasılık dizeyi kurulur.

Çizelge 1. Mevsimlik deprem sayısının zaman içindeki dağılımı
Table 1. The distribution of the number of seasonal earthquakes during the time interval

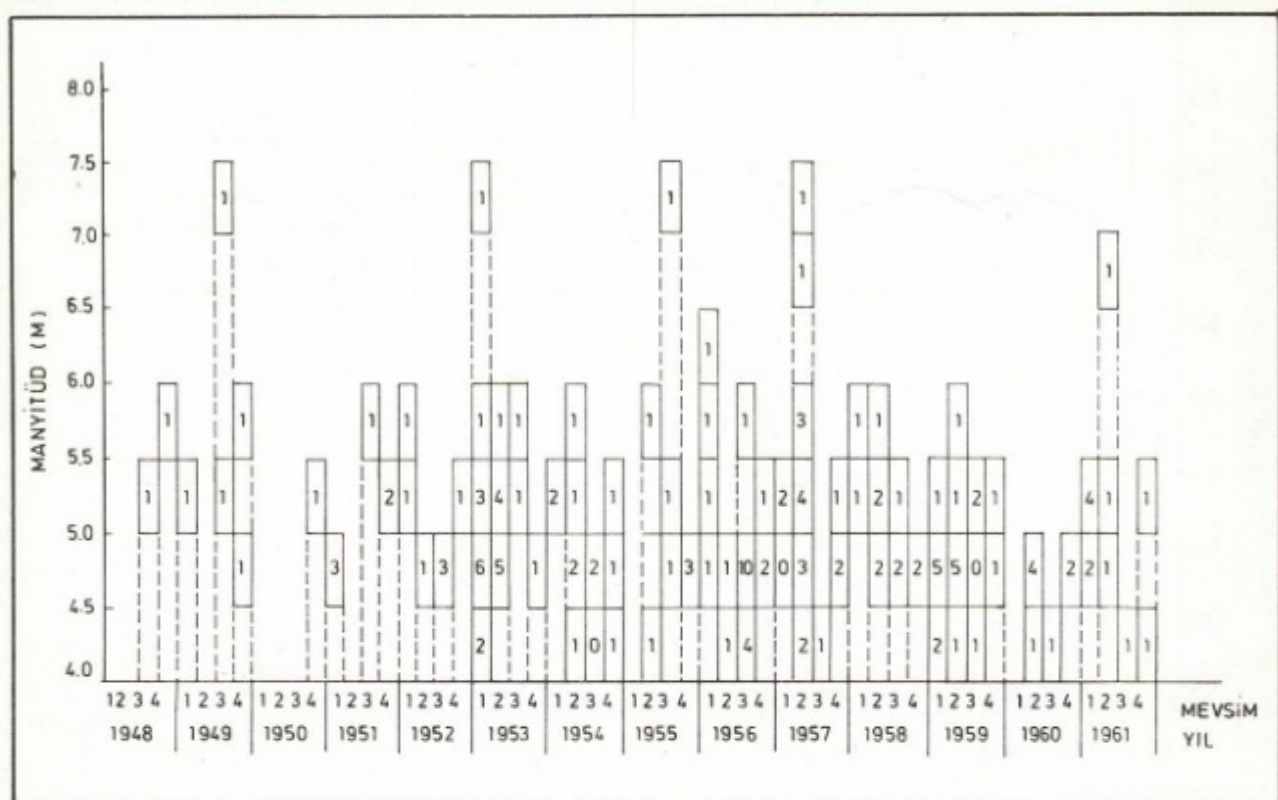


Çizelge 2. Mevsimlik deprem sayısının zaman içindeki dağılımı
Table 2. The distribution of the number of seasonal earthquakes during the time interval



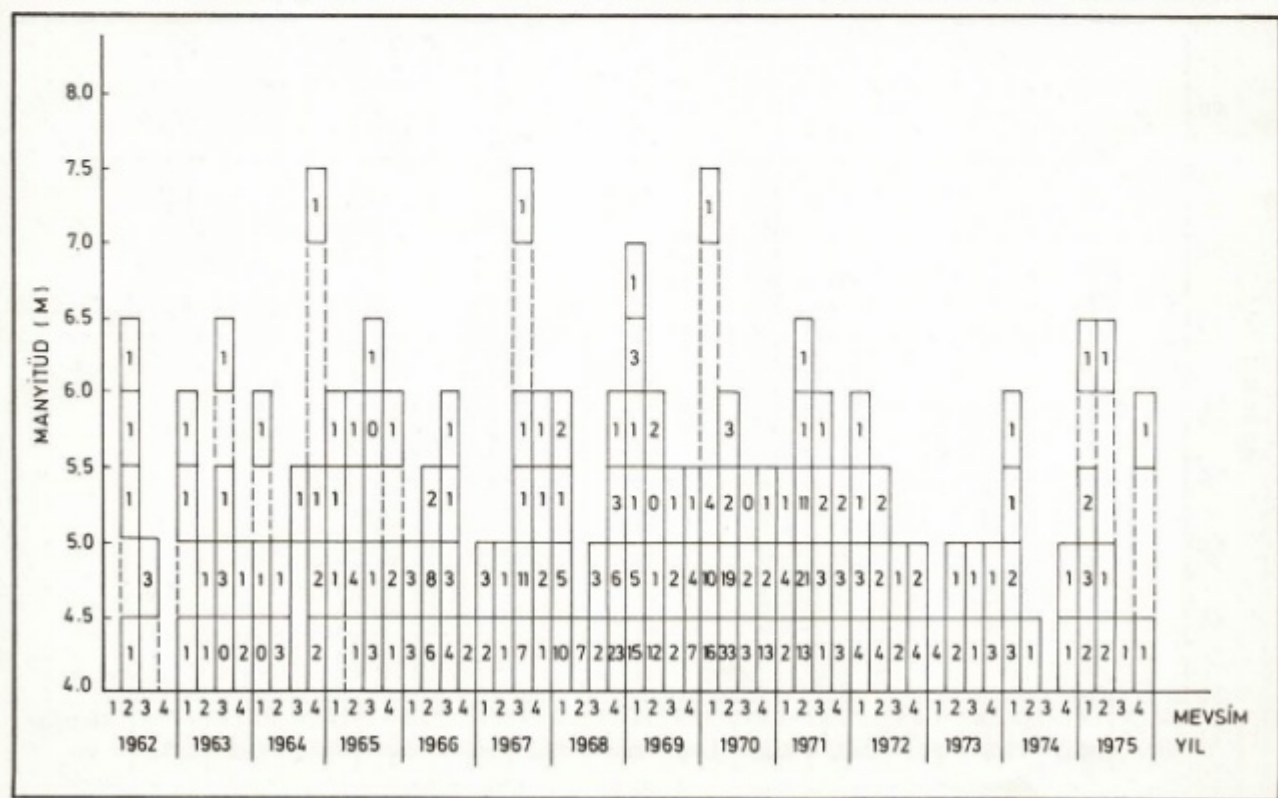
Çizelge 3.Mevsimlik deprem sayısının zaman içindeki dağılımı

Table 3.The distribution of the number of seasonal earthquakes during the time interval

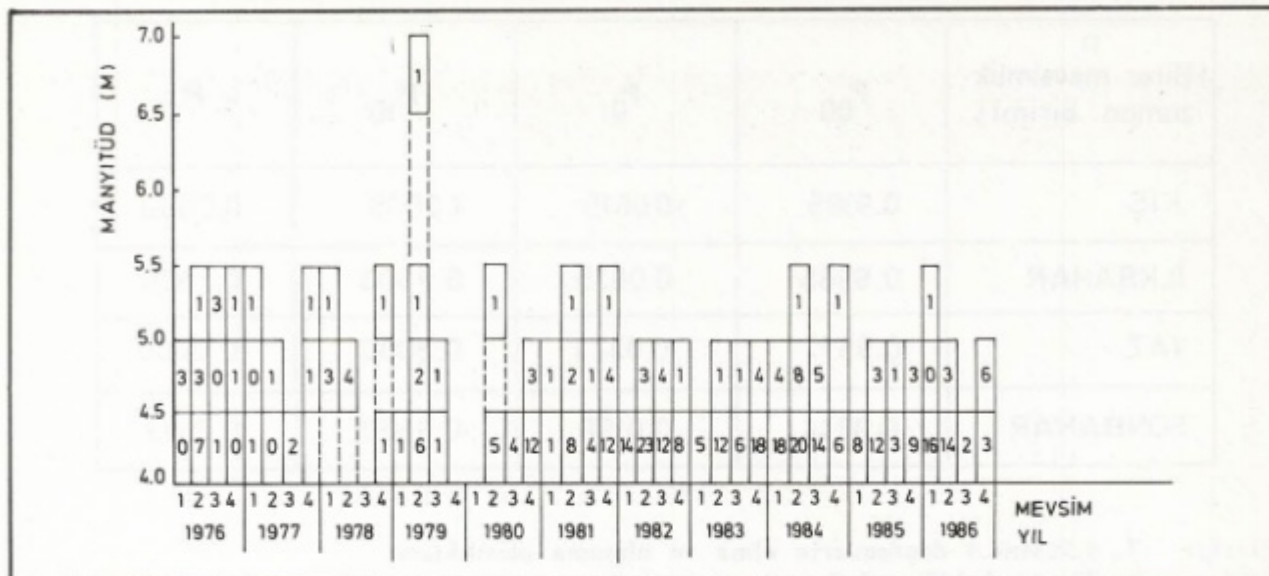


Çizelge 4.Mevsimlik deprem sayısının zaman içindeki dağılımı

Table 4.The distribution of the number of seasonal earthquakes during the time interval



Çizelge 5. Mevsimlik deprem sayısının zaman içindeki dağılımı
Table 5. The distribution of the number of seasonal earthquakes during the time interval



Çizelge 6. $5.0 \leq M \leq 5.4$ depremlerin olma ve olmama olasılıkları
Table 6. The probability of the occurrence and non occurrence of the earthquakes $5.0 \leq M \leq 5.4$

n (Birer mevsimlik zaman birimi)	P_{00}	P_{01}	P_{10}	P_{11}
KIŞ	0.6364	0.3636	0.5217	0.4783
İLKBAHAR	0.6667	0.3333	0.5357	0.4643
YAZ	0.7561	0.2439	0.6154	0.3846
SONBAHAR	0.6383	0.3617	0.7000	0.3000

Çizelge 7. $5.5 \leq M \leq 5.9$ depremlerin olma ve olmama olasılıkları
Table 7. The probability of the occurrence and non occurrence of the earthquakes $5.5 \leq M \leq 5.9$

n (Birer mevsimlik zaman birimi)	P_{00}	P_{01}	P_{10}	P_{11}
KIŞ	0.7679	0.2321	0.7273	0.2727
İLKBAHAR	0.7843	0.2157	0.6250	0.3750
YAZ	0.8400	0.1600	0.7647	0.2353
SONBAHAR	0.8182	0.1818	0.9167	0.0833

Çizelge 8. $6.0 \leq M \leq 6.4$ depremlerin olma ve olmama olasılıklarıTable 8. The probability of the occurrence and non occurrence of the earthquakes $6.0 \leq M \leq 6.4$

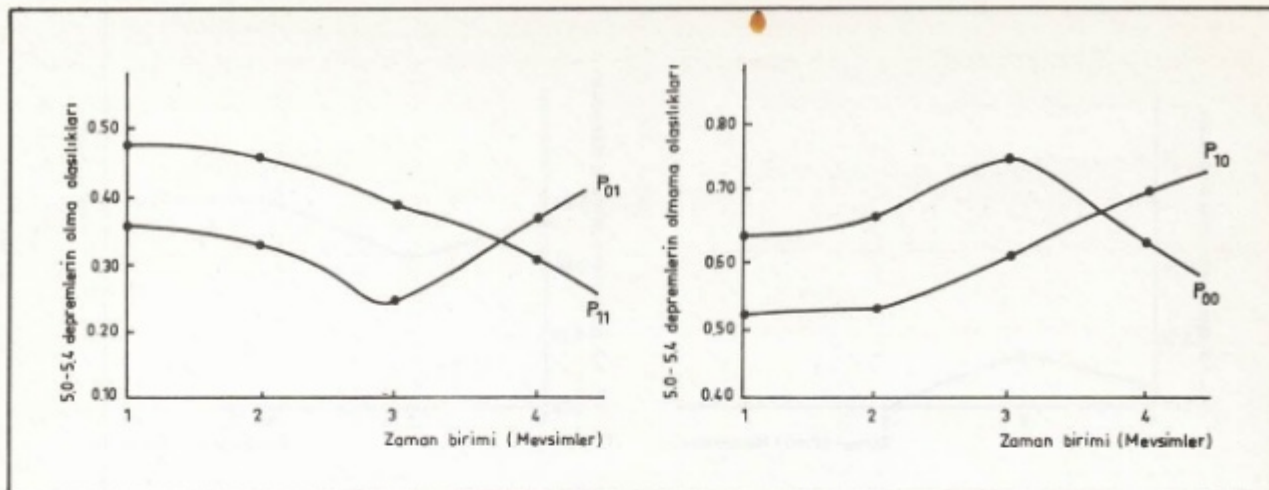
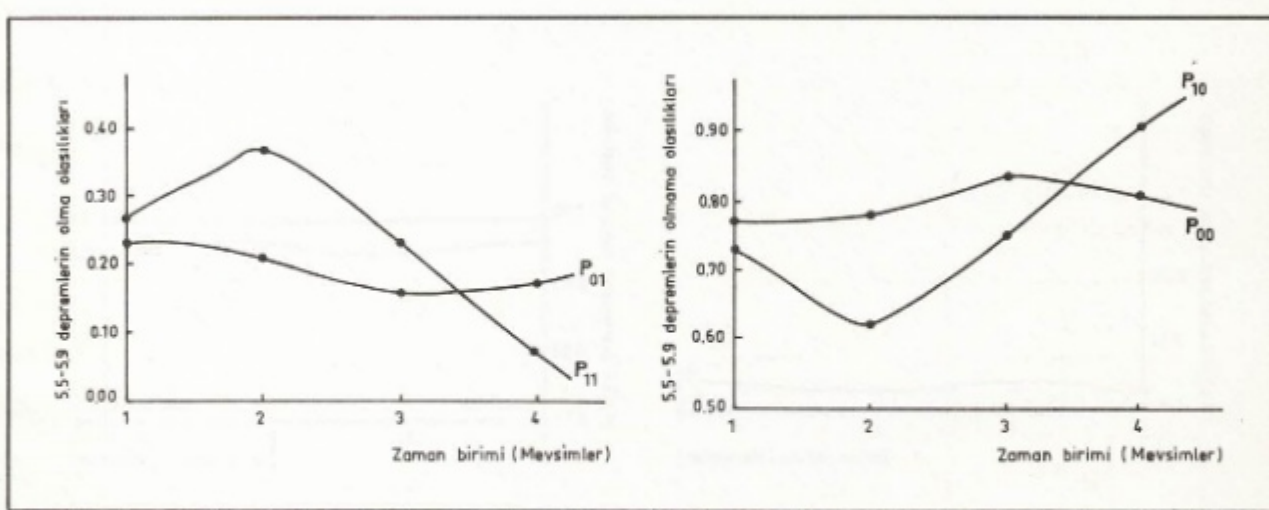
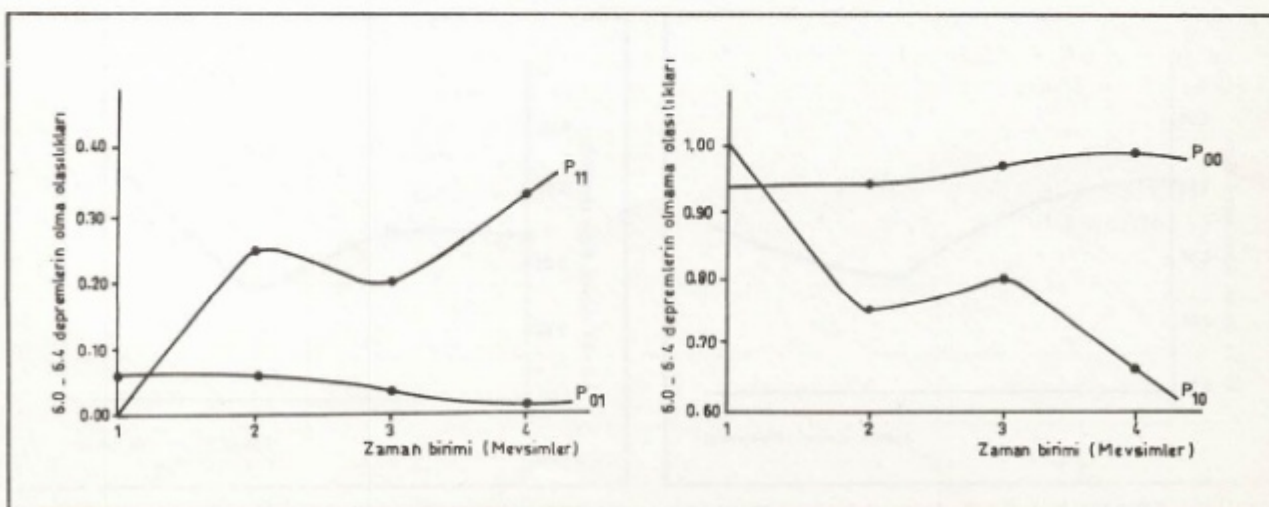
n (Birer mevsimlik zaman birimi)	P_{00}	P_{01}	P_{10}	P_{11}
KIŞ	0.9385	0.0615	1.0000	0.0000
İLKBAHAR	0.9365	0.0635	0.7500	0.2500
YAZ	0.9677	0.0323	0.8000	0.2000
SONBAHAR	0.9844	0.0156	0.6667	0.3333

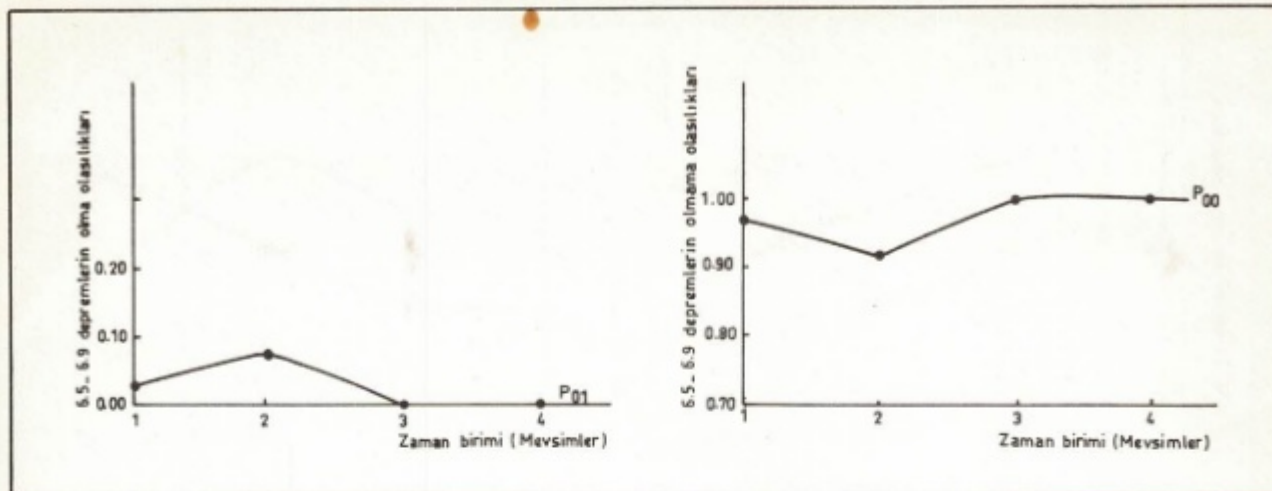
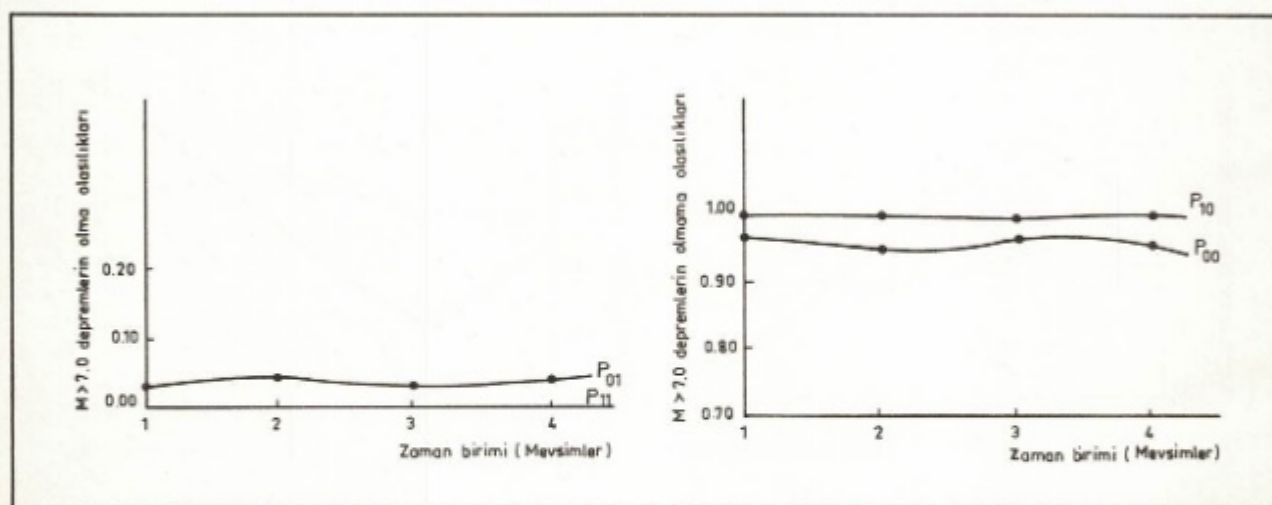
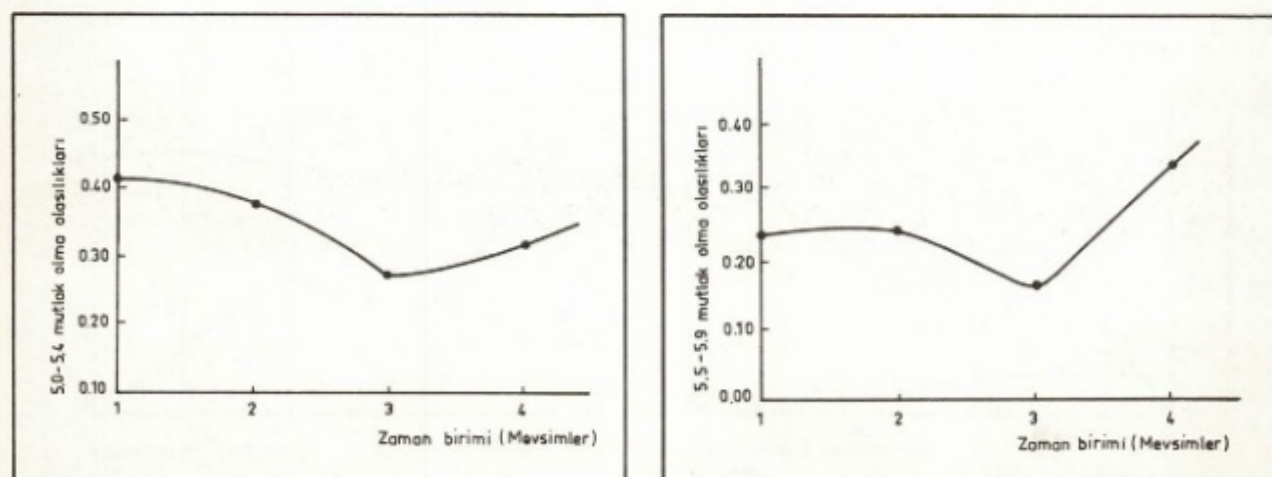
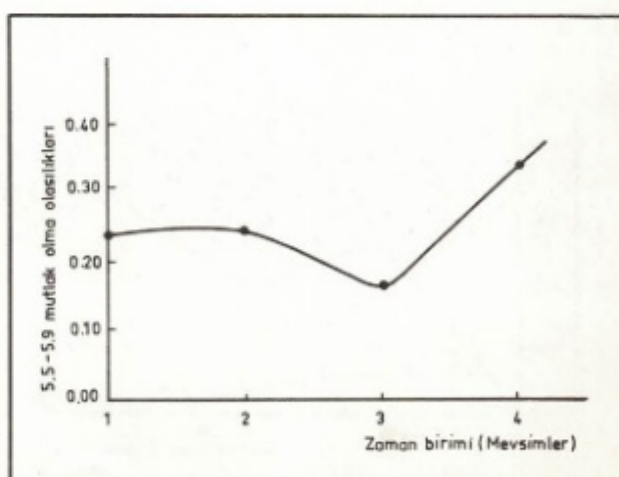
Çizelge 9. $6.5 \leq M \leq 6.9$ depremlerin olma ve olmama olasılıklarıTable 9. The probability of the occurrence and non occurrence of the earthquakes $6.5 \leq M \leq 6.9$

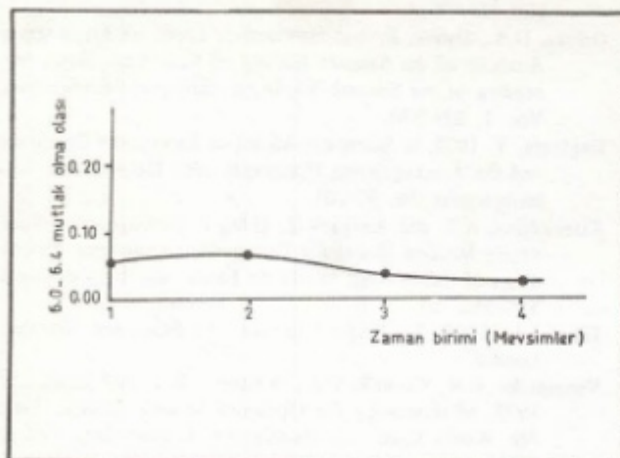
n (Birer mevsimlik zaman birimi)	P_{00}	P_{01}	P_{10}	P_{11}
KIŞ	0.9701	0.0299	0.0001	0.0001
İLKBAHAR	0.9231	0.0769	1.0000	0.0000
YAZ	1.0000	0.0000	1.0000	0.0000
SONBAHAR	1.0000	0.0000	0.0001	0.0001

Çizelge 10. $M \geq 7$ depremlerin olma ve olmama olasılıklarıTable 7. The probability of the occurrence and non occurrence of the earthquakes $M \geq 7$

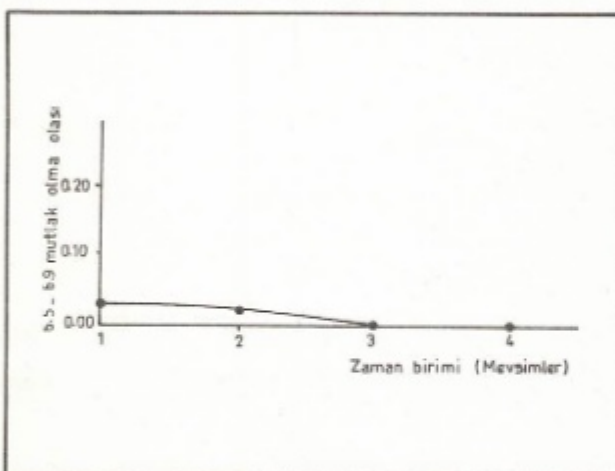
n (Birer mevsimlik zaman birimi)	P_{00}	P_{01}	P_{10}	P_{11}
KIŞ	0.9772	0.0227	1.0000	0.0000
İLKBAHAR	0.9538	0.0462	1.0000	0.0000
YAZ	0.9772	0.0229	1.0000	0.0000
SONBAHAR	0.9538	0.0462	1.0000	0.0000

Şekil 3. $5.0 \leq M \leq 5.4$ depremlerin olma ve olmama olasılıkları.Fig. 3. The probability of the occurrence and non occurrence of the earthquakes $5.0 \leq M \leq 5.4$ Şekil 4. $5.5 \leq M \leq 5.9$ depremlerin olma ve olmama olasılıkları.Fig. 4. The probability of the occurrence and non occurrence of the earthquakes $5.5 \leq M \leq 5.9$ Şekil 5. $6.0 \leq M \leq 6.4$ depremlerin olma ve olmama olasılıkları.Fig. 5. The probability of the occurrence and non occurrence of the earthquakes $6.0 \leq M \leq 6.4$

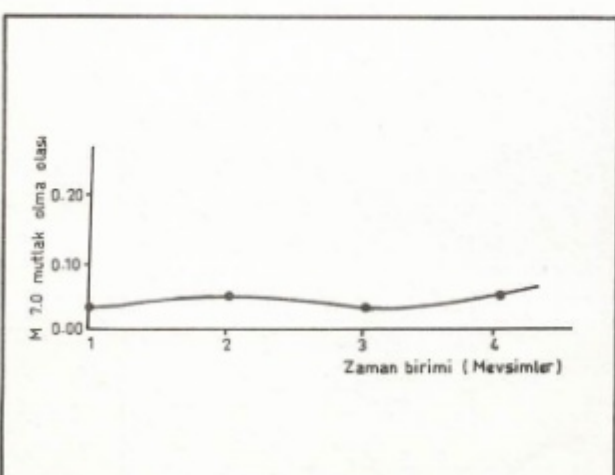
Şekil 6. $6.5 \leq M \leq 6.9$ depremlerin olma ve olmama olasılıkları.Fig. 6. The probability of the occurrence and non occurrence of the earthquakes $6.5 \leq M \leq 6.9$ Şekil 7. $M \geq 7.0$ depremlerin olma ve olmama olasılıkları.Fig. 7. The probability of the occurrence and non occurrence of the earthquakes $M \geq 7.0$ Şekil 8. $5.0 \leq M \leq 5.4$ depremlerin mutlak olma olasılıkları.
Fig. 8. The absolute probabilities of occurrence of the earthquakes $5.0 \leq M \leq 5.4$ Şekil 9. $5.5 \leq M \leq 5.9$ depremlerin mutlak olma olasılıkları.
Fig. 9. The absolute probabilities of occurrence of the earthquakes $5.5 \leq M \leq 5.9$



Şekil 10. $6.0 \leq M \leq 6.4$ depremlerin mutlak olma olasılıkları.
Fig. 10. The absolute probabilities of occurrence of the earthquakes $6.0 \leq M \leq 6.4$



Şekil 11. $6.5 \leq M \leq 6.9$ depremlerin mutlak olma olasılıkları.
Fig. 10. The absolute probabilities of occurrence of the earthquakes $6.5 \leq M \leq 6.9$



Şekil 12. $M \geq 7$ depremlerin mutlak olma olasılıkları.
Fig. 12. The absolute probabilities of occurrence of the earthquakes $M \geq 7$.

$$\begin{aligned}
 P_{00} &= p(0 | 0) = p(0|0)/p(0) = (129/134)/(132/134) \\
 &= 0.9772 \\
 P_{01} &= p(0 | 1) = p(0|1)/p(0) = (3/134)/(132/134) \\
 &= 0.0227 \\
 P_{10} &= p(1 | 0) = p(1|0)/p(1) = (2/134)/(2/134) \\
 &= 1 \\
 P_{11} &= p(1 | 1) = p(1|1)/p(1) = (0/(2/134)) = 0.0
 \end{aligned}$$

$$W = \begin{bmatrix} 0.9772 & 0.0227 \\ 1.0000 & 0.0000 \end{bmatrix}$$

4) Mutlak olasılıklar aşağıdaki gibi dizey çarpımından elde edilebilirler (mutlak olasılıklar (8) denkleminden de bulunabilir) Başlangıç koşulları yukarıda verilen dizeye, kolon toplamlarından elde edilir.

$$(2/134 \quad 132/134) \begin{bmatrix} 129/132 & 3/132 \\ 1 & 0 \end{bmatrix}$$

Mutlak olmama olasılığı:

$$(2/134)(129/132) + (132/134)(1) = 0.9997$$

Mutlak olma olasılığı:

$$(2/134)(3/132) + (132/134)(0) = 0.0003$$

Şekil 7 veya çizelge 10 incelendiğinde, bir önceki zaman biriminde $M \geq 7$ manyitüdünde bir deprem olmadığı bilindiğine göre, 67 yıl içinde, $M \geq 7$ depremin kiş mevsiminde olma olasılığı 0.0227 iken ilkbahar mevsiminde 0.0462, yaz mevsiminde 0.0229, sonbahar mevsiminde ise 0.0462 olarak bulunmuştur. Buna göre ilkbahar ve sonbahar mevsimlerinde $m > 7$ manyitüdünde bir depremin olma olasılıkları diğer mevsimlere göre daha çoktur. Çizelgenin incelenmesi sürdürülüğünde, bir önceki zaman biriminde $M \geq 7$ manyitüdünde bir depremin olduğu bilindiğine göre 67 yıl içinde, $M \geq 7$ depremin tüm mevsimlerde olma olasılıklarının "0" olduğu görülmektedir.

SONUÇLAR

Depremin fizигine, Markov dağılımı, diğer dağılımlardan (Poisson, Gumble) daha iyi uymaktadır. Bu nedenle risk hesaplarında Markov yönteminin uygulanması diğerlerine oranla daha sağlamlardır.

Deprem verilerinin yeterli sayıda olması durumunda, yöntem daha dar alanlara (Markov zincirlerinin uzaya bağlılığı olması nedeniyle) uygulanmalıdır. Yine deprem verilerinin yeterli olması durumunda zaman adımları iyice daraltılarak adımlar ay düzeyine kadar indirilebilir.

Bu çalışmadan elde edilen sonuçlara göre Batı Anadolu'da ilkbahar ve sonbahar mevsimlerinde deprem olma olasılığı diğer mevsimlere oranla daha yüksektir.

Manyitüd 5 ve daha yukarı olan depremler tüm sis-moloji istasyonlarındaki aletler tarafından sağlanarak kaydedilebilmektedir. Bu nedenle, bu çalışmanın farklı kataloglardan taramış depremlere ($M \geq 5$) uygulanması durumunda da elde edilecek sonuçlarda büyük bir farklılık beklenmemektedir.

Halk arasındaki yaygın kanı, depremlerin daha çok hava koşullarının değişimine bağlı olduğunu söyleyebiliriz. Hava koşulları ise en çok bahar aylarında değişmektedir. Ancak bilindiği gibi depremlerin oluşması için gerekli fiziksel koşullar ile, iklimsel değişikliklere ait fiziksel koşullar farklıdır. Fakat bu çalışmada da, bahar aylarında deprem olma olasılıkları diğer mevsimlere oranla yüksek bulunmuştur. Olsa olsa, halk arasındaki bu yaygın kanı depremin bahar aylarındaki yüksek olma olasılığından kaynaklanmaktadır.

KAYNAKLAR

- Alsan, E., Tezuçan L. and Bath, M. 1975, An Earthquake Catalogue for Turkey for the interval 1913-1970, Report No. 7-75 Uppsala-Sweden
- Benjamin, U.R. and Cornel, C.A. 1970, Probability Statistics and Decision for Civil Engineers, 321-349, Mc Graw

- Hill, New York.
- Grivas, D.A., Dyvik, R. and Howland J. 1980, An Engineering Analysis of the Seismic History of New York State, Proceeding of the Seventh World on Earthquake Engineering, Vol. 1, 324-330.
- Hagivara, Y. 1975, A Stochastic Model of Earthquake Occurrence and the Accompanying Horizontal Land Deformation, Tectonophysics 26, 91-101.
- Kiremidjian, A.S. and Anagnos T. 1980, A Homogeneous Alternating Markov Model for Earthquake Occurrences, Proceedings of the Seventh World on Earthquake Engineering 1, 355-362.
- Takacs, L. 1966, Stochastic Processes, Methuen and Co. Ltd., London.
- Vanmercke, E.H., Cornell, C.A., Whitman, R.V. and Reed, J.W. 1973, Methodology for Optimum Seismic Design. Proc. 5th World Conf. on Earthquake Engineering, Vol. 2, 2521-2530.
- Yüçemen, M.S. 1982, Sismik Risk Analizi, ODTÜ Yayınları, No 41, Ankara.

YAZI VERENLER

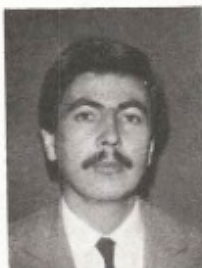
ZAFER AKÇİĞ

1949 yılında İzmir'de doğdu. İÜFF Jeofizik-Jeoloji Bölümü'nden 1972' de mezun oldu. 1973-74 arasında EÜFF Jeoloji Bölümü'nde asistan İÜFF Jeofizik Kürsüsünde Lisansüstü öğrenimini 1976 yılında tamamladı. EÜFF Jeofizik Bölümünde 1976-78 yılları arasında asistan olarak görev yaptı. 1978'den itibaren EÜYBF ve DEÜ Müh.-Mim. Fakültesi'nde görev aldı. Kasım 1981-Nisan 1982 arasında Leicester Üniversitesinde araştırmalarda bulundu. 1983 yılında "Batı Anadolu Gravite Verilerinin Veri İşlem Yöntemleriyle Yorumu" isimli doktora tezini tamamladı. Halen DEÜ Müh.-Mim Fak. Jeo. Müh. Bölümü'nde öğretim görevlisi



AYBİGE AYDOĞAN

1966 yılında Kızıltepe/Mardin'de doğdu. DEÜ, Müh.-Mim. Fak., Jeo. Müh. Bölümü'nden 1982 yılında mezun oldu. 1988'de aynı üniversitenin Fen Bilimleri Enstitüsü'nde yüksek lisans öğrenimini tamamladı. 1987 yılından bu yana DEÜ, Müh.-Mim. Fak., Jeo. Müh. Böl., Yerfiziği Anabilim Dalı'nda araştırma görevlisi olarak çalışmaktadır.



O. METİN İLKİŞİK

1944 yılında Karabük'de doğdu. ITÜ Maden Fakültesinden Jeo. Yük. Müh. olarak 1967'de mezun oldu. 1967-68 arasında MTA Jeofizik Dairesi'nde çalıştı. 1971'de ITÜ Maden Fak. Jeofizik Kürsüsü'ne asistan olarak girdi. Aynı fakülteden man-yetotelliğilik çalışmaları konu alan tezi ile 1980'de doktorasını aldı. Kanada'da Toronto Üniversitesi'nde, 1981-82'de "Post doctoral Fellow", 1982-83'de "Research Associate" olarak çalışmalar yaptı. 1984 yılında Uygulamalı Jeofizik Doçentti oldu. 1983-86 arasında öğretim görevlisi olarak bulunduğu ITÜ Maden Fakültesi'ne 1986'da doçent olarak atandı. Ekim 1987'den itibaren İÜ Müh. Fak. Jeofizik Müh. Bölümünde çalışmaktadır.



RAHMI PINAR

1950 yılında Ankara'da doğdu. 1975 yılında İÜ Jeofizik Yük. Müh. Bölümü'nden mezun oldu. Aynı yıl MTA Jeofizik Dairesi'nde göreveye başladı. 1977'de EÜ Fen Fakültesine asistan olarak atandı. Daha sonra EÜ YBF ve DEÜ Müh.-Mim. Fakültesi'nde görev aldı. 1983 yılında "Doğrusal Dizge Kuramının Potansiyel Alanları Uygulanması" isimli doktora tezini verdi. Halen DEÜ Müh.-Mim. Fak., Jeo. Müh. Bölümünde öğretim görevlisi olarak çalışmaktadır.



A. GÜNGÖR TAKTAK

1937 yılında Sivrihisar/Eskişehir'de doğdu. İÜ, Fen Fak., Jeofizik-Jeoloji Bölümü'nden 1961 yılında mezun oldu. 1964-65 yıllarında Fransa'da yabancı dil öğrenimi gördü. Strasbourg Jeofizik Enstitüsü'nden 1968'de Master'ını aldı. 1971'de Louis Pasteur Üniversitesi'nde doktorasını tamamladı. 1972-78 yılları arasında EÜ Fen Fakültesi'nde öğretim görevlisi olarak çalışan Dr. Taktak, 1980 yılında doçent oldu. 1982 yılına kadar EÜ Yer Bilimleri Fak. Jeofizik Bölümü başkanlığını yürüttü. 1982 yılından bu yana DEÜ, Müh.-Mim. Fak., Jeo. Müh. Böl., Uygulamalı Jeofizik Anabilim dalı Başkanı olarak çalışmaktadır.



IBRAHİM ONUR

1952 yılında Izmit'te doğdu. İÜ Fen Fak., Jeofizik Yük. Müh. Bölümü'nden 1977'de mezun oldu. 1977-78 yıllarında İzmit Belediyesi Büyük Yatırımlar Dairesi'nde zemin etüdleri ile ilgili olarak çalıştı. 1978 yılında Zonguldak DMM Akademisinde Uygulamalı Jeofizik asistanı olarak göreveye başladı. HÜ Fen Bil. Enstitüsünden 1983'de doktorasını aldı. Halen HÜ, Zonguldak Müh. Fak., Maden Müh. Bölümü'nde yardımcı doçent olarak çalışmaktadır ve Ereğli Meslek Yüksek Okulu İktisadi ve Ticari Programlar bölüm başkanlığı görevini yürütmektedir.



ODA ÜYELERİ

SİCİL NUMARASI	ADI SOYADI	SİCİL NUMARASI	ADI SOYADI
708	Süleyman KARUL	748	Çiçek MADANOĞLU
709	Nusret ÖNGEL	749	Öner TAYMAZ
710	Teoman ADEMOĞULLARI	750	Okan TEZEL
711	Cem KORKMAZ	751	Mutlu GÜRSOY
712	Haydar Dilek ÇETİN	752	Şerif BARIŞ
713	Cemalettin BAŞAK	753	Çiğdem GÜRSOY
714	Mehmet Cevat AKIN	754	Ömer HACISALİHOĞLU
715	Kemal Kenan AYDIN	755	Mehmet Melih SOMEL
716	Yakup BÜYÜK	756	Aytaç GÜLAY
717	Gülnihal YILDIZ	757	Serdar ÇELİKÖRSLÜ
718	Selahattin İŞ	758	Ufuk SÜAR
719	Öznur MİNDEVALLI	759	İlhan OSMANŞAHİN
720	Ali ŞENOĞLU	760	Hülya BÜYÜKHELVACI
721	Kahri ÖZVATAN	761	R. Kemal AYDIN
722	Adem SÖMER	762	Abdullah AYTEN
723	Hüseyin GÖKALP	763	Göksel DEMİRCİ
724	Kadir DEMİR	764	Sedat BELEK
725	Hatice Canan YILDIRIM	765	Aydın ÖZKAN
726	Ersel Zafer ORAL	766	Yücel DÜYEN
727	İlhami Alpay ELGIN	767	Murat AKCAN
728	Ramiz ELŞAN	768	Veli GEÇGE
729	Mehmet Yaşar GÖÇMEN	769	Necdet EVLİMOĞLU
730	Erol Tahsin BOZ	770	Erkan ÖZDEMİR
731	Murat Hüseyin ABACI	771	Levent HELVACIOĞLU
732	Mahmut Tamer BAYKAN	772	Kasım NARGÖZ
733	Halil ÖZTÜRK	773	Recep KIZILKOCA
734	Aydın TANDOĞAN	774	Orhan OKAY
735	Refik ÖZŞEN	775	Hikmet BACAK
736	Saffet ÇİÇEK	776	Abdulkadir ÜNALAN
737	H. Sadi KULELİ	777	Yalçın ERGÜN
738	Ümit BÜYÜKBOYACI	778	Ayhan KESKİNSEZER
739	Ümit ZOR	779	Celal KARACAOĞLU
740	Mehmet Hakan DOLAPÇIOĞLU	780	Mesut SULUTAŞ
741	Erdal ÖZDEMİR	781	Alpaslan ÖZDEN
742	Abidin KAYA	782	Levent TEZUÇAN
743	Orhan BOYACI	783	Sabit AKA
744	Muvaffak Tansel İNCEOĞLU	784	Mutlu M. AKTAŞ
745	Abdullah Tuncer BARLAS	785	Berrak ERDEM
746	Osman Murat OKUMUŞ	786	Hakan ERDEM
747	Recep ÇULHAOĞLU		

REKLAM VEREN FİRMALAR

ALARKO FENNİ MALZEME SATIŞ VE İMALAT A.Ş.

Firma Ünvanı/Company Name:

Alarko Fenni Malzeme Satış ve İmalat A.Ş.

Kuruluş/Foundation:

1965

Bağlı Olduğu Topluluğu/Group:

Alarko Şirketler Topluluğu/Alarko Group of Companies

Merkez/Head Office:

Necatibey Cad. No: 84 80030 Karaköy-Istanbul

Tel: 151 84 00 PBX

Telex: 24006 Alfe tr.

Fax: 144 15 23

Ankara Şubesi/Ankara Branch:

Sedat Simavi Sok. No: 48 06550 Çankaya-Ankara

Tel: 140 79 10 PBX

Telex: 42383

Fax: 140 79 30

Izmir Şubesi/Izmir Branch:

Gazi Bulvari No: 3/6 35250/ Izmir

Tel: 13 25 60 PBX

Telex: 53582 tr

Fax: 25 25 13

Edana Müessesesi/Adana Branch

Ziyapaşa Bulvarı, Çelik Apt. No: 25/5-6 01130-Adana

Tel: 13 13 42 - 14 15 81-82

Telex: 62785 alad tr.

Fax: 13 05 84

Antalya Şubesi/Antalya Branch:

Anafartalar Cad. No: 151/1, 07050-Antalya

Tel: 16 99 46-47

Fax: 16 70 32

Factories:

Alarko Sanayi ve Ticaret A.Ş.

Alsac Müessesesi: Topçular Tikveşli Yolu No: 10 Rami-İstanbul

Tel: 567 49 61 (9 hat/lines)

Telex: 23375 acla tr.

Fax: 567 76 27

Alpom Müessesesi: Yukarı Dudullu, Sanayi Bölgesi P.K. 37, Ümraniye-İstanbul

Tel: 364 10 01 (4 hat/lines)

Telex: 26402 alar tr.

Fax: 364 45 23

Ürün(ler)-Hizmet(ler)/Product(s)-Service(s)

- Aksiyal-Radyal Vantilatörler/Axial-Radial Vantilators
- Isıtma-havalanırma-klima/Heating Refrigeration ventilation equipments
- Paket tip soğuk hava deposu cihazları/Cold storage units
- Su soğutma kuleleri/Cooling tower
- Akaryakıt Brülörleri/Burners
- Pompalar-Dalgıç pompalar/Pumps, Submersible pumps
- Soğutma grupları/Air Handling Units

- Fan coiller/ Fan coils

- Doğal gazlı kat kaloriferleri/ Natural gas fired room heaters.

- Doğal gazlı brülörler/Natural gaz fired burnes.

- Her türlü tesisat malzemeleri/ All kinds of plumbing equipment.

- Supervizyon hizmeti/Supervision services.

PRAKLA-SEISMOG AG

PRAKLA-SEISMOG, with its headquarters in Hannover, is the oldest company to practise applied geophysics worldwide. The company is one of the largest at the international level and has for over 65 years been carrying out geophysical surveys in all the continents and oceans of the world for the exploration of core, coal, salt, uranium and other deposits but especially of oil and gas.

The Main Activities of the Company

- geophysical surveys on land, on water (with eight survey ships), from the air and underground

- computer processing of the survey data in its own processing centre

- production and sale of specific technical equipment and EDP programs, eg for research ships and planes

- water prospection and water well drilling.

The exploration of the natural resources demands as well stocked equipment depot. PROKLA-SEISMOS GEOMEC-HANIK GMBH, a subsidiary company with its headquarters in Uetze near Hannover, develops and manufactures vibrators and mobile drilling rigs, including drilling units specially designed for water well and exploration drilling down to about 1000 m depth.

In Turkey PRAKLA-SEISMOS has been active for more than 33 years, presented by our subsidiary PRAKLA PETROS STI in Ankara

NEL ELEKTRONİK

Jeofizik konularında dünyaca tanınmış ISVEÇ ABEM AB firmasının Türkiye Temsilciliğini yapan kuruluşumuz, ayrıca zemin, kaya mekaniği, asfalt ve beton laboratuvar cihazları üzerinde, ithal ve yerli üretimle, bu sektörde hizmet sunmaktadır.

NEL ELEKTRONİK jeofizikte gelişen teknolojinin en son ürünlerini ülkemiz yeraltı kaynaklarının prospeksiyonunda, inşaat ve jeolojik yapı araştırmalarında kullanıma sunmaktadır.

Bugün, jeofizik alanındaki yerli teknikler işliğinde, prospeksiyon maliyetleri yarı yarıya ucuzlamakta, para ve zaman kaybı önlenmektedir. ABEM AB teknolojisi ile Nijerya'da çinko-kurşun yataklarının, Kenya'da büyük yeraltı su kaynaklarının ortaya çıkarılması, bu daldaki en son başarıları göstermektedir.

ADVANCE GEOPHYSICAL CORPORATION

Advance Geophysical is a software development firm specializing in full featured, desk top seismic processing systems. The company was founded in 1981. MicroMAX was introduced in 1986 as an economical, portable, user friendly, field processing system.

MicroMAX (currently 180 in the field) was the first system of its kind to offer economical instrument testing, parameter analysis and processing capabilities in the field. Advance also offers "copyMAX", an economical reliable package for copying tapes. Current developments at Advance include the ProMAX project which will bring office processing capabilities to a desk top computer in a full color, multi-tasking, networking environment. For further information contact:

Advance Geophysical Corp.
7409 S. Alton Ct., Suite 100,
Englewood, Colorado, USA.
Phone: 303-770-8080,
Fax: 303-796-0807,
Telex: 984254 (AGC UD)

ATLAS A.Ş.

Daha önce ADIM A.Ş. bünyesinde faaliyet gösteren Jeofizik ve Jeoteknik Cihazları grubumuz 1 Haziran 1989 tarihinden itibaren etkinliğini ve hizmetlerini genişletmek amacıyla yine UTE Holding'e bağlı olarak ATLAS Jeofizik ve Jeoteknik Sistem ve Hizmetler A.Ş. adı altında şirketleşmiştir. Şirketin faaliyet alanı Jeofizik, Jeoteknik ve Oşinografi olarak üç ana gruptur.

ATLAS A.Ş. bu üç alanda sistem ve cihazların satışını ve satış sonrası hizmetlerini yürütmeyinin yanı sıra proje ve müşavirlik hizmetleri vermektedir. Jeofizik, Jeoteknik ve Oşinografik Etüd çalışmaları yapmaktadır. ATLAS A.Ş.'nin satışını yaptığı sistemleri kendi başlıklarını altında kısaca vermek gerekirse,

A.

Jeofizik Sistem ve Cihazlar
Telemetrik Sistemler
Receiver, Transmitter ve Jeneratör grupları
Jeofonlar, Jeofon Serim Kabloları
Kuyu log Sistemleri
VSP Sistemleri
Plotter Sistemler, Sismik Kameralar
Derin ve Sığ Sismik Cihazlar
Rezistivite Ölçüm Sistemleri

B.

Jeoteknik Etüd Amaçlı Cihazlar
Pressiyometre ve Dilatometreler
Plaka Yükleme Sistemleri
Yerinde kesme deney ekipman
Basınç çeviricileri (Press ve Transducers)
Gerilme Ölçerler (Strain gauger)
Deplasman Ölçerler (Displacement Strain Gauger)
Extensometreler (Extensometer)
Veri derleyiciler (Data Lappers)
Sayısal Çeviriciler
Kayıt Sistemleri

C.

Oşinografik Sistem ve Cihazlar
Radyo Pozisyon tayin Cihazları
Deniz altı ve kıyı Radarları
Su altı Kamera Sistemleri
ROV sistemleri
Akıntı Ölçerler ve Deniz suyu Parametlere için Sistemler
Akustik Kurtarıcılar
Deniz Manyetometreleri
Jeofizik, Jeoteknik ve Oşinografik Etüd çalışmaları konusunda aşağıdaki hizmetler verilmektedir.
Proje ve Müşavirlik Hizmetleri
Jeofizik, Jeoteknik ve Oşinografik Etüd Hizmetleri
Deney bazında verilen hizmetler.

1879 yılında kurulan Chevron Corporation, günümüzde do-laysız olarak veya bağlı şirketleri aracılığı ile 96 ülkede etkinliğini sürdürmektedir.

Chevron Corporation'ın bir yan kuruluşu olan Chevron Overseas Petroleum Incorporated, Kuzey Amerika dışında, tüm dünyada Chevron'un arama ve üretim faaliyetlerini yönetmekte ve yönlendirmektedir.

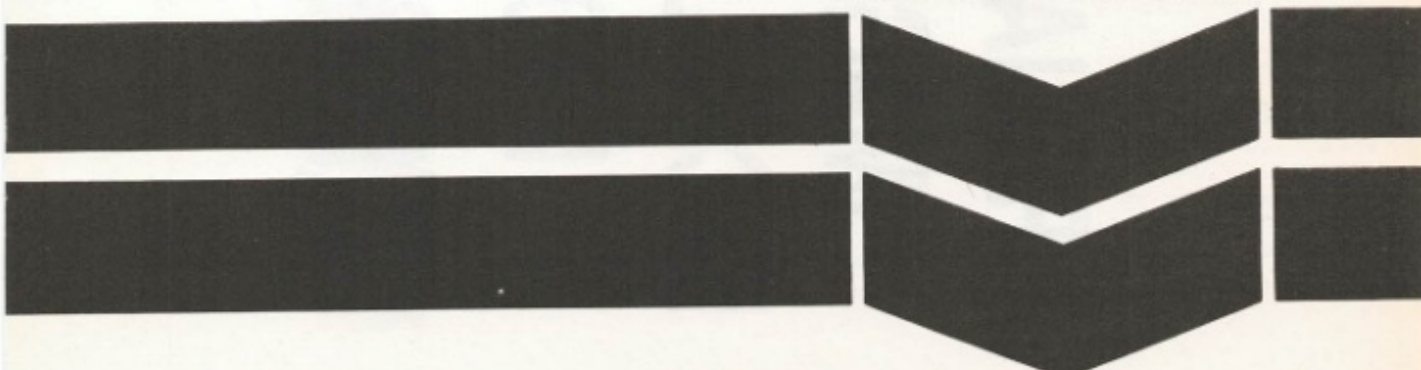
Chevron'un beş kıtaya yayılmış bürolarında 5000'i aşkın çalışanı bulunmaktadır. 1988 yılı petrol ve sıvı gaz üretiminde 361.000 varil/gün olan brüt payımız, doğal gaz üretiminde ise 125 milyon ft³/gün'e ulaşmıştır.

Chevron, petrol arama çalışmalarını sürdürdüğü ülkeler arasına Türkiye'yi de katmaktan büyük onur duyuyor.

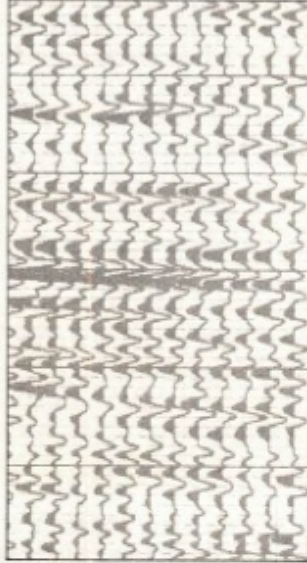
**CHEVRON
INTERNATIONAL LIMITED
(TURKEY)**

Cinnah Caddesi 102/6
06690 Çankaya Ankara
Tel: 140 66 01 Fax: 140 66 05
Telex: 46 247

Chevron



RELIABLE IMAGING EXCELLENCE FROM KODAK



Kodak Exploration Films are designed to accurately reproduce seismic sections, with reliably consistent speed, precision and sharpness and improved safelightting. Their many performance features can save time, reduce waste, lower costs, and help improve geophysical data center efficiencies. For more details on Kodak Geophysical products, please contact Kodak (Near East) Inc. Istanbul, Tel: 172 00 39.



The new vision of Kodak



UPDATE YOUR SEISMIC EQUIPMENT

A NEW GENERATION OF ACQUISITION SYSTEMS

- The SN 368 telemetry recording unit, particularly suitable for 3D work, with a maximum configuration of 1200 channels
- The SN 358 digital recording unit, for land and marine operations, with the optional DMX demultiplexing unit for marine applications
- MYRIASEIS*, a radiotelemetry acquisition system for land/sea transition zone surveys
- The CS 260 correlator - stacker

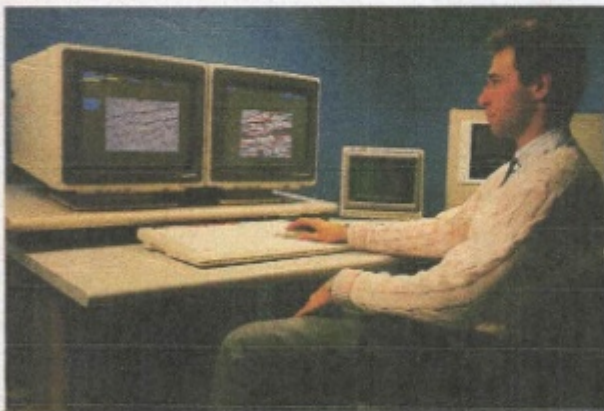
These systems can be provided complete with seismic cables and geophone strings.



The SN 368 telemetry recording unit.



The TD 500 truck-mounted drill.



The interpretation workstation INTERPRET.

* CGG-IFP trademark and product development

** CGG trademark

(1) CGG-IFP (ARTEP) joint research project - CGG trademark

MARINE SEISMIC SYSTEMS

CGG has equipped over 40 seismic vessels with

- analog or digital streamers (up to 240 channels)
- radiopositioning systems such as Syledis or the long-range Geoloc
- the GIN** navigation system

HEAVY DUTY LAND SEISMIC EQUIPMENT

- Vibrators

- Truck-mounted and heliportable drills
- Amphibious and rough terrain buggies
- Fiberglass products, such as recording cabs, trailers

WELL SEISMIC EQUIPMENT

- GEOLOCKTM H and GEOLOCK S, three-component hydraulic well seismic probes.
- MULTILOCK, a multi-level analog or digital geophysical system for VSP acquisition which reduces rig down time by providing multiple measurements
- ASAP, an on-site quality control and processing system for VSP data, using a 32-bit minicomputer

COMPUTER SYSTEMS

- GEOVETEUR[®], the 2D and 3D seismic processing system for supercomputers
- INTERPRET, the 2D and 3D seismic interpretation workstation
- INTEGRAL, the interactive exploration-production system developed by CGG's subsidiary PETROSYSTEMS.

• CGG Head Office : 1, rue Léon Migaux, 91341 Massy Cedex, France. Tel.: (33-1) 64 47 30 00 Telex: 602442F

• CGG Ankara Office : Damas Ticaret Mühendislik ve Sanayi A.S.

Attar sokak, Kent Sitesi C Block no. 6 Gaziomampaşa - Ankara - Turkey. Tel.: (41) 27 58 48 Telex: 42591 DAPA TR

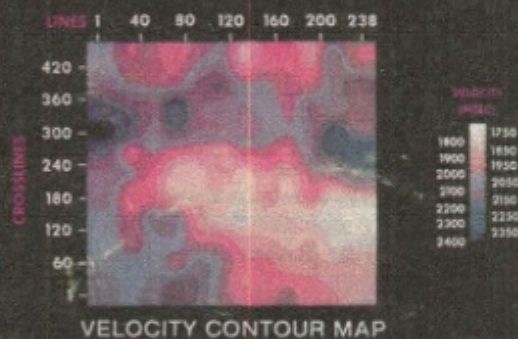


Halliburton Geophysical Services

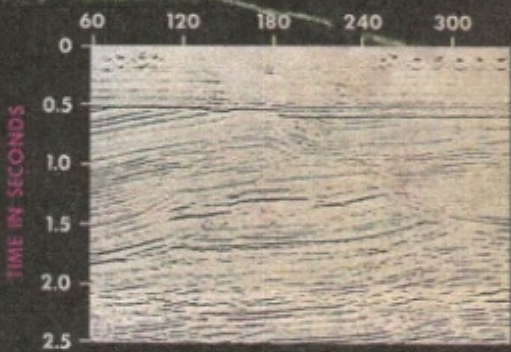
LAND 3D PROCESSING

The proven 3D solution to complex geologic problems

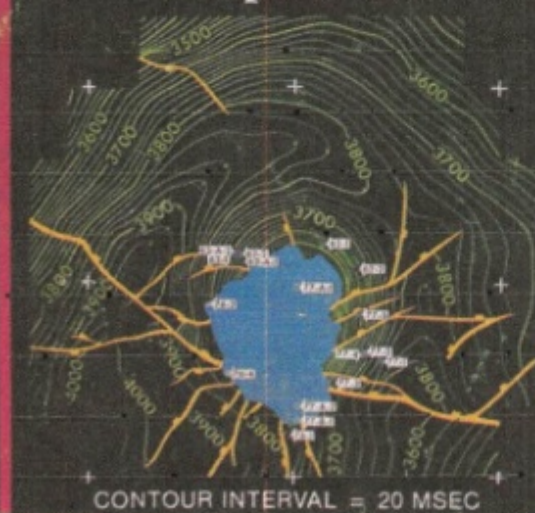
Quality Control



3D Migration



Interpretation



Display

